

Surveillance de la Qualité des Plans d'Eau des Bassins Rhône Méditerranée Corse

- Suivi 2017 -

Rapport de données et d'interprétation
REtenue de CHAZILLY (Côte-d'Or)



Novembre 2018



Papier recyclé



Propriétaire du rapport : Agence de l'eau Rhône Méditerranée & Corse
2-4, Allée de Lodz
69363 LYON Cedex 07

Interlocuteur : M. Loïc IMBERT

Titre : Surveillance de la qualité des plans d'eau des bassins Rhône Méditerranée Corse – Suivi 2017 – Rapport de données et d'interprétation – Retenue de Chazilly (Côte-d'Or).

Mots-Clés : Agence de l'eau Rhône Méditerranée Corse, Programme de surveillance, DCE, suivi 2017, plans d'eau, Côte d'Or, Retenue de Chazilly.

Numéro de rapport : 1007FB18
Date : Novembre 2018
Statut du rapport : Rapport définitif

Auteurs : François BOURGEOT
Arnaud OLIVETTO

Travail de laboratoire: Pierre BENOIT et Jeanne RIGAUT (Phytoplancton)

Nombre d'ex. édités : 1
Nb de pages (+annexes) : 33 (+37)

Réalisation :



Groupe de recherche et d'Etude
Biologie et Environnement
23 rue Saint Michel - 69007 LYON
Tél: 04 72 71 03 79 - Fax : 04 72 72 06 12
Courriel : contact@grebe.fr

SOMMAIRE

| | |
|---|-----------|
| <u>1. INTRODUCTION</u> | 7 |
| 1.1 ORGANISATION DU RAPPORT | 7 |
| 1.2 TYPOLOGIE NATURELLE DES PLANS D'EAU | 7 |
| <u>2. PROTOCOLES DE PRELEVEMENT ET D'ANALYSE</u> | 8 |
| 2.1 PHYSICO-CHIMIE DES EAUX ET DU SEDIMENT | 8 |
| 2.1.1 CAMPAGNES DE MESURES | 8 |
| 2.1.2 PRELEVEMENTS | 8 |
| 2.1.3 PARAMETRES MESURES | 9 |
| 2.2 PHYTOPLANCTON | 10 |
| <u>3. CONTEXTE GENERAL ET CARACTERISTIQUES DU PLAN D'EAU</u> | 12 |
| <u>4. PHYSICO-CHIMIE DES EAUX ET DES SEDIMENTS</u> | 17 |
| 4.1 PHYSICO-CHIMIE DES EAUX | 17 |
| 4.1.1 PROFILS VERTICAUX | 17 |
| 4.1.2 PARAMETRES DE MINERALISATION | 19 |
| 4.1.3 PARAMETRES PHYSICO-CHIMIQUES GENERAUX (HORS MICROPOLLUANTS) | 19 |
| 4.1.4 MICROPOLLUANTS MINERAUX | 21 |
| 4.1.5 MICROPOLLUANTS ORGANIQUES | 23 |
| 4.2 PHYSICO-CHIMIE DES SEDIMENTS | 24 |
| 4.2.1 PARAMETRES PHYSICO-CHIMIQUES GENERAUX (HORS MICROPOLLUANTS) | 24 |
| 4.2.2 MICROPOLLUANTS MINERAUX | 25 |
| 4.2.3 MICROPOLLUANTS ORGANIQUES | 26 |
| <u>5. PHYTOPLANCTON</u> | 28 |
| <u>6. APPRECIATION GLOBALE DE LA QUALITE DU PLAN D'EAU</u> | 33 |

ANNEXES ERREUR ! SIGNET NON DEFINI.

LISTE DES MICROPOLLUANTS ANALYSES SUR EAU

ERREUR ! SIGNET NON DEFINI.

LISTE DES MICROPOLLUANTS ANALYSES SUR SEDIMENTS

ERREUR ! SIGNET NON DEFINI.

COMPTE RENDU DES CAMPAGNES DE PRELEVEMENTS PHYSICO-CHIMIQUES ET PHYTOPLANCTONIQUES ERREUR ! SIGNET NON DEFINI.

RAPPORT D'ANALYSE PHYTOPLANCTON

ERREUR ! SIGNET NON DEFINI.

PREAMBULE

Cette étude de diagnostic écologique de plans d'eau a été réalisée dans le cadre du programme de surveillance établi lors de la mise en œuvre de la directive cadre européenne sur l'eau (DCE)¹, prescrivant une atteinte des objectifs environnementaux tendant vers un « bon état » écologique des masses d'eau en 2027. En application de cette dernière, il est demandé à chaque état membre d'évaluer l'état écologique des masses d'eau d'origine naturelle ou le potentiel écologique des masses d'eau fortement modifiées et artificielles.

L'agence de l'eau Rhône Méditerranée Corse a mandaté le bureau d'études GREBE pour l'acquisition de données écologiques sur un certain nombre de masses d'eau de plans d'eau (MEPE) de plus de 50 hectares du nord du bassin Rhône-Méditerranée. Les prestations ont été réalisées en application de l'arrêté du 27 juillet 2015², modifiant l'arrêté du 25 janvier 2010³ établissant le programme de surveillance de l'état des eaux.



Retenue de Chazilly le 17/05/17

¹ DCE. Cadre pour une politique communautaire dans le domaine de l'eau. Directive 2000/60/CE.

² Ministère de l'environnement, de l'énergie, du développement durable et de l'énergie. Arrêté du 27 juillet 2015 modifiant l'arrêté du 10 janvier 2010 relatif aux méthodes et critères d'évaluation de l'état écologique, de l'état chimique et du potentiel écologique des eaux de surface pris en application des articles R.212-10, R.212-11 et R.212-18 du code de l'environnement.

³ Ministère de l'environnement, de l'énergie, du développement durable et de la mer, en charge des technologies vertes et des négociations sur le climat. Arrêté du 25 janvier 2010 établissant le programme de surveillance de l'état des eaux en application de l'article R. 212-22 du code de l'environnement.

1. INTRODUCTION

1.1 Organisation du rapport

Les résultats du suivi de l'année 2017 sont présentés sous la forme d'un dossier par plan d'eau, soit un rapport de données brutes et d'interprétation commentée des résultats, présentant également les méthodologies mises en œuvre et les comptes rendus de campagnes de terrain.

1.2 Typologie naturelle des plans d'eau

La typologie naturelle des plans d'eau utilisée dans le rapport est définie dans l'arrêté du 12 janvier 2012⁴ relatif aux méthodes et aux critères à mettre en œuvre pour délimiter et classer les masses d'eau. La typologie est basée sur l'origine des plans d'eau (naturelle ou anthropique), leur hydro-écorégion⁵, la forme de leur cuvette et leur fonctionnement hydraulique. Les formes théoriques de cuvettes lacustres sont présentées *Figure 1*, et sont définies comme suit :

- Forme L : lac peu profond, zone littorale largement prépondérante, stratification thermique peu étendue et/ou instable (lac polymictique).

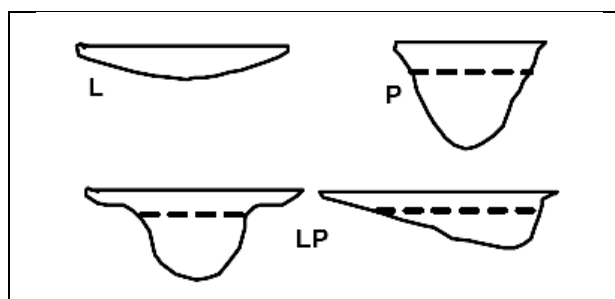


Figure 1 - Formes théoriques de la cuvette lacustre. La ligne pointillée indique la limite théorique de profondeur maximale de la thermocline en été (figure issue de la circulaire 2005/11).

⁴ Ministère de l'environnement, du développement durable et de la mer, en charge des technologies vertes et des négociations sur le climat. Arrêté du 12 janvier 2010 relatif aux méthodes et aux critères à mettre en œuvre pour délimiter et classer les masses d'eau et dresser l'état des lieux prévu à l'article R. 212-3 du code de l'environnement. Journal Officiel de la République Française.

⁵ Wasson, J. G., Chandesris, A., Pella, H., & Blanc, L. (Juin 2002). *Les hydro-écorégions de France métropolitaine, approche régionale de la typologie des eaux courantes et éléments pour la définition des peuplements de référence d'invertébrés*. Cemagref.

- Forme P : lac profond, stratification thermique stable (lac monomictique ou dimictique) et une zone littorale réduite, la cuvette pouvant être symétrique ou asymétrique.
- Forme LP : lac ayant à la fois une zone profonde stratifiée stable (monomictique ou dimictique) et une zone littorale étendue, la cuvette pouvant être symétrique ou asymétrique.

2. Protocoles de prélèvement et d'analyse

2.1 Physico-chimie des eaux et du sédiment

2.1.1 Campagnes de mesures

Quatre campagnes de mesure sont réalisées au cours de l'année :

- campagne 1 : entre mi-février et fin mars (voire plus tard selon l'altitude), correspondant à la période de brassage et d'homothermie des eaux;
- campagne 2 : mois de mai, correspondant au début de la période de stratification thermique;
- campagne 3 : fin juillet / début août, correspondant à la période estivale;
- campagne 4 : mois de septembre/octobre, correspondant à la fin de la période de production végétale et à la période de stratification maximale du plan d'eau, avant le refroidissement de la masse d'eau.

2.1.2 Prélèvements

2.1.2.1 Prélèvements d'eau

Les prélèvements d'eau sont réalisés au niveau du point de plus grande profondeur du plan d'eau. Dans le cas de retenues artificielles, une zone de sécurité interdite à la navigation, généralement matérialisée par une ligne de bouées, peut être présente à proximité des ouvrages. La zone de prospection se limite alors à l'extérieur de cette dernière. Deux profondeurs sont échantillonnées.

La zone euphotique correspond à 2,5 fois la transparence de l'eau. Cette dernière est mesurée à l'aide d'un disque de Secchi de 20 centimètres de diamètre, à quarts alternativement blanc ou noir. Un premier échantillonnage est destiné aux dosages de micropolluants. Il est réalisé avec une bouteille à prélèvement verticale de type Van Dorn de 1,2 litre en téflon. Les prélèvements unitaires sont répartis de manière équidistante sur l'ensemble de la zone euphotique puis homogénisés dans un seau de 17 litres en polyéthylène haute densité (PEHD). Cette opération peut être répétée si besoin jusqu'à obtention du volume nécessaire

aux analyses. Le contenu est ensuite versé directement dans les différents flaconnages ou à l'aide d'un entonnoir en PEHD dans le cas de contenants à col étroit.

Un second échantillonnage, réalisé à l'aide d'un tuyau, est destiné aux analyses phytoplanctoniques, aux analyses physico-chimiques classiques et à la quantification de la chlorophylle a. Le volume d'eau échantillonné étant trop faible dans le cas d'une zone euphotique peu importante, l'échantillonnage est préférentiellement réalisé au moyen d'une bouteille verticale et d'une série de prélèvements unitaires sur l'étendue de la zone euphotique si celle-ci n'excède pas une profondeur de 7 mètres.

La zone profonde est échantillonnée à profondeur fixe, à 1 mètre du sédiment, puis traitée de la même manière que l'échantillonnage de la zone euphotique. L'opération est répétée jusqu'à obtention du volume nécessaire aux analyses.

2.1.2.2 Prélèvements de sédiments

Les sédiments sont prélevés lors de la campagne 4 (septembre/octobre) à la benne Ekman, 15 cm x 15 cm. Le contenu de la benne est échantillonné directement à l'aide d'une petite pelle en PEHD et transvasé dans les flaconnages fournis par le laboratoire d'analyse.

2.1.3 Paramètres mesurés

Les analyses physico-chimiques de pleine eau ont été confiées au Laboratoire Santé Environnement Hygiène de Lyon (CARSO-LSEHL), et les analyses sur sédiments au Laboratoire Départemental de la Drôme (LDA 26).

2.1.3.1 Paramètres de pleine eau

Deux types de paramètres de pleine eau ont été pris en considération:

- les paramètres mesurés in situ à chaque campagne:
 - température, oxygène dissous (concentration et taux de saturation), pH, conductivité à 25°C et matière organique dissoute fluorescente. Ces paramètres sont mesurés sur l'ensemble de la colonne d'eau à l'aide d'une sonde multi paramètres munie d'un câble.
 - transparence mesurée au disque de Secchi de 20 centimètres de diamètre, à quarts alternativement blanc ou noir.
- les paramètres analysés en laboratoire sur prélèvements intégrés au niveau de la zone trophogène et prélèvements au niveau du fond :

- paramètres généraux : azote Kjeldhal, ammonium, nitrates, nitrites, orthophosphates, phosphore total, carbone organique total, matières en suspension, turbidité, chlorophylle a et phéopigments (échantillon filtré sur site à l'aide d'une pompe à vide manuelle / paramètres ne concernant que l'échantillon intégré), silice dissoute, demande biologique en oxygène (DBO), demande chimique en oxygène (DCO);
- paramètres de minéralisation : chlorures, sulfates, hydrogénocarbonates, calcium, magnésium, sodium, potassium, dureté totale, titre alcalimétrique complet (TAC) ;
- micropolluants : substances prioritaires, autres substances et pesticides en référence à l'arrêté du 7 août 2015 établissant le programme de surveillance de l'état des eaux. Les micropolluants organiques ont été mesurés sur les échantillons d'eau brute et les micropolluants minéraux sur l'eau filtrée du même prélèvement.

2.1.3.2 Paramètres du sédiment

Sur les sédiments, les échantillonnages ont été réalisés au cours de la quatrième campagne au niveau du point de plus grande profondeur, et prennent en compte les deux compartiments et les paramètres suivants :

- l'eau interstitielle : orthophosphates, phosphore total et ammonium ;
- la phase solide : carbone organique, azote kjeldahl, phosphate total, matières organiques volatiles, granulométrie inférieure à 2 mm (argiles, limons fins et grossiers et sables fins et grossiers), et micropolluants suivant l'arrêté du 7 août 2015 établissant le programme de surveillance de l'état des eaux.

2.2 Phytoplancton

Le suivi du phytoplancton a été effectué lors de 4 campagnes selon la méthode Utermöhl⁶. Un prélèvement intégré est réalisé sur l'ensemble de la zone euphotique à l'aide d'un tuyau ou d'une bouteille à prélèvement (cf. §2.1.2.1) au droit du point le plus profond du plan d'eau. Cet échantillon est également utilisé pour la filtration in situ de la chlorophylle a. Les échantillons de phytoplancton sont fixés au lugol, puis stockés au réfrigérateur avant détermination et

⁶ AFNOR. (2006). Norme guide pour le dénombrement du phytoplancton par microscopie inversée (méthode Uthermöhl). NF EN 15204.

comptage des objets algaux⁷ au sein du laboratoire du GREBE. L'inventaire et le dénombrement du phytoplancton ont été réalisés, après passage en chambre de sédimentation, sous microscope inversé. En cas de difficulté d'identification ou de fortes abondances, une vérification des diatomées (algues microscopiques siliceuses) a été réalisée en parallèle, entre lame et lamelle sous microscope droit, selon le mode préparatoire décrit par la norme NF T90-354⁸. Les résultats sont présentés sous forme d'inventaires taxinomiques précisant pour chaque taxon le nombre de cellules dénombrées par ml et le biovolume total du taxon (mm³/l), accompagnés d'une représentation de l'évolution du peuplement algal en termes d'abondance relatives des différents groupes algaux

L'Indice Phytoplanctonique Lacustre (IPLAC)⁹ a ensuite été calculé sur la base de l'outil de comptage du phytoplancton en laboratoire Phytobs¹⁰.

⁷ Laplace-Treyture, C. ; Barbe, J. ; Dutartre, A. ; Druart, J.-C. ; Rimet, F. ; Anneville, O. ; et al. (Septembre 2009). *Protocole Standardisé d'échantillonnage, de conservation et d'observation du phytoplancton en plan d'eau*, v3.3.1. INRA, Cemagref.

⁸ AFNOR. (2007). Détermination de l'Indice Biologique Diatomées (IBD). NF T90-354 15204.

⁹ Laplace-Treyture, C. ; Feret, T. *Performance of the Phytoplankton Index for Lakes (IPLAC) : A multitemetric phytoplankton index to assess the ecological status of water bodies in France*. Irstea UR EABX.

¹⁰ Hadoux, E. ; Plaire, M. ; Esmieu, P. ; Dubertrand, A. ; Laplace-Treyture, C. PHYTOBS v2.3 : Outil de comptage du phytoplancton en laboratoire et de calcul de l'IPLAC. Version 2.3. Application JAVA. Irstea UR EABX. Base taxinomique du 15/12/2015.

3. Contexte général et caractéristiques du plan d'eau

Localisée dans le département de la Côte-d'Or (21), la retenue de Chazilly se situe à 400 m d'altitude, sur les communes de Cussy-le-Châtel et Chazilly, à environ 35 km au sud-ouest de Dijon. D'une profondeur maximale théorique de 22,5 m, elle s'étend sur 52 ha et représente un volume de 2,2 hm³ d'eau. La *Figure 2* situe le plan d'eau sur un extrait de carte IGN.

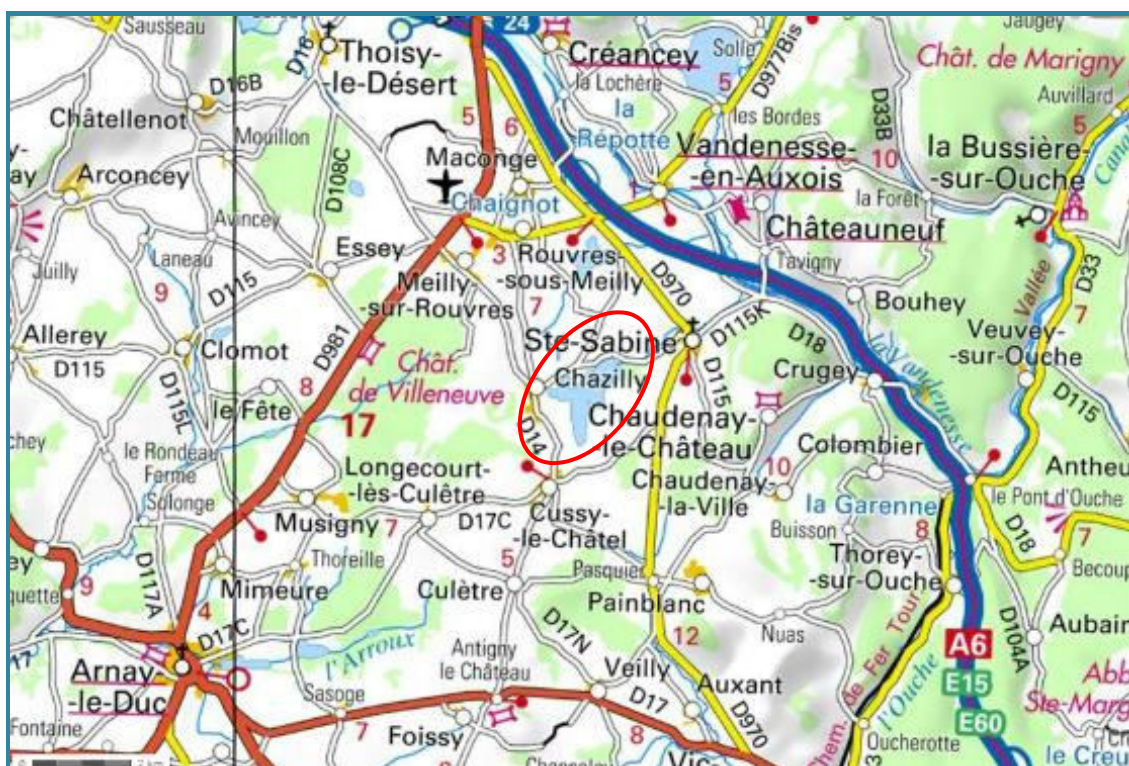


Figure 2 – Carte de localisation de la retenue de Chazilly (Côte-d'Or, base carte IGN 1:200 00).

Construit comme un seul mur, entre 1830 et 1837, le barrage de Chazilly est de type « poids ». Comme les autres réservoirs de la région datant du XIX^{ème}, Grosbois, Cercey, Tillot et Panthier (également inscrit dans le suivi 2017 pour ce dernier), la retenue est destinée à l'alimentation du canal de Bourgogne. Long de 242 km, ce dernier relie Saint-Jean-de-Losne, au sud de Dijon, à Migennes au nord d'Auxerre, en traversant la ligne de partage des eaux Atlantique/Méditerranée au niveau du passage souterrain de Pouilly-en-Auxois. C'est d'ailleurs l'alimentation en eau nécessaire au franchissement de ce dernier qui nécessita la construction de trois réservoirs, deux sur le versant Yonne, Grosbois et Cercey, et un, Chazilly, installé sur le versant Saône. Ce dernier est le plus haut des réservoirs du canal de Bourgogne. La *Figure 3* localise le canal et ses différents réservoirs.

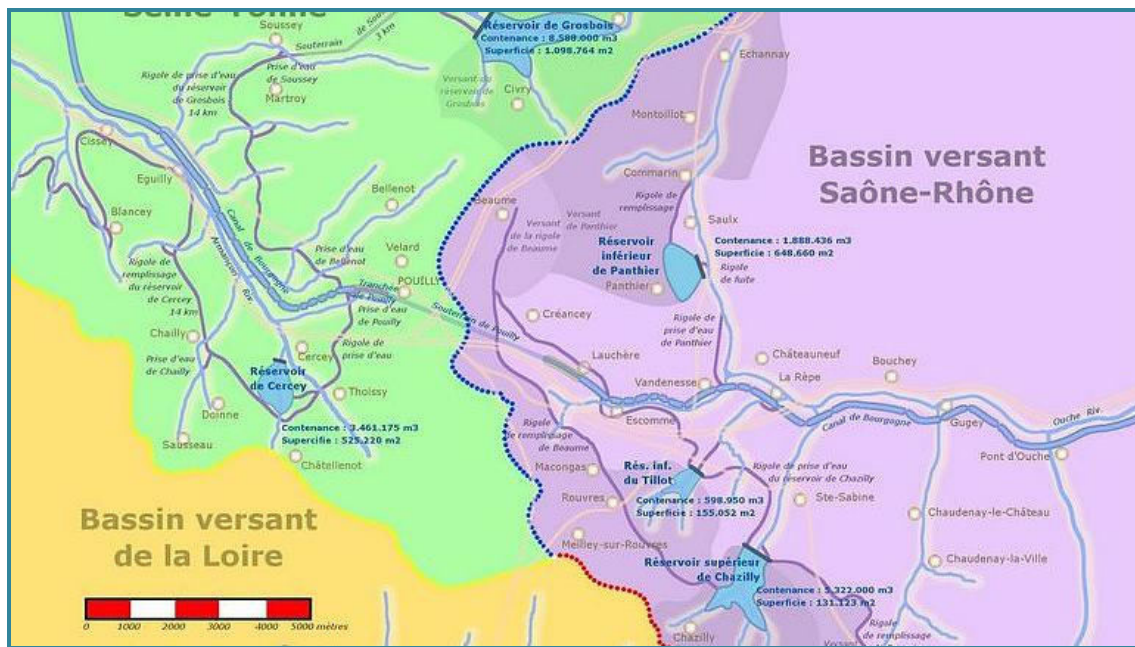


Figure 3 - Localisation du canal de Bourgogne et de ses réservoirs d'alimentation (Charles BERG 2005).

Les principaux tributaires de la retenue de Chazilly sont le ruisseau de Cussy et deux rigoles d'alimentation. L'une est une dérivation de la Vandenesse, dite rigole de Beaume, longue d'une dizaine de kilomètres en remontant jusqu'à la ligne de partage des eaux. L'autre est appelée rigole de Pasquier et est alimentée par le ruisseau des Guets, qui parcourt près de 7 km avant d'arriver dans la retenue. L'alimentation du bief de partage des eaux se fait au niveau du bassin d'Escommes, en transitant par une rigole d'alimentation, le ruisseau de la Miotte. Le temps de séjour de l'eau au sein de la retenue de Chazilly est de 219 jours, soit 7 mois.

La *Figure 4* illustre l'environnement agricole du plan d'eau. S'étendant sur 32 km², son bassin versant s'étale principalement sur des marnes noires reposant sur des calcaires compacts de la fin du Trias, recouvertes par des alluvions récents. Il est bordé au nord-est et au sud-ouest de grès verdâtre arkosiques et d'argiles gréseuses. La région connaît un climat de type continental chaud, caractérisé par de fortes amplitudes thermiques inter-saisonnieres. Les précipitations peuvent être importantes tout au long de l'année. Elles sont, habituellement, plus faibles en mars et plus fortes en juin. La température moyenne annuelle est d'environ 10 °C pour une pluviométrie annuelle de 822 mm.



Figure 4 – Photographie aérienne sur fond de carte IGN de la retenue de Chazilly.

La vocation première de la retenue de Chazilly reste encore l'alimentation du canal de Bourgogne. Le plan d'eau est également fréquenté pour sa faune, la pêche et la chasse au gibier d'eau y sont réglementées, mais la baignade y est interdite. Depuis 1994, des comptages ornithologiques sur le plan d'eau sont réalisés par la Ligue pour la Protection des Oiseaux dans le cadre du programme Wetlands International. D'un point de vue patrimonial, deux habitats d'intérêt communautaire (Directive 92/43/CEE du 22 mai 1992 concernant la conservation des habitats naturels ainsi que de la faune et de la flore sauvage) ont été caractérisés sur la retenue¹¹ :

- eaux oligo-mésotrophes calcaires avec végétation benthique à characées. (code Natura 2000 : 3140) ;
- lacs eutrophes avec végétation du type «magnopotamion» ou «Hydrocharition» (code Natura 2000 : 3150).

Propriété de l'état, la retenue de Chazilly est co-gérée par la DDT, le Service Navigation de Dijon et VNF. Des expertises ont révélé dès 1974 l'insuffisance de la stabilité des profils centraux du barrage et une inadaptation des profils de rives aux efforts qu'ils subissent. La retenue a depuis été mise en révision spéciale (dernier arrêté préfectoral du 24 juin 2010¹²).

¹¹ SMEABOA (2009). SAGE et Contrat de rivière. Etat initial. Tome II – Gestion qualitative de la Vallée de l'Ouche. 65p.

¹² Roche A. & D. Dubois. (CETMEF) Compte-rendu du club barrages réservoirs. Pouilly-en-Auxois (France), 22/11/2011. Disponible sur <http://webissimo.developpement-durable.gouv.fr>.

Exploitée dès l'origine à une cote maximale (403,16 m NGF), la retenue de Chazilly est abaissée à une cote d'exploitation de 395,89 m NGF en raison des incertitudes concernant la stabilité de la digue et l'évacuation des crues¹³. Des travaux de modification de l'écrêteur de crue et de confortement du barrage sont envisagés. Toutefois, il est d'ores et déjà apparu que le scénario d'un retour à une exploitation à la côte maximale serait trop onéreux et qu'un fonctionnement à la cote maximale actuelle serait donc maintenu¹⁴.

La retenue de Chazilly fait partie du Contrôle Opérationnel (CO), mis en place pour répondre aux exigences de la Directive cadre sur l'Eau en matière de surveillance des milieux. L'objectif de ce dernier vise à évaluer l'état des masses d'eau identifiées comme risquant de ne pas atteindre leurs objectifs environnementaux et rendre compte de l'efficacité des mesures mises en œuvre. Les pressions identifiées à l'origine du risque de non atteinte des objectifs environnementaux sur ce plan d'eau sont les pressions diffuses de type nutriments et pesticides, l'altération de l'hydrologie et l'altération de la continuité piscicole.

La retenue de Chazilly est considérée comme une masse d'eau de type A7b de la typologie nationale, soit une retenue de basse altitude, calcaire et peu profonde. Elle appartient à l'hydro-écorégion de rang 1 «Côtes calcaires Est». Le *Tableau 1* présente les dates et types d'interventions réalisés au cours de ce suivi 2017. La cote du plan d'eau est restée relativement stable au cours de l'année, autour de 10 m, et les cycles thermiques saisonniers de la colonne d'eau ont pu être cernés au cours des quatre des campagnes.

Tableau 1 – Calendrier des interventions sur la retenue de Chazilly en 2017.

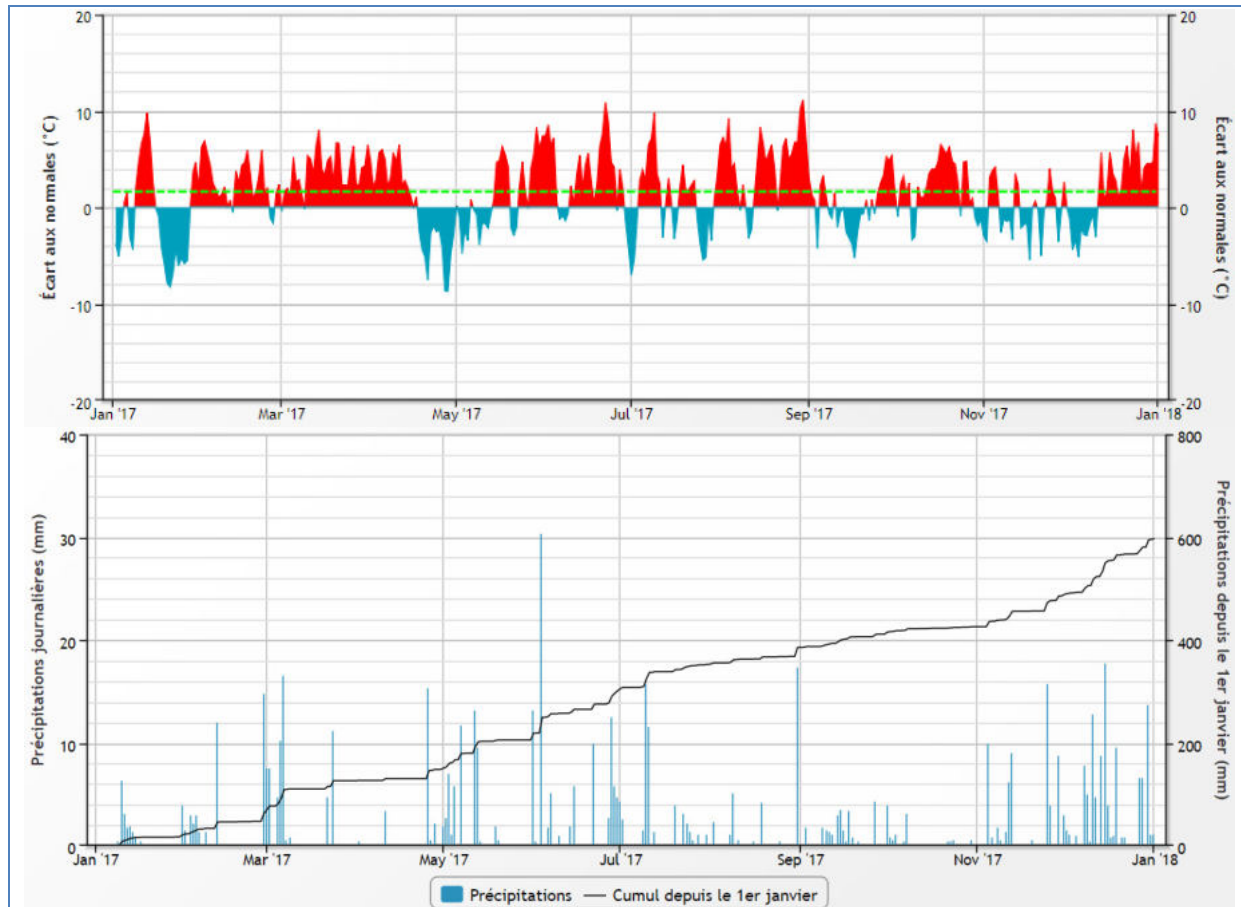
| | eau | Physico-chimie sédiments | Phytoplancton |
|---------------|-----|-----------------------------|---------------|
| C1 06/03/2017 | | | |
| C2 17/05/2017 | | | |
| C3 26/07/2017 | | | |
| C4 25/09/2017 | | | |

Une synthèse des données météorologiques de l'année 2017 au niveau de Savigny-lès-Beaune (275 m d'altitude, à 20 kilomètres de la retenue de Chazilly à vol d'oiseau) est présentée *Figure 5*. Les normes saisonnières ont été calculées sur les données 1981 à 2010.

¹³ Varon C. (SAFEGE). Retour d'expérience sur la mise en œuvre de la révision spéciale de 2 barrages anciens. Colloque CFBR Modernisation des barrages, CFBR, Chambéry (France), 4-5 déc.2013. Disponible sur <http://www.barrages-cfbr.eu>.

¹⁴ Le Bien Public. (2015). Des travaux au réservoir. Edition de Beaune du 05/05/2015. Disponible sur <http://www.bienpublic.com/edition-cote-de-beaune/2015/05/05/des-travaux-au-reservoir>

L'année 2017 se présente comme plus chaude par rapport à la normale, avec une moyenne de l'écart aux normes (calculées sur la période 1981-2010) de + 1,64 °C. Les précipitations sont moindres en 2017 qu'en 2016, avec respectivement, en cumulés sur l'année, 597 mm et 674 mm. Ces valeurs traduisent des années plutôt sèches par rapport à la pluviométrie moyenne de la région, se situant autour de 882 mm.



4. Physico-chimie des eaux et des sédiments

4.1 Physico-chimie des eaux

4.1.1 Profils verticaux

Les profils de mesure physico-chimiques réalisés au cours des quatre campagnes 2017 sont présentés, page suivante *Figure 6*.

Après une stabilité thermique autour de 6,5 °C à la sortie de l'hiver, une thermocline s'est installée entre 2 m et 3 m dès le mois de mai. Avec le réchauffement estival des couches de surface, cette dernière s'enfonce vers 5 m au mois de juillet. Le différentiel entre surface et fond se maintient autour de 12 °C. Consécutivement à la stratification thermique, le phytoplancton se concentre dans les premiers mètres de l'épilimnion. Ce dernier se trouve alors sursaturé (130 %) en oxygène au mois de mai. Parallèlement, les couches profondes, plus froides, se désoxygènent progressivement jusqu'à être en anoxie complète en juillet. Après une baisse notable de l'activité photosynthétique durant la C3 (80 % de saturation dans l'épilimnion), celle-ci est à nouveau très forte en septembre, 145 % dans le premier mètre. Durant cette dernière campagne, la masse d'eau a commencé à se refroidir et un reliquat de thermocline est observé vers 2 m, avec un gradient thermique allant de 17 à 15 °C de la surface au fond. L'oxycline est toujours en place, la masse d'eau se désoxygénant rapidement sous le premier mètre, descendant sous les 10 % de saturation à partir de 6,5 m.

Les conditions anoxiques constatées dans le fond de la retenue de Chazilly durant toute la période estivale sont le résultat de la consommation de l'oxygène par des processus biologiques et chimiques. Ces derniers concernent notamment la dégradation de la matière organique. L'anoxie en résultant peut engendrer des phénomènes de relargage au niveau des sédiments, apparaissant sur les profils de conductivité du fait de l'enrichissement des couches profondes en sels minéraux. Ainsi, la conductivité, homogène autour de 365 µS/cm dans la colonne d'eau début mars, atteint entre 425 et 450 µS/cm dans le fond de la retenue en mai et juillet. À l'inverse, dans les couches supérieures, la consommation des sels nutritifs par le phytoplancton fait baisser ce paramètre à 250 µS/cm en C3. Le profil de conductivité se recentre autour de cette dernière valeur en C4, n'affichant plus que 288 µS/cm au fond. Les concentrations en matières organiques dissoutes mesurées par fluorescence (MODF) présentent une évolution spatiale et temporelle identique aux mesures de conductivité réalisées au sein de la masse d'eau. Stable autour de 37 ppb ESQ en mars, elles évoluent lors de la stratification thermique atteignant en surface et au fond, respectivement, 18 et 45 ppb ESQ. Lorsque la thermocline tend à s'effacer en septembre, les concentrations en MODF

n'y évoluent plus qu'entre 20 et 30 ppb ESQ, avec des concentrations maximales atteintes entre 1,5 et 7 m.

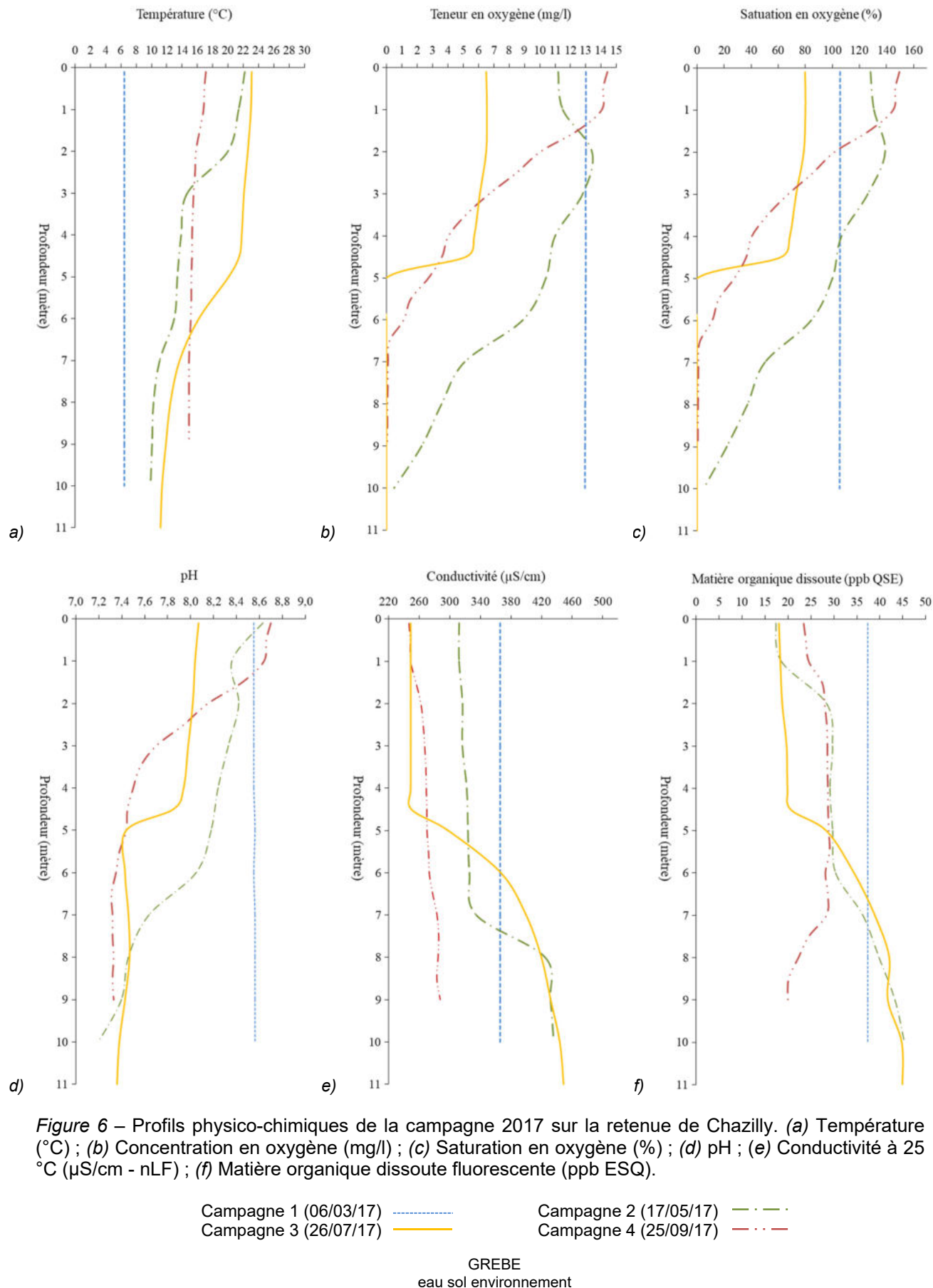


Figure 6 – Profils physico-chimiques de la campagne 2017 sur la retenue de Chazilly. (a) Température (°C) ; (b) Concentration en oxygène (mg/l) ; (c) Saturation en oxygène (%) ; (d) pH ; (e) Conductivité à 25 °C (µS/cm - nLF) ; (f) Matière organique dissoute fluorescente (ppb ESQ).

À l'image de la masse d'eau, le pH est homogène, autour de 8,6, à la sortie de l'hiver. Il décroît ensuite au sein de celle-ci atteignant en juillet, 8 en surface et 7,4 en profondeur. Le pH reste plus élevé en surface du fait de l'activité photosynthétique. Avec le renforcement automnal de cette dernière, le pH remonte alors à 8,6 dans le premier mètre.

4.1.2 Paramètres de minéralisation

Le *Tableau 2* liste les résultats des analyses réalisées sur les paramètres de minéralisation des eaux de la retenue de Chazilly, en surface et en profondeur durant les quatre campagnes. Certains paramètres évoluent de façon significative, notamment les bicarbonates, les sulfates, le titre alcalimétrique complet, ou TAC, et le calcium. Les concentrations de ces paramètres diminuent progressivement au sein de la zone euphotique entre les campagnes 1 à 3. Cette campagne de juillet est également marquée dans le prélèvement de fond par une baisse de la teneur en sulfates et une hausse des bicarbonates ainsi que du TAC, hausses à mettre en lien avec celle de la conductivité, cf. §2.1.1. La campagne 4 se distingue quant à elle par sa zone euphotique, avec des diminutions des concentrations en potassium et sulfates ainsi que des hausses, de facteur 3 à 4, des teneurs en sodium, calcium et magnésium, et donc de la dureté.

Tableau 2 - Résultats pour les paramètres de minéralisation quantifiés sur la retenue de Chazilly en 2017.

| Code sandre | Paramètre | Unité | Limite de quantification | C1 | | C2 | | C3 | | C4 | |
|-------------|---------------|-------------------------|--------------------------|---------|------|---------|------|---------|------|---------|------|
| | | | | Intégré | Fond | Intégré | Fond | Intégré | Fond | Intégré | Fond |
| 1327 | Bicarbonates* | mg(HCO ₃)/L | 6,1 | 188 | 193 | 165 | 174 | 125 | 254 | 133 | 149 |
| 1337 | Chlorures* | mg(Cl)/L | 0,1 | 7,2 | 7,3 | 6,9 | 6,9 | 7,3 | 7,2 | 7,6 | 7,6 |
| 1338 | Sulfates* | mg(SO ₄)/L | 0,2 | 18,4 | 18,8 | 16,7 | 16,8 | 13 | 2,6 | 10,9 | 11 |
| 1345 | Dureté | °F | 0,5 | 17,8 | 18,1 | 15,2 | 15,3 | 10,9 | 18,1 | 33,6 | 12,3 |
| 1347 | TAC* | °F | 0 | 15,95 | 16,3 | 14,05 | 14,6 | 10,25 | 20,8 | 10,9 | 12,2 |
| 1367 | Potassium* | mg(K)/L | 0,1 | 3,2 | 3,2 | 3,2 | 3 | 3,3 | 3,6 | 1,4 | 3,7 |
| 1372 | Magnésium* | mg(Mg)/L | 0,05 | 3,08 | 3,14 | 3,39 | 3,31 | 3,13 | 3,34 | 10,52 | 3,24 |
| 1374 | Calcium* | mg(Ca)/L | 0,1 | 66 | 67,4 | 55,3 | 55,6 | 38,4 | 66,9 | 117,2 | 44 |
| 1375 | Sodium* | mg(Na)/L | 0,2 | 3,9 | 3,9 | 3,8 | 3,7 | 4,3 | 4,3 | 16,6 | 4,5 |
| 7073 | Fluorures* | mg(F)/L | 0,05 | 0,12 | 0,12 | 0,12 | 0,12 | 0,12 | 0,11 | 0,13 | 0,13 |

* paramètres analysés sur eau filtrée

4.1.3 Paramètres physico-chimiques généraux (hors micropolluants)

La *Figure 7* présente les évolutions conjointes des concentrations pigmentaires liées à la dynamique du phytoplancton (chlorophylle a et phéopigments), des matières en suspensions totales en surface et de la transparence. Le *Tableau 3* présente les résultats des analyses sur les paramètres généraux hors micropolluants pour la retenue de Chazilly.

La teneur en pigments chlorophylliens est dosée à une valeur relativement élevée en C1. Elle diminue fortement dès la C2, passant de 20 à 3 µg/L. En conséquence, la transparence augmente de 1,15 à 3,6 m et les matières en suspensions (MES) baissent de 5,9 à 2 mg/L. En C3, ces dernières ont une concentration multipliée par 2,5 en surface et par 10 dans le fond. La zone trophogène se réduit alors de moitié tandis que la concentration chlorophyllienne est divisée par 3 expliquant la faible saturation en oxygène mesurée lors de cette campagne (cf. § 4.1.1). Enfin, en septembre, cette dernière trace, avec une teneur de 30 µg/l, un pic de production phytoplanctonique (150 % de saturation) qui, avec les MES, réduit la transparence à 1 m.

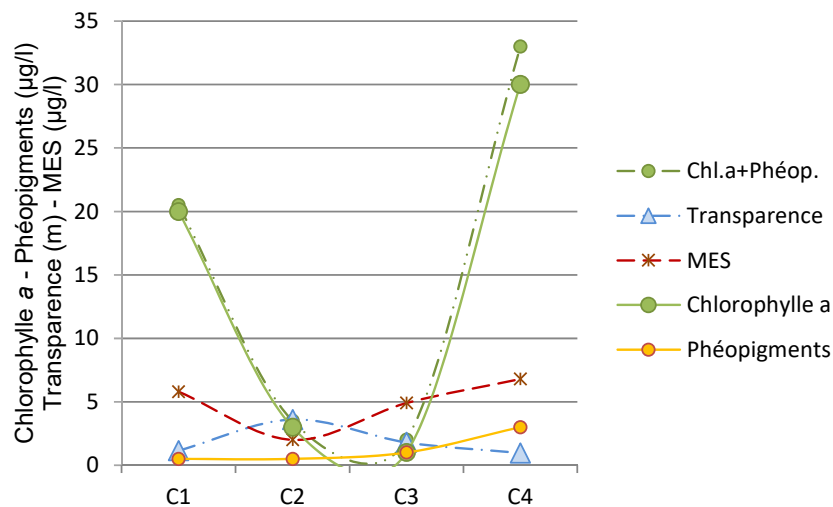


Figure 7 – Graphique de l'évolution conjointe des concentrations pigmentaires (chlorophylle a + phéopigments) de la transparence et des matières en suspension (MES) au cours des campagnes 2017 sur la retenue de Chazilly.

Tableau 3 – Résultats des analyses physico-chimiques (hors micropolluants) quantifiés sur la retenue de Chazilly en 2017.

| Code sandre | Paramètre | Unité | Limite de quantification | C1 | | C2 | | C3 | | C4 | |
|-------------|-----------------------|------------|--------------------------|---------|-------|---------|-------|---------|------|---------|-------|
| | | | | Intégré | Fond | Intégré | Fond | Intégré | Fond | Intégré | Fond |
| 1436 | Phéopigments | µg/L | 1 | <LQ | - | <LQ | - | 1 | - | 3 | - |
| 1439 | Chlorophylle a | µg/L | 1 | 20 | - | 3 | - | 1 | - | 30 | - |
| 1332 | Transparence | m | 0,01 | 1,15 | - | 3,6 | - | 1,8 | - | 0,96 | - |
| 1295 | Turbidité (Formazine) | NFU | 0,1 | 5,9 | 3,9 | 1,7 | 1,5 | 4,9 | 20 | 1,9 | 15 |
| 1305 | MeS | mg/L | 1 | 5,8 | 5,7 | 2 | 2 | 4,9 | 20 | 6,8 | 17 |
| 1313 | DBO | mg(O2)/L | 0,5 | 1,9 | 1,8 | 1,1 | 1,4 | 1,5 | 2,5 | 3 | 2,1 |
| 1314 | DCO | mg(O2)/L | 20 | <LQ | <LQ | <LQ | <LQ | <LQ | <LQ | <LQ | <LQ |
| 1841 | Carbone organique* | mg(C)/L | 0,2 | 3,7 | 3,5 | 4 | 3,9 | 4,1 | 4,6 | 4,7 | 5 |
| 1342 | Silicates* | mg(SiO2)/L | 0,05 | 0,7 | 0,7 | 1,1 | 1,2 | 2,1 | 8,1 | 1,7 | 2,9 |
| 1319 | Azote Kjeldahl | mg(N)/L | 0,5 | 0,69 | 0,73 | 0,59 | 0,72 | 0,58 | 3,5 | 0,84 | 1,2 |
| 1335 | Ammonium* | mg(NH4)/L | 0,01 | 0,01 | 0,01 | 0,03 | 0,07 | 0,02 | 3,9 | 0,08 | 0,49 |
| 1339 | Nitrites* | mg(NO2)/L | 0,01 | 0,08 | 0,08 | 0,12 | 0,13 | <LQ | <LQ | <LQ | 0,01 |
| 1340 | Nitrates* | mg(NO3)/L | 0,5 | 10,9 | 11,2 | 5,3 | 5,6 | <LQ | <LQ | <LQ | <LQ |
| 1350 | Phosphore total | mg(P)/L | 0,005 | 0,046 | 0,034 | 0,028 | 0,019 | 0,035 | 0,43 | 0,037 | 0,054 |
| 1433 | Phosphates* | mg(PO4)/L | 0,01 | <LQ | <LQ | <LQ | <LQ | 0,01 | 0,12 | 0,05 | 0,02 |

Les taux de carbone organique sont faibles à moyennes au cours de l'année, avec des valeurs évoluant entre 3,5 mg/l en début de suivi et 5 mg/l à la fin de l'été. Les valeurs de DBO et de DCO se révèlent relativement peu élevées. Le ratio demande chimique/biologique en oxygène indique une prépondérance des processus biologiques dans l'utilisation de l'oxygène. En termes de nutriments, les nitrates sont dosés en concentrations relativement élevées à la fin de l'hiver, autours de 11 mg (NO_3^-)/l. Ils sont ensuite consommés rapidement, n'atteignant plus que 5,5 mg (NO_3^-)/l en C2 et < 0,5 mg (NO_3^-)/l à partir de la C3. Cette campagne de juillet se distingue par les teneurs en éléments nutritifs relevées dans le prélèvement de fond. En effet, au sein de ce dernier sont quantifiés, en concentrations relativement élevées à fortes, les orthophosphates, 0,12 mg (PO_4^{3-})/l, le phosphore total, 0,43 mg P/l, et, surtout, les ions ammonium, dosés à 3,9 mg (NH_4^+)/l, ce qui représente une très importante concentration pour ce paramètre. Ce dernier composé est encore mesuré à une concentration remarquable dans l'échantillon de fond de la C4, soit 0,49 mg (NH_4^+)/l. Les prélèvements réalisés en profondeur dans la retenue de Chazilly ont d'ailleurs été décrit, en juillet et en septembre, comme coloré (Figure 8), avec une odeur, respectivement forte et légère. Enfin, nous pouvons relever que le phosphore est présent en concentrations peu élevées à moyennes, i.e. entre 0,02 et 0,05 mg P/l, tout au long du suivi 2017.

N.B. : la teneur en ammonium au sein de l'échantillon de fond en juillet est à suivre. En effet, en très fortes concentrations, et dans certaines conditions, les ions ammonium peuvent produire des ions ammoniac (NH_3^+), toxiques pour la faune aquatique lorsque présents en très fortes teneurs.



Figure 8 - Prélèvements d'eau de fond estivaux réalisés sur la retenue de Chazilly.

4.1.4 Micropolluants minéraux

Le Tableau 4 fournit la liste des dix-sept métaux ayant été quantifiés au moins une fois au cours des quatre campagnes du suivi 2017. Les vingt-cinq micropolluants minéraux recherchés sont présentés dans l'annexe 1. Les métaux dosés au-delà de leurs seuils de quantification en 2017 au sein de la retenue de Chazilly sont :

- l'aluminium, surtout présent en C1 ($\approx 10 \mu\text{g/l}$) et C2 ($\approx 20 \mu\text{g/l}$) ;
- l'arsenic, dosé en concentrations relativement élevées lors des C1 et C2, entre 1,8 et 3,5 $\mu\text{g/l}$, il atteint la valeur très forte de 23 $\mu\text{g/l}$ dans le prélèvement de fond de juillet ;

- le baryum, entre 10 et 15 µg/l tout au long du suivi et jusque 35 µg/l dans la zone euphotique en septembre ;
- le bore, stable entre 10 et 14 µg/l ;
- le cadmium, uniquement quantifié en mars dans la zone euphotique ;
- le cobalt, 0,6 µg/l dans le fond durant la C3 et entre 0,1 et 0,2 µg/l sinon ;
- le cuivre, mesuré en forte concentration (6,2 µg/l) en septembre dans l'échantillon intégré, sinon, quantifié dans des concentrations inférieures ou égales à 1 µg/l ;
- le fer, présente des hausses remarquables de sa teneur lors de la stratification thermique de la retenue. Il atteint alors 56 µg/l dans le fond en C2 et C3 ainsi que dans la zone euphotique en C2 puis sa teneur devient très faible en C4 ;
- le manganèse ; présent en teneurs relativement peu élevées, il présente toutefois de très fortes concentrations dans l'échantillon de fond en C2 et C4, respectivement, 126 et 470 µg/l, et dans une moindre mesure, au sein de la zone trophogène en C2, 77 µg/l ;
- nickel, dosé en faibles concentrations, autour de 1 µg/l ;
- le plomb, quantifié en faibles concentration en C2 (0,18 µg/l) et en surface en C4 (0,36 µg/l) ;
- le sélénium, uniquement quantifié en C4 au sein du prélèvement intégré à 5,32 µg/l ;
- le thallium, dosé entre 0,015 et 0,086 µg/l, il est toutefois mesuré à 0,176 µg/l en C4 en surface ;
- le titane, mesuré < 1 µg/l durant tout le suivi ;
- l'uranium, quantifié principalement autour de 1 µg/l, il affiche toutefois 3,1 µg/l en C4 en surface ;
- le vanadium, à chaque campagne, entre 0,25 et 0,59 µg/l ;
- le zinc, quantifié en faible quantité en C1 (\leq 3 µg/l), il ressort en concentration assez élevées en C4, à près de 17,2 mg/l en surface.

L'échantillon intégré de zone euphotique de la dernière campagne se démarque des autres par la quantification de certains métaux parfois inhabituels et présentant des concentrations pouvant être assez élevées (baryum, cuivre, sélénium, uranium et zinc).

Tableau 4 – Résultats d'analyses de métaux sur eau filtrée sur la retenue de Chazilly en 2017.

| Paramètre | Code sandre | Unité | Limite de quantification | C1 | | C2 | | C3 | | C4 | |
|-----------|-------------|----------|--------------------------|---------|-------|---------|-------|---------|-------|---------|-------|
| | | | | Intégré | Fond | Intégré | Fond | Intégré | Fond | Intégré | Fond |
| Aluminium | 1370 | µg(Al)/L | 2 | 12,5 | 8,9 | 17,8 | 22,5 | 8,3 | < LQ | < LQ | 2,8 |
| Arsenic | 1369 | µg(As)/L | 0,5 | 1,8 | 1,8 | 3,2 | 3,5 | 7,64 | 22,9 | < LQ | 6,96 |
| Baryum | 1396 | µg(Ba)/L | 0,5 | 11,8 | 12,1 | 9,5 | 9,5 | 11,2 | 16,1 | 35,2 | 15 |
| Bore | 1362 | µg(B)/L | 10 | 10 | < LQ | 11 | 11 | 14 | 11 | 11 | 11 |
| Cadmium | 1388 | µg(Cd)/L | 0,01 | 0,012 | < LQ | < LQ | < LQ | < LQ | < LQ | < LQ | < LQ |
| Cobalt | 1379 | µg(Co)/L | 0,05 | 0,12 | 0,12 | 0,24 | 0,22 | 0,08 | 0,59 | < LQ | 0,15 |
| Cuivre | 1392 | µg(Cu)/L | 0,1 | 1,1 | 0,83 | 0,71 | 0,65 | 0,39 | 0,28 | 6,2 | 0,53 |
| Fer | 1393 | µg(Fe)/L | 1 | 13,1 | 9,1 | 55,9 | 56,2 | 11,7 | 55,7 | < LQ | 6 |
| Manganèse | 1394 | µg(Mn)/L | 0,5 | 0,7 | 0,6 | 77,1 | 126 | 0,8 | < LQ | < LQ | 470 |
| Nickel | 1386 | µg(Ni)/L | 0,5 | 0,8 | 0,8 | 0,9 | 0,9 | 0,9 | 0,7 | 1,1 | 1,6 |
| Plomb | 1382 | µg(Pb)/L | 0,05 | < LQ | < LQ | 0,18 | 0,18 | < LQ | < LQ | 0,36 | < LQ |
| Sélénium | 1385 | µg(Se)/L | 0,1 | < LQ | < LQ | < LQ | < LQ | < LQ | < LQ | 5,32 | < LQ |
| Thallium | 2555 | µg(Tl)/L | 0,01 | 0,071 | 0,072 | 0,085 | 0,086 | 0,061 | 0,015 | 0,176 | 0,025 |
| Titane | 1373 | µg(Ti)/L | 0,5 | 1 | 0,5 | 0,6 | 0,7 | 0,5 | < LQ | 0,6 | < LQ |
| Uranium | 1361 | µg(U)/L | 0,05 | 0,96 | 0,97 | 1,19 | 1,19 | 0,84 | 0,51 | 3,09 | 0,82 |
| Vanadium | 1384 | µg(V)/L | 0,1 | 0,46 | 0,47 | 0,58 | 0,59 | 0,57 | 0,62 | 0,29 | 0,25 |
| Zinc | 1383 | µg(Zn)/L | 1 | 3 | 1,07 | < LQ | < LQ | < LQ | < LQ | 17,2 | < LQ |

4.1.5 Micropolluants organiques

Les micropolluants organiques quantifiés au moins une fois lors d'une campagne en 2017 sur la retenue de Chazilly sont présentés *Tableau 5*. La liste complète des micropolluants recherchés est présentée en annexe 1.

Cinq hydrocarbures aromatiques polycycliques (HAP) ont été quantifiés à des taux faibles à peu élevés en 2017. Toutefois, le benzo-(b)-fluoranthène atteint dans le prélèvement de fond en C4 la valeur moyenne de 0,0038 µg/l.

Deux phtalates utilisés comme plastifiant dans l'industrie ont été quantifiés. Le diisobutyl phtalate et le DEHP, mesurés en profondeur en C1 et C2 à des valeurs, respectivement élevée et moyenne. Le formaldéhyde, dosé en faible concentration en C2 et en C4, peut provenir de différentes sources, domestique, industrielle et/ou même naturelle. En effet, en condition anoxique, la décomposition de la matière organique peut produire du formaldéhyde. Enfin, quatre pesticides ou métabolites de pesticides, l'isoproturon, le métolachlore, l'AMPA et le métaldéhyde sont régulièrement quantifiés en faible concentration.

Deux molécules actives de médicaments ont été également été quantifiées, principalement en C1, à de faibles taux. Il s'agit de l'irbesartan, un antihypertenseur, et du tramadol, un antalgique. De même, la nicotine a pu être quantifiée au mois de mars dans la colonne d'eau et en surface en juillet. La caféine, autre indicateur de présence humaine, a été retrouvée

quant à elle à chaque campagne, avec notamment une concentration de 0,109 µg/l en C3 dans le fond de la retenue.

Tableau 5 – Résultats d'analyses des micropolluants organiques sur eau brute sur la retenue de Chazilly en 2017.

| Paramètre | Code sandre | Famille | Unité | Limite de quantification | C1 | | C2 | | C3 | | C4 | |
|------------------------|-------------|----------------|-------|--------------------------|---------|--------|---------|-------|---------|-------|---------|--------|
| | | | | | Intégré | Fond | Intégré | Fond | Intégré | Fond | Intégré | Fond |
| 4-tert-butylphénol | 2610 | Phénols | µg/L | 0,02 | < LQ | < LQ | 0,04 | 0,03 | 0,04 | < LQ | < LQ | < LQ |
| AMPA | 1907 | Divers | µg/L | 0,02 | < LQ | 0,024 | < LQ | < LQ | < LQ | 0,06 | 0,025 | 0,041 |
| Benzo (b) Fluoranthène | 1116 | HAP | µg/L | 0,0005 | < LQ | 0,0006 | < LQ | < LQ | 0,0006 | < LQ | 0,0007 | 0,0038 |
| Benzo (ghi) Pérylène | 1118 | HAP | µg/L | 0,0005 | < LQ | < LQ | < LQ | < LQ | < LQ | < LQ | < LQ | 0,0018 |
| Benzo (k) Fluoranthène | 1117 | HAP | µg/L | 0,0005 | < LQ | < LQ | < LQ | < LQ | < LQ | < LQ | < LQ | 0,0009 |
| Bisphénol-A | 2766 | Bisphénols | µg/L | 0,05 | 0,11 | < LQ | < LQ | < LQ | < LQ | < LQ | 0,545 | < LQ |
| Cafeïne | 6519 | - | µg/L | 0,02 | 0,044 | 0,045 | 0,067 | 0,033 | 0,024 | 0,109 | 0,053 | < LQ |
| DEHP | 6616 | Phtalates | µg/L | 0,4 | < LQ | 1,77 | < LQ | 0,64 | < LQ | < LQ | < LQ | < LQ |
| Diisobutyl phthalate | 5325 | Phtalates | µg/L | 0,4 | < LQ | < LQ | < LQ | < LQ | < LQ | < LQ | 0,44 | < LQ |
| Formaldéhyde | 1702 | Aldéhydes | µg/L | 1 | < LQ | < LQ | 2 | < LQ | < LQ | < LQ | 2 | 2 |
| Indéno (123c) Pyrène | 1204 | HAP | µg/L | 0,0005 | < LQ | < LQ | < LQ | < LQ | < LQ | < LQ | < LQ | 0,0011 |
| Irbesartan | 6535 | - | µg/L | 0,005 | 0,008 | 0,008 | < LQ | < LQ | < LQ | < LQ | < LQ | < LQ |
| Isoproturon | 1208 | Urées | µg/L | 0,02 | 0,057 | 0,055 | 0,024 | 0,026 | < LQ | 0,032 | < LQ | < LQ |
| Métaldéhyde | 1796 | Cyclo-octanes | µg/L | 0,02 | 0,07 | 0,027 | 0,042 | 0,031 | 0,076 | 0,053 | 0,12 | 0,12 |
| Metolachlor ESA | 6854 | Organo chlorés | µg/L | 0,02 | 0,025 | 0,023 | 0,032 | 0,032 | 0,035 | 0,041 | 0,025 | 0,026 |
| Monobutyletai cation | 2542 | Organo étains | µg/L | 0,0025 | 0,0032 | 0,003 | < LQ | < LQ | < LQ | < LQ | < LQ | < LQ |
| Naphtalène | 1517 | HAP | µg/L | 0,005 | 0,01 | 0,01 | < LQ | 0,006 | < LQ | < LQ | 0,006 | < LQ |
| Nicotine | 5657 | - | µg/L | 0,02 | 0,029 | 0,035 | < LQ | < LQ | 0,034 | < LQ | 0,024 | < LQ |
| Tramadol | 6720 | - | µg/L | 0,005 | 0,007 | 0,007 | < LQ | < LQ | < LQ | 0,009 | < LQ | < LQ |

Il s'agit d'une présentation des résultats bruts, certaines valeurs pouvant être qualifiées d'incertaines suite à la validation finale des résultats (cas par exemple des valeurs mesurées en BTEX, DEHP, formaldéhyde, dont une contamination via la chaîne de prélèvement et/ou d'analyse de laboratoire est parfois privilégiée).

4.2 Physico-chimie des sédiments

4.2.1 Paramètres physico-chimiques généraux (hors micropolluants)

Le Tableau 6 fournit les résultats des analyses granulométriques et de physico-chimie générale des sédiments prélevés en septembre sur la retenue de Chazilly. La Figure 9 présente une photographie des sédiments prélevés dans la retenue de Chazilly. Apparaissant très fins, les sédiments sont composés à 97 % de limons argileux fins à très fins (< 63 µm). Le taux de matière organique contenue dans les sédiments, représenté par la perte au feu, est plutôt moyen – 10,5 %, à l'image des teneurs en carbone, 35 348 mg (C)/kg MS et en azote Kjeldahl 5 296,6 mg (N)/kg MS. La concentration en phosphore total, 1 496 mg (P)/kg MS, y est par contre élevée. Les teneurs en azote et phosphore mesurées au sein de l'eau interstitielle indiquent toutefois une certaine



Figure 9 – Sédiments de la retenue de Chazilly prélevés au niveau du point profond le 25/09/17.

activité de relargage des sédiments, avec un taux moyen de phosphore total (0,42 mg (P)/l), et un taux élevé en ion ammonium, 12,6 mg (NH_4^+)/l).

Tableau 6 – Physico-chimie et granulométrie des sédiments de la retenue de Chazilly (25/09/17).

| Fraction | Code sandre | Paramètre | Unité | Limite de quantification | Valeur |
|---------------------------------------|-------------|--|-----------------------|--------------------------|--------|
| Particule inf. 2 mm | 1307 | Matière sèche à 105°C | % | - | 39,8 |
| Matière sèche de particules inf. 2 mm | 5539 | Matière Sèche Minérale (M.S.M) | % | - | 89,6 |
| | 5540 | Matière Sèche Organique (M.S.O) | % | - | 10 |
| | 6578 | Perte au feu à 550°C | % | - | 10,5 |
| | 1841 | Carbone organique | mg(C)/kg MS | 1000 | 35348 |
| Eau intersticielle filtrée | 1335 | Ammonium | mg(NH_4)/L | 0,5 | 12,6 |
| | 1433 | Phosphates | mg(PO_4)/L | 0,015 | 0,092 |
| Eau intersticielle brute | 1350 | Phosphore total | mg(P)/L | 0,01 | 0,42 |
| Matière sèche de particules inf. 2 mm | 1319 | Azote Kjeldahl | mg(N)/kg MS | 1000 | 5296,6 |
| | 1335 | Ammonium | mg(N)/kg MS | 200 | 399 |
| | 1350 | Phosphore total | mg(P)/kg MS | 2 | 1496 |
| Matière sèche de particules inf. 2 mm | 6228 | Teneur en fraction inférieure à 20 µm | % | - | 78,9 |
| | 3054 | Teneur en fraction de 20 à 63 µm | % | - | 17,9 |
| | 7042 | Teneur en fraction de 63 à 150 µm | % | - | 3 |
| | 7043 | Teneur en fraction de 150 à 200 µm | % | - | 0,1 |
| | 7044 | Teneur en fraction supérieure à 200 µm | % | - | 0,1 |

4.2.2 Micropolluants minéraux

Les vingt-six micropolluants minéraux recherchés ont été quantifiés dans les sédiments de la retenue de Chazilly en 2017. Ils sont listés en annexe 2 et les résultats analytiques sont présentés dans le *Tableau 7*. Le fer, l'aluminium et l'arsenic sont dosés en concentrations élevées, respectivement 33 660 mg/kg MS, 57 590 mg/kg MS, 72,1 mg/kg MS. Parmi les autres micropolluants métalliques, le chrome (96,7 mg/kg MS), le nickel (46,8 mg/kg MS), le plomb (63,2 mg/kg MS) et le zinc (264,5 mg/kg MS) sont mesurés à des taux relativement élevés, alors que le cuivre et le mercure sont quantifiés à des niveaux peu élevés.

Tableau 7 – Micropolluants minéraux quantifiés dans les sédiments de la retenue de Chazilly en 2017.

| Paramètre | Code sandre | Unité | Limite de quantification | Valeur |
|-----------|-------------|--------------|--------------------------|--------|
| Aluminium | 1370 | mg(Al)/kg MS | 5 | 57590 |
| Antimoine | 1376 | mg(Sb)/kg MS | 0,2 | 1,5 |
| Argent | 1368 | mg(Ag)/kg MS | 0,1 | 0,4 |
| Arsenic | 1369 | mg(As)/kg MS | 0,2 | 72,1 |
| Baryum | 1396 | mg(Ba)/kg MS | 0,4 | 205,5 |
| Beryllium | 1377 | mg(Be)/kg MS | 0,2 | 2,4 |
| Bore | 1362 | mg(B)/kg MS | 1 | 59 |
| Cadmium | 1388 | mg(Cd)/kg MS | 0,2 | 1,3 |
| Chrome | 1389 | mg(Cr)/kg MS | 0,2 | 96,7 |
| Cobalt | 1379 | mg(Co)/kg MS | 0,2 | 14,4 |
| Cuivre | 1392 | mg(Cu)/kg MS | 0,2 | 23,8 |
| Etain | 1380 | mg(Sn)/kg MS | 0,2 | 3,2 |
| Fer | 1393 | mg(Fe)/kg MS | 5 | 33660 |
| Lithium | 1364 | mg(Li)/kg MS | 1 | 96,8 |
| Manganèse | 1394 | mg(Mn)/kg MS | 0,4 | 1620 |
| Mercure | 1387 | mg(Hg)/kg MS | 0,02 | 0,06 |
| Molybdène | 1395 | mg(Mo)/kg MS | 0,2 | 1 |
| Nickel | 1386 | mg(Ni)/kg MS | 0,2 | 46,8 |
| Plomb | 1382 | mg(Pb)/kg MS | 0,2 | 63,2 |
| Sélénium | 1385 | mg(Se)/kg MS | 0,2 | 2,8 |
| Thallium | 2555 | mg(Tl)/kg MS | 0,2 | 8,6 |
| Titane | 1373 | mg(Ti)/kg MS | 1 | 3968 |
| Uranium | 1361 | mg(U)/kg MS | 0,2 | 3,2 |
| Vanadium | 1384 | mg(V)/kg MS | 0,2 | 109,7 |
| Zinc | 1383 | mg(Zn)/kg MS | 0,4 | 264,5 |

4.2.3 Micropolluants organiques

La liste de l'ensemble des micropolluants recherchés est fournie en annexe 2. Treize micropolluants organiques ont été quantifiés dans les sédiments de la retenue de Chazilly en 2017, ils sont présentés *Tableau 8*. Parmi ceux-ci, deux molécules sont des polychlorobiphényles (PCB), quantifiés en faibles quantités, 1 µg/kg MS. Les onze autres substances sont des hydrocarbures aromatiques polycycliques (HAP), dont six sont en quantités significatives. La somme des concentrations en HAP atteint un taux relativement faible de 479 µg/kg MS. Les paramètres dosés à plus de 50 µg/kg MS sont listés ci-dessous :

- benzo(b)fluoranthène (112 µg/kg MS)
- benzo(ghi)pérylène (52 µg/kg MS)
- chrysène (53 µg/kg MS)
- fluoranthène (104 µg/kg MS)
- phénanthrène (71 µg/kg MS)
- pyrène (79 µg/kg MS)

Le précédent suivi (2014) indiquait des concentrations en HAP moyennes. Les teneurs mesurées alors étaient nettement supérieures, avec une concentration totale en HAP de 1862 µg/mg MS. En revanche les PCB n'avaient pas été quantifiés, alors qu'inversement, le DEHP, un plastifiant, ne l'est plus.

Tableau 8 – Micropolluants organiques quantifiés dans les sédiments de la retenue de Chazilly en 2017.

| Paramètre | Code sandre | Famille | Unité | Limite de quantification | Valeur |
|------------------------|-------------|---------|----------|--------------------------|--------|
| Anthracène | 1458 | HAP | µg/kg MS | 10 | 13 |
| Benzo (a) Anthracène | 1082 | HAP | µg/kg MS | 10 | 33 |
| Benzo (a) Pyrène | 1115 | HAP | µg/kg MS | 10 | 40 |
| Benzo (b) Fluoranthène | 1116 | HAP | µg/kg MS | 10 | 112 |
| Benzo (ghi) Pérylène | 1118 | HAP | µg/kg MS | 10 | 52 |
| Benzo (k) Fluoranthène | 1117 | HAP | µg/kg MS | 10 | 28 |
| Chrysène | 1476 | HAP | µg/kg MS | 10 | 53 |
| Fluoranthène | 1191 | HAP | µg/kg MS | 40 | 104 |
| Indéno (123c) Pyrène | 1204 | HAP | µg/kg MS | 10 | 43 |
| PCB 138 | 1244 | PCB | µg/kg MS | 1 | 1 |
| PCB 153 | 1245 | PCB | µg/kg MS | 1 | 1 |
| Phénanthrène | 1524 | HAP | µg/kg MS | 50 | 71 |
| Pyrène | 1537 | HAP | µg/kg MS | 40 | 79 |



Retenue de Chazilly le 25 septembre 2017.

5. Phytoplancton

L'échantillonnage du phytoplancton a été réalisé au cours des quatre campagnes de prélèvement au niveau de la zone euphotique. Les évolutions des structures des communautés en termes de concentrations cellulaires et de biovolumes, exprimées et regroupées en principaux groupes classiquement utilisés d'un point de vue qualitatif, sont conjointement illustrées sur la *Figure 10*. La diversité globale du peuplement, intégrant tous les taxons présents lors d'au moins une campagne, est relativement importante en 2017, 79 taxons.

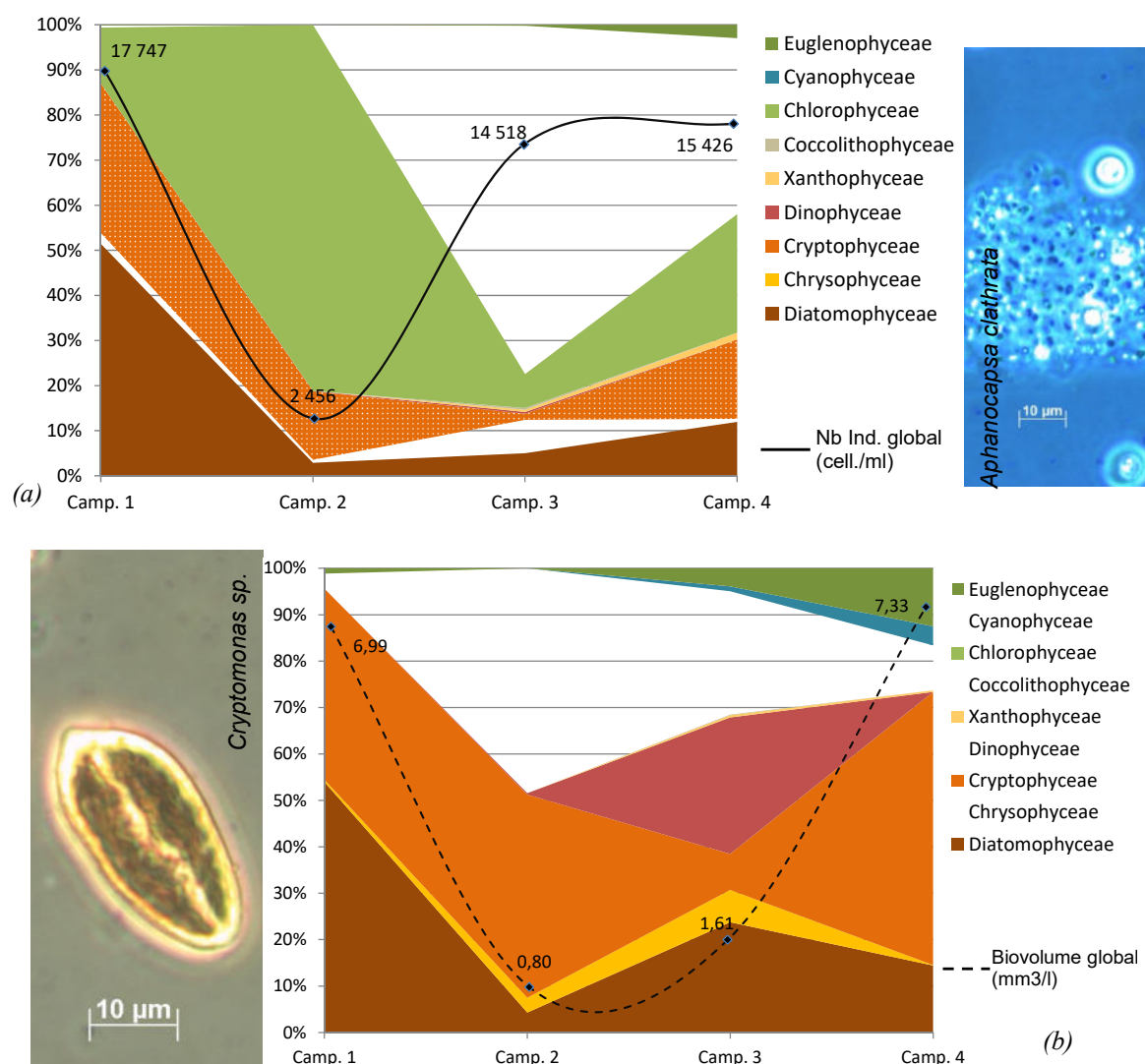


Figure 10 - Évolution de la structure des populations phytoplanctoniques de la retenue de Chazilly au cours des 4 saisons de prélèvement 2017 (regroupés en principaux groupes pigmentaires). (a) Évolution en termes de concentration (exprimée en nombre de cellules par ml d'eau) ; (b) Évolution en termes de biovolume algal (exprimé en mm³/l).

Les peuplements phytoplanctoniques des campagnes de mars, juillet et septembre présentent des densités élevées, autour de 16 000 ind./ml. Le cortège de fin d'hiver est classiquement dominé par des taxons précoces appartenant aux classes des diatomophycées et cryptophycées que ce soit en termes de concentrations planctoniques et de biovolumes à hauteur de 50 % et 35 % du peuplement respectivement.

La campagne de mai marque une phase d'eaux claires avec un effondrement du peuplement phytoplanctonique, dont la concentration est divisée par 7,2 et le biovolume par 8,7. Conjointement au réchauffement des eaux, le broutage du phytoplancton par le zooplancton devient important. Les formes les plus sensibles à la préation, comme le nannoplancton, les diatomées, les formes non motiles, etc., régressent alors fortement. La communauté planctonique est ainsi dominée par de petites chlorophycées coloniales et des cryptophycées, notamment du genre *Cryptomonas* sp. Les premières représentent 81 % des cellules mais seulement 48 % du biovolume global, alors que les secondes, respectivement, 15 % et 44 %. Les espèces du genre *Cryptomonas* sp sont des cryptophycées mobiles dans la colonne d'eau grâce à leurs deux flagelles. Cette capacité leur offre l'avantage double d'être moins sensibles à la préation et de pouvoir migrer dans les milieux stratifiés entre la surface, où l'éclairement est maximum, et la limite supérieure du métalimnion, plus riche en nutriments. Les *Cryptomonas* sont également capables, dans certaines conditions très contraignantes, de mixotrophie, c'est-à-dire l'ingestion de bactéries. En effet, ces dernières sont plus performantes pour absorber le phosphore dissous lorsque celui-ci est rare et il est alors plus simple pour ce taxon de les digérer que de prélever le phosphore directement dans le milieu. Les deux chlorophycées dominantes en mai, *Scenedesmus arcuatus* et *Oocystis parva*, sont des taxons assez communs, fréquemment rencontrées dans des eaux riches en nutriments.

En juillet, le peuplement phytoplanctonique retrouve une densité comparable à la première campagne, 14 518 ind./ml. Cette concentration est principalement occasionnée par la prolifération de petites cyanophycées représentant 77 % de la communauté planctonique pour seulement 4 % du biovolume global. Les deux taxons les plus représentés, *Aphanocapsa delicatissima* et *Aphanothece clathrata*, sont des cyanobactéries coloniales bénignes, appréciant les milieux peu turbulents et riches en nutriments. En termes de biovolume, trois taxons occupent 68 % du volume global, *Peridinium cunningtonii*, dinophycées appréciant les eaux chaudes, *Pediastrum duplex*, chlorophycées coloniales fréquentes dans les milieux riches et la diatomée centrique fréquente en milieu eutrophe, *Cyclostephanos dubius*.

En fin de production, des formes de grandes tailles se développent. La communauté phytoplanctonique présente un biovolume multiplié par 4,6 pour une densité équivalente. D'un point de vue quantitatif, les cyanophycées et les chlorophycées, groupes pigmentaires

préférant globalement les eaux riches et chaudes, dominant. Chez les premières, *A. delicatissima* est majoritaire à égalité avec *Aphanizomenon yezoense*. Cette dernière espèce préfère les eaux calmes, claires et riches en phosphore. Elle peut notamment fixer l'azote atmosphérique grâce à certaines cellules modifiées et sous certaines conditions, poser un risque potentiel de toxicité lorsqu'elle est surabondante. En termes de biovolume, les grandes cryptophycées flagellées du genre *Cryptomonas* comptent pour 55 % du peuplement. Les euglènes, groupe représenté ici par le genre *Trachelomonas*, capable de mobilité et appréciant particulièrement les eaux eutrophes, occupent 13 % du biovolume globale, à part égale avec les diatomées. Ces dernières sont principalement des colonies d'*Asterionella formosa*, caractéristique des masses d'eau brassées et eutrophes.

L'indice phytoplancton lacustre (**IPLAC**) calculé sur les trois campagnes de production estivales est de **0,655** pour cette période 2017, soit un « **bon état** » au regard de cet indicateur. L'indice est toutefois assez proche de la limite de l'« état moyen ». La sous métrique de biomasse algale (MBA), basée sur les concentrations de chlorophylles *a* relevées est d'ailleurs plutôt moyenne (0,567). En revanche, la métrique de composition spécifique (MCS), qui synthétise le niveau trophique du lac en fonction des espèces présentes est plus favorable (0,693). Cependant, seuls 33 à 45 % des taxons présents lors des campagnes 2 à 4 sont pris en compte dans le calcul de ce sous-indice. Il peut donc donner une idée tronquée du peuplement et de la trophie du milieu, plus optimiste que l'analyse des listes floristiques obtenues.

À titre de comparaison, lors du précédent suivi réalisé en 2014, l'IPL calculé atteignait 71/100. Cette note décrivait un milieu eutrophe et était particulièrement influencé par le développement estival d'une cyanophycée, *Aphanizomenon flos-aque*. Cette dernière représentait en juillet et septembre 2014 plus de 70 % de la concentration totale qui atteignait alors, respectivement, 1 941 211 cell./ml et 98 025 cell./ml. Ce taxon n'a pas été retrouvé au cours du suivi 2017, dont le peuplement de juillet est cependant également dominé par des cyanophycées, sans atteindre de telles concentrations. Les biovolumes calculés en 2017 sont également plus faibles qu'en 2014. Ils marquaient alors également une chute entre C1 et C2 de 11 mm³/l à 1 mm³/l. Le bloom estival de cyanophycées induisait alors un biovolume global de 230 mm³/l qui redescendait en septembre à 15 mm³/l.

Tableau 9 – Liste taxinomique du phytoplancton échantillonné au cours des 4 campagnes 2017 sur la retenue de Chazilly. Les individus sont présentés en concentrations (cell./ml).

| CLASSES | TAXONS | Codes Sandre | CAMPAGNES | | | |
|-----------------------|---|--------------|-----------|-----|--------|--------|
| | | | C1 | C2 | C3 | C4 |
| BACILLARIOPHYCEAE | <i>Achnanthidium</i> | 9356 | 22 | 28 | | |
| | <i>Achnanthidium minutissimum</i> | 7076 | | | 4 | |
| | <i>Cocconeis euglypta</i> | 11785 | | | 4 | |
| | Diatomées pennées indét. (30 - 100 µm) | 6598 | 1932 | 7 | | |
| | <i>Nitzschia acicularis</i> | 8809 | 4509 | | | |
| | <i>Nitzschia amphibia</i> | 9366 | | | 15 | |
| | <i>Nitzschia supralitorea</i> | 9049 | 200 | | | |
| | <i>Surirella</i> | 9468 | 22 | | 4 | |
| CHLOROPHYCEAE | <i>Ankyra judayi</i> | 5596 | 222 | 273 | | 59 |
| | <i>Chlamydomonas sp.</i> (< 10 µm) | 6016 | 111 | 9 | | |
| | Chlorophycées flagellées indét. (diamètre 2 - 5 µm) | 3332 | | 26 | | |
| | Chlorophycées unicellulaires indét. (< 5 µm) | 1115 | | | 56 | |
| | Chlorophycées unicellulaires indét. (5-10 µm) | 1115 | | | 22 | |
| | <i>Coelastrum microporum</i> | 5610 | | 167 | 74 | 118 |
| | <i>Coenochloris fottii</i> | 5618 | | 225 | 163 | |
| | <i>Crucigenia tetrapedia</i> | 5633 | | | | 133 |
| | <i>Desmodesmus bicaudatus</i> | 37351 | | | 15 | 442 |
| | <i>Desmodesmus communis</i> | 31933 | | | 30 | 251 |
| | <i>Desmodesmus granulatus</i> | 31937 | | | | 29 |
| | <i>Monoraphidium arcuatum</i> | 5729 | 44 | | 4 | |
| | <i>Monoraphidium contortum</i> | 5731 | 1199 | | | |
| | <i>Monoraphidium minutum</i> | 5736 | 22 | | 111 | 44 |
| | <i>Pediastrum duplex</i> | 5772 | | | 416 | |
| | <i>Pediastrum tetras</i> | 5780 | | | 15 | |
| | <i>Phacotus lenticularis</i> | 6048 | 22 | 4 | 4 | 29 |
| CRYPTOPHYCEAE | <i>Scenedesmus arcuatus</i> | 5807 | | 692 | | |
| | <i>Scenedesmus ellipticus</i> | 5826 | | | | 59 |
| | <i>Stichococcus</i> (< 4 µm largeur) | 6003 | 22 | | | |
| | <i>Tetraedron caudatum</i> | 5885 | | | | 29 |
| | <i>Tetraedron minimum</i> | 5888 | | | 4 | 487 |
| | <i>Treubaria schmidlei</i> | 5910 | | | | 15 |
| | <i>Chrysococcus</i> | 9570 | 333 | | 15 | 74 |
| | Chrysophycées indét. | 1160 | | | 1054 | 29 |
| CYANOPHYCEAE | <i>Kephrion</i> | 6150 | | 2 | | |
| | <i>Kephrion petasatum</i> | 20174 | | 2 | | |
| | <i>Kephrion rubri-claustri</i> | 6152 | 89 | 4 | 4 | |
| | <i>Erkenia subaequiciliata</i> | 6149 | | | 52 | |
| DINOPHYCEAE | <i>Acanthoceras zachariasii</i> | 10788 | | | 4 | |
| | <i>Cyclostephanos dubius</i> | 8599 | 2110 | | 631 | |
| | Diatomées centriques indét. (> 10 µm) | 12334 | | 30 | | 74 |
| | Diatomées centriques indét. (< 10 µm) | 6598 | | 6 | | 251 |
| | Diatomées centriques indét. (5 µm) | 12334 | | | | 133 |
| | <i>Stephanodiscus minutulus</i> | 8753 | 333 | | 30 | |
| | <i>Stephanodiscus vestibulis</i> | 18724 | | | 15 | |
| EUGLENOPHYCEAE | <i>Cryptomonas</i> | 6269 | 1288 | 165 | 63 | 2315 |
| | <i>Cryptomonas marssonii</i> | 6273 | 133 | 37 | | 147 |
| | <i>Goniomonas truncata</i> | 35416 | 888 | | 30 | 103 |
| | <i>Plagioselmis nannoplantica</i> | 9634 | 3576 | 171 | 104 | 147 |
| | <i>Anabaena flos-aquae</i> | 6282 | | | | 575 |
| GREBE | <i>Anabaena viguieri</i> | 31797 | | | | 619 |
| | <i>Aphanizomenon yezoense</i> | 31897 | | | | 2610,4 |
| | <i>Aphanocapsa delicatissima</i> | 6308 | | | 5532,1 | 2212,2 |
| | <i>Aphanothece clathrata</i> | 6349 | | | | 5681 |
| | <i>Merismopedia tenuissima</i> | 6330 | 89 | | | |
| GRENIER | <i>Ceratium</i> | 4949 | | | 1 | |
| | <i>Gymnodinium</i> | 4925 | | 2 | | |
| | <i>Peridinium cunningtonii</i> | 25630 | | | 56 | |
| eau sol environnement | <i>Phacus curvicauda</i> | 6506 | | | | 15 |
| | <i>Trachelomonas</i> | 6527 | | | 22 | 398 |
| | <i>Trachelomonas hispida</i> | 6531 | 22 | | 7 | 44 |

... suite page suivante

... suite Tableau 9

| | | | | | |
|---------------------|---------------------------------------|-------|-----|-----|------|
| | <i>Asterionella formosa</i> | 4860 | | | 1254 |
| FRAGILARIOPHYCEAE | <i>Fragilaria gracilis</i> | 6679 | | 15 | |
| | <i>Ulnaria</i> | 9549 | | 4 | 133 |
| | <i>Ulnaria acus</i> | 32078 | | 4 | |
| KLEBSORMIDIOPHYCEAE | <i>Elakatothrix gelatinosa</i> | 5664 | 44 | 7 | 11 |
| SYNUROPHYCEAE | <i>Mallomonas</i> | 6209 | | 9 | |
| | <i>Crucigeniella apiculata</i> | 5635 | | | 723 |
| | <i>Dichotomococcus curvatus</i> | 6231 | 244 | | |
| | <i>Dictyosphaerium</i> (environ 2 µm) | 5645 | 133 | | 111 |
| | <i>Dictyosphaerium pulchellum</i> | 5648 | | 91 | 1091 |
| | <i>Didymocystis fina</i> | 9193 | 133 | | |
| TREBOUXIOPHYCEAE | <i>Didymocystis planctonica</i> | 25668 | | | 29 |
| | <i>Micractinium pusillum</i> | 5726 | | | 413 |
| | <i>Oocystis</i> | 5752 | | 20 | |
| | <i>Oocystis borgei</i> | 5753 | | 4 | |
| | <i>Oocystis parva</i> | 5758 | | 459 | 52 |
| | <i>Trebouxia sp.</i> (environ 12 µm) | 34956 | | 17 | 74 |
| XANTHOPHYCEAE | <i>Goniochloris mutica</i> | 6237 | | 4 | 15 |
| | <i>Nephrodiella</i> | 9615 | | 71 | 221 |

6. Appréciation globale de la qualité du plan d'eau

Les résultats obtenus sur la retenue de Chazilly lors de ce suivi témoignent d'un lac à **tendance eutrophe**, avec une relative concordance de qualité des compartiments eau et sédiments.

La désoxygénation estivale des couches d'eau profondes est très conséquente, traduisant de forts taux de matières organiques en profondeur, consommant largement l'oxygène disponible par des phénomènes de dégradation et de décomposition, et induisant une remise en suspension du stock nutritionnel sédimentaire et une minéralisation peu effective. Les taux de nutriments, notamment azotés, relevés dans les eaux entraînent une forte production primaire. Cette dernière se reflète par ailleurs dans de fortes sursaturations en oxygène relevées en surface en périodes estivales. Les biovolumes phytoplanctoniques peuvent être conséquents, avec des compositions taxinomiques reflétant un milieu riche en nutriments.

Un certain nombre de substances relevées dans les eaux trahissent également la présence d'intrants d'origine domestique, avec notamment la présence de substances médicamenteuses, de caféine ou de nicotine. Un certain nombre d'éléments traces métalliques ont également été quantifiés dans les eaux au cours du suivi, mais également des HAP, globalement en concentrations modérées. La matrice sédimentaire présente quant à elle un état nettement plus dégradé, avec un stock minéral modéré, mais avec la quantification de PCB, d'éléments traces métalliques et une contamination significative en HAP.

Annexes

Annexe 1

Liste des micropolluants analysés sur eau

| Code SANDRE | Paramètre | Type | Unité | Limite de Quantification | Unité | Limite de Quantification | Unité | Type |
|-------------|---------------------------------|----------------------------|----------|--------------------------|-------|--------------------------|---|-------|
| Code SANDRE | Paramètre | | | | | | | |
| 1370 | Aluminium | Micropolluants métalliques | µg(Au)/L | 2 | µg(L) | 6456 | Acébutoïol | 0,01 |
| 1376 | Antimoine | Micropolluants métalliques | µg(Sb)/L | 0,5 | µg/L | 1453 | Acénaphthène | 0,01 |
| 1368 | Argent | Micropolluants métalliques | µg(Ag)/L | 0,01 | µg/L | 1622 | Acenaphthylene | 0,01 |
| 1369 | Arsenic | Micropolluants métalliques | µg(As)/L | 0,5 | µg/L | 1100 | Acéphate | 0,02 |
| 1396 | Baryum | Micropolluants métalliques | µg(Ba)/L | 0,5 | µg/L | 1454 | Acétaldéhyde | 5 |
| 1377 | Beryllium | Micropolluants métalliques | µg(Be)/L | 0,01 | µg/L | 5579 | Acetaminiprid | 0,02 |
| 1362 | Bore | Micropolluants métalliques | µg(B)/L | 10 | µg/L | 1903 | Acibenzolar-S-Méthyl | 0,005 |
| 1388 | Cadmium | Micropolluants métalliques | µg(Cd)/L | 0,01 | µg/L | 5581 | Acibenzolar-S-Methyl | 0,02 |
| 1389 | Chrome | Micropolluants métalliques | µg(Cr)/L | 0,5 | µg/L | 5408 | Acide clorofrique | 0,01 |
| 1379 | Cobalt | Micropolluants métalliques | µg(Co)/L | 0,05 | µg/L | 5369 | Acide fenolifrique | 0,005 |
| 1392 | Cuivre | Micropolluants métalliques | µg(Cu)/L | 0,1 | µg/L | 1465 | Acide monochloroacétique | 0,2 |
| 1380 | Etain | Micropolluants métalliques | µg(Sn)/L | 0,5 | µg/L | 1521 | Acide nitrilotriacétique (NTA) | 5 |
| 1393 | Fer | Micropolluants métalliques | µg(Fe)/L | 1 | µg/L | 6549 | Acide pentacosafluorotriacétique (PFDS) | 0,2 |
| 1394 | Manganèse | Micropolluants métalliques | µg(Mn)/L | 0,5 | µg/L | 6550 | Acide perfluorodecane sulfonique (PFDS) | 0,05 |
| 1387 | Mercurie | Micropolluants métalliques | µg(Hg)/L | 0,01 | µg/L | 6509 | Acide perfluoro-decanoïque (PFDA) | 0,02 |
| 1395 | Molybdène | Micropolluants métalliques | µg(Mo)/L | 1 | µg/L | 6507 | Acide perfluoro-dodecanoïque (PFDoA) | 0,02 |
| 1386 | Nickel | Micropolluants métalliques | µg(Ni)/L | 0,5 | µg/L | 6542 | Acide perfluorohexapeptide sulfonique | 0,2 |
| 1382 | Plomb | Micropolluants métalliques | µg(Pb)/L | 0,05 | µg/L | 6830 | Acide perfluorhexanesulfonique (PFHS) | 0,01 |
| 1385 | Sélénium | Micropolluants métalliques | µg(Se)/L | 0,1 | µg/L | 5980 | Acide perfluoro-n-butanoïque (PFBA) | 0,2 |
| 2559 | Tellure | Micropolluants métalliques | µg(Te)/L | 0,5 | µg/L | 5977 | Acide perfluoro-n-heptanoïque (PFHpA) | 0,01 |
| 2555 | Thallium | Micropolluants métalliques | µg(Tl)/L | 0,01 | µg/L | 5978 | Acide perfluoro-n-hexanoïque (PFHxA) | 0,01 |
| 1373 | Titane | Micropolluants métalliques | µg(Ti)/L | 0,5 | µg/L | 6508 | Acide perfluoro-n-nonanoïque (PFNA) | 0,02 |
| 1361 | Uranium | Micropolluants métalliques | µg(U)/L | 0,05 | µg/L | 5979 | Acide perfluoro-n-pentanoïque | 0,1 |
| 1384 | Vanadium | Micropolluants métalliques | µg(V)/L | 0,1 | µg/L | 6510 | Acide perfluoro-n-undecanoïque (PFUnA) | 0,02 |
| 1383 | Zinc | Micropolluants métalliques | µg(Zn)/L | 1 | µg/L | 6560 | Acide perfluoro-octanoïque (PFOA) | 0,01 |
| 2934 | 1-(3-chloro-4-méthylphényl)uree | Micropolluants organiques | µg/L | 0,05 | µg/L | 5347 | Acide Perfluorotetradecanoïque (PFTeA) | 0,1 |
| 5399 | 17alpha-Estradiol | Micropolluants organiques | µg/L | 0,01 | µg/L | 6547 | Acide sulfonique de perfluorobutane | 0,12 |
| 7011 | 1-Hydroxy Ibuprofen | Micropolluants organiques | µg/L | 0,01 | µg/L | 6025 | Acide sulfonique de perfluorobutane | 0,02 |
| 6022 | 2,4+2,5-dichloranilines | Micropolluants organiques | µg/L | 0,05 | µg/L | 1970 | Acifluorfen | 0,01 |
| 1264 | 2,4 5 T | Micropolluants organiques | µg/L | 0,02 | µg/L | 1688 | Aclonifen | 0,005 |
| 1141 | 2,4 D | Pesticides | µg/L | 0,02 | µg/L | 1310 | Acrinathrine | 0,005 |
| 1142 | 2,4 DB | Pesticides | µg/L | 0,1 | µg/L | 1101 | Alachlore | 0,005 |
| 2872 | 2,4 D isopropyl ester | Pesticides | µg/L | 0,005 | µg/L | 1102 | Aldicarbe | 0,02 |
| 2873 | 2,4 D méthyl ester | Pesticides | µg/L | 0,005 | µg/L | 1807 | Aldicarbe sulfone | 0,02 |
| 1212 | 2,4 MCPA | Pesticides | µg/L | 0,02 | µg/L | 1806 | Aldicarbe sulfoxide | 0,02 |
| 1213 | 2,4 MCPB | Pesticides | µg/L | 0,03 | µg/L | 1103 | Aldrine | 0,001 |
| 2011 | 2,6 Diclorobenzamide | Pesticides | µg/L | 0,005 | µg/L | 1697 | Aléthrine | 0,03 |
| 2815 | 2-chloro-4-nitrotoluene | Micropolluants organiques | µg/L | 0,15 | µg/L | 7501 | Alixycarbe | 0,02 |
| 2818 | 2-Chloro-6-méthylaniline | Micropolluants organiques | µg/L | 0,02 | µg/L | 6651 | alpha-Hexabromocyclododecane | 0,5 |
| 3159 | 2-hydroxy-desethyl-Atrazine | Micropolluants organiques | µg/L | 0,02 | µg/L | 1812 | Alphaméthrine | 0,005 |
| 7012 | 2-Hydroxy Ibuprofen | Micropolluants organiques | µg/L | 1 | µg/L | 5370 | Alprazolam | 0,01 |
| 2615 | 2-Naphtol | Micropolluants organiques | µg/L | 0,1 | µg/L | 1104 | Amétryne | 0,02 |
| 2613 | 2-nitrotoluene | Micropolluants organiques | µg/L | 0,02 | µg/L | 5697 | Amidithion | 0,02 |
| 6427 | 2-tert-butyl 4-méthylphénol | Micropolluants organiques | µg/L | 0,5 | µg/L | 2012 | Amidosulfuron | 0,02 |
| 7019 | 3,4,5-trichloroaniline | Micropolluants organiques | µg/L | 0,02 | µg/L | 5523 | Aminocarbe | 0,02 |
| 5695 | 3,4,5-Triméthacarb | Micropolluants organiques | µg/L | 0,02 | µg/L | 2537 | Aminochlorophénol-2,4 | 0,1 |
| 2819 | 3-Chloro-2-méthylaniline | Micropolluants organiques | µg/L | 0,05 | µg/L | 7667 | Aminopyrine | 0,02 |
| 2820 | 3-Chloro-4-méthylaniline | Micropolluants organiques | µg/L | 0,05 | µg/L | 1105 | Aminotiazole | 0,05 |
| 2823 | 4-Chloro-N-méthylaniline | Micropolluants organiques | µg/L | 0,1 | µg/L | 7516 | Amiprofos-méthyl | 0,02 |
| 6536 | 4-Méthylbenzylidene camphor | Micropolluants organiques | µg/L | 0,02 | µg/L | 1308 | Amitraze | 0,005 |
| 5474 | 4-n-nonylphénol | Micropolluants organiques | µg/L | 0,1 | µg/L | 6967 | Amitriptyline | 0,01 |
| 1958 | 4-nonylphénols ramifiés | Micropolluants organiques | µg/L | 0,1 | µg/L | 6781 | Amiodipine | 0,05 |
| 2610 | 4-tert-butylphénol | Micropolluants organiques | µg/L | 0,02 | µg/L | 1907 | AMPA | 0,02 |
| 1959 | 4-tert-octylphénol | Micropolluants organiques | µg/L | 0,03 | µg/L | 5385 | Androstenedione | 0,005 |
| 2863 | 5,6,7,8-Tétrahydro-2-naphthol | Micropolluants organiques | µg/L | 0,1 | µg/L | 6594 | Anilofos | 0,02 |
| 2822 | 5-Chloroanisotoléfine | Micropolluants organiques | µg/L | 0,02 | µg/L | 1458 | Anthracène | 0,01 |
| 2817 | 6-Chloro-3-méthylaniline | Micropolluants organiques | µg/L | 0,02 | µg/L | 2013 | Anthraquinone | HAP |

| Code SANDRE | Paramètre | Type | Unité | Limite de Quantification | Type | Unité | Limite de Quantification | Type | Unité |
|-------------|-------------------------------------|---------------------------|-------|--------------------------|-----------------------|-------|--------------------------|---------------------------|-------|
| Code SANDRE | Paramètre | | | | | | | | |
| 1965 | Asulame | Pesticides | µg/L | 0,02 | Biphenyle | µg/L | 0,005 | Micropolluants organiques | µg/L |
| 5361 | Atenolol | Micropolluants organiques | µg/L | 0,01 | Bisoprolol | µg/L | 0,05 | Micropolluants organiques | µg/L |
| 1107 | Atrazine | Pesticides | µg/L | 0,02 | Bisphénol-A | µg/L | 0,05 | Pesticides | µg/L |
| 1832 | Atrazine 2 hydroxy | Pesticides | µg/L | 0,02 | Biteranol | µg/L | 0,005 | Micropolluants organiques | µg/L |
| 1109 | Atrazine désoxypropyl | Pesticides | µg/L | 0,02 | Bixafen | µg/L | 0,02 | Pesticides | µg/L |
| 1108 | Atrazine déséthyl | Pesticides | µg/L | 0,02 | Boscalid | µg/L | 0,02 | Micropolluants organiques | µg/L |
| 1830 | Atrazine déséthyl déisopropyl | Pesticides | µg/L | 0,05 | Bromacil | µg/L | 0,005 | Pesticides | µg/L |
| 2014 | Azaconazole | Pesticides | µg/L | 0,005 | Bromadolone | µg/L | 0,005 | Pesticides | µg/L |
| 2015 | Azaméthiphos | Pesticides | µg/L | 0,02 | Bromazepam | µg/L | 0,02 | Micropolluants organiques | µg/L |
| 2937 | Azimsulfuron | Pesticides | µg/L | 0,02 | Bromoformé | µg/L | 0,5 | Micropolluants organiques | µg/L |
| 1110 | Azinphos éthylique | Micropolluants organiques | µg/L | 0,005 | Bromophos éthyl | µg/L | 0,005 | Pesticides | µg/L |
| 1111 | Azinphos méthyl | Pesticides | µg/L | 0,005 | Bromophos méthyl | µg/L | 0,005 | Pesticides | µg/L |
| 1951 | Azoxystrobine | Pesticides | µg/L | 0,02 | Bromure de méthyle | µg/L | 0,005 | Pesticides | µg/L |
| 2915 | BDE100 | Pesticides | µg/L | 0,0002 | Bromoxynil | µg/L | 0,02 | Pesticides | µg/L |
| 2913 | BDE138 | Pesticides | µg/L | 0,0003 | Bromoxynil octanoate | µg/L | 0,01 | Pesticides | µg/L |
| 2912 | BDE153 | Pesticides | µg/L | 0,0002 | Bromoconazole | µg/L | 0,02 | Pesticides | µg/L |
| 2911 | BDE154 | Pesticides | µg/L | 0,0002 | Bromure de méthyle | µg/L | 0,5 | Pesticides | µg/L |
| 2921 | BDE17 | Pesticides | µg/L | 0,0002 | Buénacarbe | µg/L | 0,02 | Micropolluants organiques | µg/L |
| 6231 | BDE 181 | Pesticides | µg/L | 0,0005 | Buphomedil | µg/L | 0,05 | Micropolluants organiques | µg/L |
| 2910 | BDE183 | Pesticides | µg/L | 0,0005 | Bupimimate | µg/L | 0,01 | Pesticides | µg/L |
| 2909 | BDE190 | Pesticides | µg/L | 0,0005 | Bupivacaïne | µg/L | 0,005 | Micropolluants organiques | µg/L |
| 5986 | BDE 203 | Pesticides | µg/L | 0,002 | Buprofazine | µg/L | 0,005 | Pesticides | µg/L |
| 5997 | BDE 205 | Pesticides | µg/L | 0,002 | Butamifos | µg/L | 0,02 | Micropolluants organiques | µg/L |
| 1815 | BDE209 | Pesticides | µg/L | 0,005 | Buratrine | µg/L | 0,005 | Pesticides | µg/L |
| 2920 | BDE247 | Pesticides | µg/L | 0,0002 | Buturon | µg/L | 0,02 | Micropolluants organiques | µg/L |
| 2919 | BDE47 | Pesticides | µg/L | 0,0002 | Butylate | µg/L | 0,02 | Micropolluants organiques | µg/L |
| 2918 | BDE66 | Pesticides | µg/L | 0,0002 | Butylbenzène n | µg/L | 0,5 | Micropolluants organiques | µg/L |
| 2917 | BDE71 | Pesticides | µg/L | 0,0002 | Butylbenzène sec | µg/L | 0,5 | Micropolluants organiques | µg/L |
| 7437 | BDE77 | Pesticides | µg/L | 0,0002 | Butylbenzène tert | µg/L | 0,5 | Micropolluants organiques | µg/L |
| 2914 | BDE85 | Pesticides | µg/L | 0,0002 | Cadusafos | µg/L | 0,02 | Micropolluants organiques | µg/L |
| 2916 | BDE99 | Pesticides | µg/L | 0,0002 | Caféine | µg/L | 0,02 | Micropolluants organiques | µg/L |
| 1687 | Bénalaxyl | Pesticides | µg/L | 0,005 | Capitol | µg/L | 0,01 | Pesticides | µg/L |
| 7423 | BENALAXYL-M | Pesticides | µg/L | 0,03 | Captane | µg/L | 0,01 | Micropolluants organiques | µg/L |
| 1329 | Bendiocarbe | Pesticides | µg/L | 0,02 | Carbamazepine | µg/L | 0,005 | Micropolluants organiques | µg/L |
| 1112 | Benfurraline | Pesticides | µg/L | 0,005 | Carbamazepine époxide | µg/L | 0,005 | Micropolluants organiques | µg/L |
| 2924 | Benfuracarbe | Pesticides | µg/L | 0,05 | Carbaryl | µg/L | 0,02 | Pesticides | µg/L |
| 2074 | Bennoxacor | Pesticides | µg/L | 0,005 | Carbendazime | µg/L | 0,02 | Pesticides | µg/L |
| 5512 | Bensulfuron-méthyl | Pesticides | µg/L | 0,02 | Carbétamide | µg/L | 0,02 | Micropolluants organiques | µg/L |
| 6595 | Bensulide | Pesticides | µg/L | 0,02 | Carbofuran | µg/L | 0,02 | Pesticides | µg/L |
| 1113 | Bentazone | Pesticides | µg/L | 0,02 | Carbofuran 3 hydroxy | µg/L | 0,02 | Pesticides | µg/L |
| 7460 | Benthiaxilcarbe-isopropyl | Pesticides | µg/L | 0,02 | Carbophenothion | µg/L | 0,02 | Pesticides | µg/L |
| 1764 | Benthiocarbe | Pesticides | µg/L | 0,05 | Carbosulfan | µg/L | 0,1 | Pesticides | µg/L |
| 1114 | Benzène | Pesticides | µg/L | 0,5 | Carboxine | µg/L | 0,02 | Micropolluants organiques | µg/L |
| 2816 | Benzene, 1-chloro-2-methyl-3-nitro- | Pesticides | µg/L | 0,15 | Carfenazone-éthyl | µg/L | 0,005 | Micropolluants organiques | µg/L |
| 1607 | Benzididine | Pesticides | µg/L | 0,25 | Chlométhionate | µg/L | 0,005 | Pesticides | µg/L |
| 1082 | Benzo (a) Anthracène | Pesticides | µg/L | 0,01 | Chloramphénicol | µg/L | 0,1 | Micropolluants organiques | µg/L |
| 1115 | Benzo (a) Pyrène | Pesticides | µg/L | 0,01 | Chlorantraniliprole | µg/L | 0,02 | Pesticides | µg/L |
| 1116 | Benzo (b) Fluoranthène | Pesticides | µg/L | 0,0005 | Chlorbufame | µg/L | 0,05 | Pesticides | µg/L |
| 1118 | Benzo (ghi) Pérylène | Pesticides | µg/L | 0,0005 | Chlordane alpha | µg/L | 0,005 | Pesticides | µg/L |
| 1117 | Benzo (k) Fluoranthène | Pesticides | µg/L | 0,0005 | Chlordane beta | µg/L | 0,005 | Pesticides | µg/L |
| 3209 | Béta cyfluthrine | Pesticides | µg/L | 0,01 | Chlordane gamma | µg/L | 0,005 | Micropolluants organiques | µg/L |
| 6652 | beta-Hexabromocyclododecane | Pesticides | µg/L | 0,5 | Chlordecone | µg/L | 0,01 | Pesticides | µg/L |
| 6457 | Betaxolol | Pesticides | µg/L | 0,005 | Chlorefenazon | µg/L | 0,005 | Micropolluants organiques | µg/L |
| 5366 | Bezaflibrate | Pesticides | µg/L | 0,2 | Chlorfenivinphos | µg/L | 0,02 | Pesticides | µg/L |
| 1119 | Bifénox | Pesticides | µg/L | 0,005 | Chlorfluazuron | µg/L | 0,01 | Pesticides | µg/L |
| 1120 | Bifenthrine | Pesticides | µg/L | 0,005 | Chlordanone | µg/L | 0,005 | Pesticides | µg/L |
| 1502 | Bioresméthine | Pesticides | µg/L | 0,005 | Chlormuron-éthyl | µg/L | 0,02 | Micropolluants organiques | µg/L |

| Code SANDRE | Paramètre | Type | Unité | Limite de Quantification | Type | Unité | Limite de Quantification | Type |
|-------------|--|---------------------------|-------|--------------------------|------------------------------|---------|--------------------------|---------------------------|
| 5405 | Chlormadinone | Micropolluants organiques | µg/L | 0,01 | Pesticides | µg/L | 0,02 | Pesticides |
| 1134 | Chlorméphos | Pesticides | µg/L | 0,005 | Micropolluants organiques | µg/L | 0,02 | Micropolluants organiques |
| 5554 | Chlormequat | Micropolluants organiques | µg/L | 0,05 | Pesticides | µg/L | 0,005 | Pesticides |
| 1606 | Chloro-2-p-toluidine | - | µg/L | 0,02 | Clofentézine | µg/L | 0,02 | Pesticides |
| 1955 | Chloroalcanes C10-C13 | Micropolluants organiques | µg/L | 0,15 | Clomazone | µg/L | 0,005 | Pesticides |
| 1593 | Chloroaniline-2 | Micropolluants organiques | µg/L | 0,05 | Clopyralide | µg/L | 0,02 | Pesticides |
| 1592 | Chloroaniline-3 | Micropolluants organiques | µg/L | 0,05 | Cloquintocet mésyl | µg/L | 0,02 | Pesticides |
| 1591 | Chloroaniline-4 | Micropolluants organiques | µg/L | 0,05 | Cotinine | µg/L | 0,02 | Pesticides |
| 1467 | Chlorobenzène | Micropolluants organiques | µg/L | 0,5 | Coumafène | µg/L | 0,05 | Pesticides |
| 2016 | Chlorobiumuron | Pesticides | µg/L | 0,02 | Coumaraphos | µg/L | 0,05 | Pesticides |
| 1612 | Chlorodinitrobenzène-1,2,4 | Micropolluants organiques | µg/L | 0,1 | Coumaratéraly | µg/CN/L | 0,02 | Micropolluants organiques |
| 1135 | Chlorofluorométhane (Trichlorométhane) | Micropolluants organiques | µg/L | 0,5 | Crésol-néta | µg/L | 0,05 | Pesticides |
| 2821 | Chlorométhylaniline-4,2 | Micropolluants organiques | µg/L | 0,5 | Crésol-ortho | µg/L | 0,05 | Micropolluants organiques |
| 1635 | Chlorométhylphénol-2,5 | Micropolluants organiques | µg/L | 0,02 | Crotoxyphos | µg/L | 0,02 | Micropolluants organiques |
| 2759 | Chlorométhylphénol-2,6 | Micropolluants organiques | µg/L | 0,02 | Crofomate | µg/L | 0,02 | Micropolluants organiques |
| 1634 | Chlorométhylphénol-4,2 | Micropolluants organiques | µg/L | 0,05 | Cyanazine | µg/L | 0,02 | Pesticides |
| 1636 | Chlorométhylphénol-4,3 | Micropolluants organiques | µg/L | 0,05 | Cyanofenphos | µg/L | 0,02 | Micropolluants organiques |
| 1603 | Chloronaphtaléne-1 | HAP | µg/L | 0,02 | Cyanures libres | µg/L | 5 | Pesticides |
| 1604 | Chloronaphtaléne-2 | HAP | µg/L | 0,02 | Cyclate | µg/L | 0,02 | Micropolluants organiques |
| 1341 | Chloronène | Pesticides | µg/L | 0,005 | Cyclophosphamide | µg/L | 0,02 | Micropolluants organiques |
| 1594 | Chloronitroaniline-4,2 | Micropolluants organiques | µg/L | 0,1 | CYCLOXYDIME | µg/L | 0,02 | Pesticides |
| 1469 | Chloronitrobenzène-1,2 | Micropolluants organiques | µg/L | 0,02 | Cycluron | µg/L | 0,02 | Pesticides |
| 1468 | Chloronitrobenzène-1,3 | Micropolluants organiques | µg/L | 0,02 | Cyhalofop-butyl | µg/L | 0,02 | Micropolluants organiques |
| 1470 | Chloronitrobenzène-1,4 | Micropolluants organiques | µg/L | 0,05 | Cynalothrine | µg/L | 0,005 | Pesticides |
| 2814 | Chloronitrotoluène-2,3 | Micropolluants organiques | µg/L | 0,1 | Cymoxanil | µg/L | 0,02 | Pesticides |
| 1605 | Chloronitrotoluène-4,2 | Micropolluants organiques | µg/L | 0,1 | Cyperméthrine | µg/L | 0,005 | Pesticides |
| 1684 | Chlorophacnone | Micropolluants organiques | µg/L | 0,1 | Cyproconazole | µg/L | 0,02 | Pesticides |
| 1471 | Chlorophénol-2 | Micropolluants organiques | µg/L | 0,05 | Cyprodinil | µg/L | 0,005 | Micropolluants organiques |
| 1651 | Chlorophénol-3 | Micropolluants organiques | µg/L | 0,05 | Cyromazine | µg/L | 0,02 | Pesticides |
| 1650 | Chlorophénol-4 | Micropolluants organiques | µg/L | 0,05 | Cythioate | µg/L | 0,02 | Micropolluants organiques |
| 2611 | Chloroprène | Micropolluants organiques | µg/L | 0,5 | Daimuron | µg/L | 0,02 | Pesticides |
| 2065 | Chloropropène-3 | Micropolluants organiques | µg/L | 0,5 | Dalapon | µg/L | 0,02 | Micropolluants organiques |
| 1473 | Chlorothalonil | Micropolluants organiques | µg/L | 0,01 | Danfloxacine | µg/L | 0,1 | Pesticides |
| 1602 | Chlorotoluène-2 | Micropolluants organiques | µg/L | 0,5 | DCPMU (métabolite du Diuron) | µg/L | 0,02 | Micropolluants organiques |
| 1601 | Chlorotoluène-3 | Micropolluants organiques | µg/L | 0,5 | DCPU (métabolite Diuron) | µg/L | 0,05 | Pesticides |
| 1600 | Chlorotoluène-4 | Micropolluants organiques | µg/L | 0,5 | DDD-o,p' | µg/L | 0,001 | Pesticides |
| 1683 | Chloroxuron | Micropolluants organiques | µg/L | 0,02 | DDD-p,p' | µg/L | 0,001 | Pesticides |
| 1474 | Chloroprophame | Pesticides | µg/L | 0,005 | DDE-o,p' | µg/L | 0,001 | Pesticides |
| 1083 | Chloropyriphos éthyl | Pesticides | µg/L | 0,005 | DDE-p,p' | µg/L | 0,001 | Pesticides |
| 1540 | Chloropyriphos méthyl | Pesticides | µg/L | 0,005 | DDT-q,p' | µg/L | 0,001 | Pesticides |
| 1353 | Chlorsulfuron | Pesticides | µg/L | 0,02 | DDT-t,p' | µg/L | 0,001 | Pesticides |
| 6743 | Chlortetracycline | Micropolluants organiques | µg/L | 0,02 | DEHP | µg/L | 0,04 | Micropolluants organiques |
| 2966 | Chlorthal diméthy | Pesticides | µg/L | 0,005 | Deltaméthrine | µg/L | 0,005 | Pesticides |
| 1813 | Chlorthiamide | Pesticides | µg/L | 0,01 | Déméton-O | µg/L | 0,01 | Pesticides |
| 5723 | Chlothiophos | Micropolluants organiques | µg/L | 0,02 | Déméton O + S | µg/L | 0,01 | Pesticides |
| 1136 | Chlortoluron | Pesticides | µg/L | 0,02 | Déméton-S | µg/L | 0,01 | Pesticides |
| 1579 | Chlore de Benzyle | Micropolluants organiques | µg/L | 0,1 | Déméton S méthyl sulfone | µg/L | 0,005 | Micropolluants organiques |
| 2715 | Chlore de Benzylidène | Micropolluants organiques | µg/L | 0,1 | Désmétryne | µg/L | 0,02 | Pesticides |
| 2977 | CHLORURE DE CHOLINE | - | µg/L | 0,1 | Déséthyl-terbutaméthon | µg/L | 0,01 | Micropolluants organiques |
| 1753 | Chlorothiophos | Micropolluants organiques | µg/L | 0,1 | Desmediphamine | µg/L | 0,02 | Pesticides |
| 1476 | Chrysène | Pesticides | µg/L | 0,01 | Desmétilylproturon | µg/L | 0,02 | Micropolluants organiques |
| 5481 | Cinosulfuron | Pesticides | µg/L | 0,02 | Déméton S méthyl sulfone | µg/L | 0,01 | Pesticides |
| 6540 | Ciprofloxacine | Micropolluants organiques | µg/L | 0,02 | Dexaméthasone | µg/L | 0,01 | Micropolluants organiques |
| 6537 | Clarithromycine | Micropolluants organiques | µg/L | 0,02 | Dialate | µg/L | 0,02 | Pesticides |
| 6968 | Clenbutero | Micropolluants organiques | µg/L | 0,005 | Diazepam | µg/L | 0,005 | Micropolluants organiques |
| 2978 | Clethodim | Micropolluants organiques | µg/L | 0,02 | Diazinon | µg/L | 0,005 | Pesticides |
| 6792 | Clindamycine | Micropolluants organiques | µg/L | 0,005 | Dibenzo (ah) Anthracène | µg/L | 0,01 | HAP |

| Code SANDRE | Paramètre | Type | Unité | Limite de Quantification | Unité | Limite de Quantification | Type | Unité |
|-------------|-----------------------------|---------------------------|-------|--------------------------|-------|--------------------------|----------------------|------------|
| 1158 | Dibromochlorméthane | Micropolluants organiques | µg/L | 0,5 | µg/L | 2983 | Diféthalone | 0,02 µg/L |
| 1498 | Dibromométhane-1,2 | Pesticides | µg/L | 0,5 | µg/L | 1488 | Diflubenzuron | 0,05 µg/L |
| 1513 | Dibromométhane | Micropolluants organiques | µg/L | 0,5 | µg/L | 1814 | Diflufenicanil | 0,005 µg/L |
| 7074 | Di butyletai n cation | Pesticides | µg/L | 0,0025 | µg/L | 6647 | Dihydrocodeine | 0,005 µg/L |
| 1480 | Dicamba | Pesticides | µg/L | 0,03 | µg/L | 5325 | Disobutyl phthalate | 0,4 µg/L |
| 1679 | Dichlobénil | Pesticides | µg/L | 0,005 | µg/L | 6729 | Diltiazem | 0,005 µg/L |
| 1159 | Dichlofenthion | Pesticides | µg/L | 0,02 | µg/L | 1870 | Dinéfuron | 0,02 µg/L |
| 1360 | Dichlofluanide | Pesticides | µg/L | 0,005 | µg/L | 7142 | Dimepiperate | 0,02 µg/L |
| 1160 | Dichloréthane-1,1 | Micropolluants organiques | µg/L | 0,5 | µg/L | 2546 | Dimétabchloré | 0,005 µg/L |
| 1161 | Dichloréthane-1,2 | Micropolluants organiques | µg/L | 0,5 | µg/L | 5737 | Diméthametryn | 0,02 µg/L |
| 1162 | Dichloréthylène-1,1 | Micropolluants organiques | µg/L | 0,5 | µg/L | 1678 | Diméthénamide | 0,005 µg/L |
| 1456 | Dichloréthylène-1,2 cis | Micropolluants organiques | µg/L | 0,5 | µg/L | 5617 | Diméthénamid-P | 0,03 µg/L |
| 1727 | Dichloréthylène-1,2 trans | Micropolluants organiques | µg/L | 0,5 | µg/L | 1175 | Diméthoate | 0,01 µg/L |
| 2929 | Dichlormide | Micropolluants organiques | µg/L | 0,05 | µg/L | 1403 | Diméthomorphe | 0,02 µg/L |
| 1590 | Dichloroaniline-2,3 | Pesticides | µg/L | 0,02 | µg/L | 2773 | Diméthylamine | 0,02 µg/L |
| 1589 | Dichloroaniline-2,4 | Pesticides | µg/L | 0,05 | µg/L | 6292 | Diméthylaniline | 0,025 µg/L |
| 1588 | Dichloroaniline-2,5 | Pesticides | µg/L | 0,02 | µg/L | 1641 | Diméthylphénol-2,4 | 0,02 µg/L |
| 1587 | Dichloroaniline-2,6 | Pesticides | µg/L | 0,02 | µg/L | 6972 | Diméthylphosphos | - |
| 1586 | Dichloroaniline-3,4 | Pesticides | µg/L | 0,015 | µg/L | 1698 | Diméthylaniline | 0,02 µg/L |
| 1585 | Dichloroaniline-3,5 | Pesticides | µg/L | 0,02 | µg/L | 5748 | dimoxystrobine | 0,02 µg/L |
| 1165 | Dichlorobenzène-1,2 | Micropolluants organiques | µg/L | 0,05 | µg/L | 1871 | Diniconazole | 0,02 µg/L |
| 1164 | Dichlorobenzène-1,3 | Micropolluants organiques | µg/L | 0,5 | µg/L | 1578 | Dinitrotoluène-2,4 | 0,5 µg/L |
| 1166 | Dichlorobenzène-1,4 | Micropolluants organiques | µg/L | 0,05 | µg/L | 1577 | Dinitrotoluène-2,6 | 0,5 µg/L |
| 1484 | Dichlorobenzidine-3,3' | Micropolluants organiques | µg/L | 0,5 | µg/L | 5619 | Dinocap | 0,05 µg/L |
| 1167 | Dichlorobromométhane | Micropolluants organiques | µg/L | 0,5 | µg/L | 1491 | Dinosèbe | 0,02 µg/L |
| 1168 | Dichlorométhane | Micropolluants organiques | µg/L | 5 | µg/L | 1176 | Dinoterbe | 0,03 µg/L |
| 1617 | Dichloronitrobenzène-2,3 | Micropolluants organiques | µg/L | 0,05 | µg/L | 7494 | Diocetylétain cation | 0,025 µg/L |
| 1616 | Dichloronitrobenzène-2,4 | Micropolluants organiques | µg/L | 0,05 | µg/L | 5743 | Dioxacarb | 0,02 µg/L |
| 1615 | Dichloronitrobenzène-2,5 | Micropolluants organiques | µg/L | 0,05 | µg/L | 5478 | Diphenylamine | 0,05 µg/L |
| 1614 | Dichloronitrobenzène-3,4 | Micropolluants organiques | µg/L | 0,05 | µg/L | 7495 | Diphenylétain cation | 0,01 µg/L |
| 1613 | Dichloronitrobenzène-3,5 | Micropolluants organiques | µg/L | 0,05 | µg/L | 1698 | Diquat | 0,05 µg/L |
| 2981 | Dichlorophène | Pesticides | µg/L | 0,02 | µg/L | 1492 | Disulfoton | 0,005 µg/L |
| 1645 | Dichlorophénol-2,3 | Micropolluants organiques | µg/L | 0,05 | µg/L | 5745 | Ditalimfos | 0,05 µg/L |
| 1486 | Dichlorophénol-2,4 | Micropolluants organiques | µg/L | 0,02 | µg/L | 1177 | Diuron | 0,02 µg/L |
| 1649 | Dichlorophénol-2,5 | Micropolluants organiques | µg/L | 0,02 | µg/L | 1490 | DNOC | 0,02 µg/L |
| 1648 | Dichlorophénol-2,6 | Micropolluants organiques | µg/L | 0,05 | µg/L | 3383 | Dodécyl phénol | 1 µg/L |
| 1647 | Dichlorophénol-3,4 | Micropolluants organiques | µg/L | 0,05 | µg/L | 2933 | Dodine | 0,02 µg/L |
| 1646 | Dichlorophénol-3,5 | Micropolluants organiques | µg/L | 0,05 | µg/L | 6969 | Doxepine | 5 µg/L |
| 2081 | Dichloropropane-2,2 | Pesticides | µg/L | 0,03 | µg/L | 6791 | Doxycycline | 0,001 µg/L |
| 1834 | Dichloropropylène-1,3 Cis | Pesticides | µg/L | 0,1 | µg/L | 7515 | DPU (Diphenylurée) | 0,005 µg/L |
| 1835 | Dichloropropylène-1,3 Trans | Pesticides | µg/L | 0,1 | µg/L | 5751 | Edifenphos | 0,001 µg/L |
| 1169 | Dichloropropylène-1,3 Trans | Pesticides | µg/L | 0,03 | µg/L | 1493 | EDTA | 0,001 µg/L |
| 2544 | Dichloroprop-P | Pesticides | µg/L | 0,03 | µg/L | 1178 | Endosulfan alpha | 0,001 µg/L |
| 1170 | Dichlorvos | Pesticides | µg/L | 0,01 | µg/L | 1179 | Endosulfan beta | 0,001 µg/L |
| 5349 | Diclofenac | Pesticides | µg/L | 0,01 | µg/L | 1742 | Endosulfan sulfate | 0,001 µg/L |
| 1171 | Diclofop méthyl | Pesticides | µg/L | 0,05 | µg/L | 1181 | Endrine | 0,001 µg/L |
| 1172 | Dicofol | Pesticides | µg/L | 0,005 | µg/L | 2941 | Endrine aldehyde | 0,005 µg/L |
| 5525 | Dicrotophos | Pesticides | µg/L | 0,005 | µg/L | 6784 | Enrofloxacine | 0,02 µg/L |
| 2847 | Didémethylisoproturon | Pesticides | µg/L | 0,05 | µg/L | 1494 | Epichlorohydrine | 0,1 µg/L |
| 1173 | Didendrine | Pesticides | µg/L | 0,001 | µg/L | 1873 | EPN | 0,02 µg/L |
| 7507 | Dienestrol | Pesticides | µg/L | 0,01 | µg/L | 1744 | Epoxiconazole | 0,02 µg/L |
| 1402 | Déthofencarbe | Pesticides | µg/L | 0,02 | µg/L | 1182 | EPTC | 0,05 µg/L |
| 2826 | Déthylamine | - | µg/L | 10 | µg/L | 7504 | Equilin | 0,01 µg/L |
| 2628 | Diethylstilbestrol | Pesticides | µg/L | 0,01 | µg/L | 6522 | Erythromycine | 0,005 µg/L |
| 2982 | Difenacoum | Pesticides | µg/L | 0,02 | µg/L | 1809 | Etenvalérate | 0,005 µg/L |
| 1905 | Difenoconazole | Pesticides | µg/L | 0,02 | µg/L | 5397 | Estradiol | 0,01 µg/L |
| 5524 | Difenoxuron | Pesticides | µg/L | 0,02 | µg/L | 6446 | Estriol | 0,005 µg/L |

| Code SANDRE | Paramètre | Type | Unité | Limite de Quantification | Code SANDRE | Paramètre | Type | Unité | Limite de Quantification |
|-------------|--------------------------|---------------------------|-------|--------------------------|-------------|------------------------------|---------------------------|-------|--------------------------|
| 5396 | Estrone | Micropolluants organiques | µg/L | 0,01 | 1191 | Fluoranthène | HAP | µg/L | 0,005 |
| 5529 | Ethametsulfuron-methyl | Micropolluants organiques | µg/L | 0,02 | 1623 | Fluorène | HAP | µg/L | 0,005 |
| 2093 | Ethephon | Pesticides | µg/L | 0,02 | 5638 | Fluoxastrobine | Micropolluants organiques | µg/L | 0,02 |
| 1763 | Ethidimuron | Pesticides | µg/L | 0,02 | 5373 | Fluoxétine | Pesticides | µg/L | 0,005 |
| 5528 | Ethiofencarbe sulfone | Pesticides | µg/L | 0,02 | 2565 | Fluypyrsulfuron méthyle | Pesticides | µg/L | 0,02 |
| 6534 | Ethofencarbe sulfonyde | Pesticides | µg/L | 0,02 | 2056 | Fluquinconazole | Pesticides | µg/L | 0,02 |
| 1183 | Ethion | Pesticides | µg/L | 0,02 | 1974 | Fluridone | Pesticides | µg/L | 0,02 |
| 1874 | Ethiophencarbe | Pesticides | µg/L | 0,02 | 1675 | Flurochloridone | Pesticides | µg/L | 0,005 |
| 1184 | Etholumesate | Pesticides | µg/L | 0,005 | 1765 | Fluroxypyr | Pesticides | µg/L | 0,02 |
| 1495 | Ethoprophos | Pesticides | µg/L | 0,02 | 2547 | Fluroxypyr-méthyl | Pesticides | µg/L | 0,02 |
| 5527 | Ethoxysulfuron | Micropolluants organiques | µg/L | 0,02 | 2024 | Flurprimidol | Pesticides | µg/L | 0,005 |
| 1497 | Ethylbenzène | Micropolluants organiques | µg/L | 0,5 | 2008 | Flurtamone | Pesticides | µg/L | 0,02 |
| 5648 | Ethylène Thiodiglycérine | Micropolluants organiques | µg/L | 0,1 | 1194 | Flusilazole | Pesticides | µg/L | 0,02 |
| 6601 | Ethylenuree | Pesticides | µg/L | 0,1 | 2985 | Flutoianil | Micropolluants organiques | µg/L | 0,02 |
| 6644 | Ethylparaben | Micropolluants organiques | µg/L | 0,03 | 1503 | Flutriatol | Pesticides | µg/L | 0,02 |
| 2673 | Ethyl tert-butyl ether | Micropolluants organiques | µg/L | 0,5 | 1192 | Folpel | Pesticides | µg/L | 0,01 |
| 2629 | Ethynodiol estradiol | Micropolluants organiques | µg/L | 0,04 | 2075 | Fomesafen | Pesticides | µg/L | 0,05 |
| 5625 | Etoxazole | Micropolluants organiques | µg/L | 0,05 | 1674 | Fonotols | Pesticides | µg/L | 0,02 |
| 5760 | Ettimos | Micropolluants organiques | µg/L | 0,005 | 2806 | Foramsulfuron | Micropolluants organiques | µg/L | 0,02 |
| 2020 | Famoxadone | Micropolluants organiques | µg/L | 0,005 | 5969 | Forchlorfenuron | Micropolluants organiques | µg/L | 0,02 |
| 5761 | Famphur | Micropolluants organiques | µg/L | 0,02 | 1702 | Formaldéhyde | Pesticides | µg/L | 1 |
| 2057 | Fénamidone | Micropolluants organiques | µg/L | 0,02 | 1703 | Forméatanate | Micropolluants organiques | µg/L | 0,05 |
| 1185 | Fénarimol | Pesticides | µg/L | 0,005 | 1504 | Formothion | Pesticides | µg/L | 0,001 |
| 2742 | Fénazéquin | Pesticides | µg/L | 0,05 | 1975 | Foséthyl aluminium | Micropolluants organiques | µg/L | 0,02 |
| 1906 | Fenbuconazole | Pesticides | µg/L | 0,02 | 2744 | Fosthiazate | Pesticides | µg/L | 0,02 |
| 2078 | Fenbutatin oxyde | Pesticides | µg/L | 0,1 | 1908 | Furalaxylyl | Micropolluants organiques | µg/L | 0,005 |
| 7513 | Fenchlorazole-éthyl | Pesticides | µg/L | 0,1 | 2567 | Furathiocarbé | Pesticides | µg/L | 0,05 |
| 1186 | Fenchlorphos | Pesticides | µg/L | 0,005 | 7441 | Furlazole | Micropolluants organiques | µg/L | 0,05 |
| 2743 | Fenhexamid | Pesticides | µg/L | 0,005 | 5364 | Furosemide | Micropolluants organiques | µg/L | 0,02 |
| 1187 | Fénitrothion | Pesticides | µg/L | 0,02 | 6653 | gamma-Hexabromocyclododecane | Micropolluants organiques | µg/L | 0,02 |
| 5627 | Fenizon | Pesticides | µg/L | 0,1 | 5365 | Gemifrozil | Micropolluants organiques | µg/L | 0,05 |
| 5763 | Fenobucarb | Pesticides | µg/L | 0,02 | 1526 | Glufosinate | Pesticides | µg/L | 0,02 |
| 5368 | Fenofibrate | Pesticides | µg/L | 0,02 | 1506 | Glyphosate | Micropolluants organiques | µg/L | 0,02 |
| 6970 | Fenopropfen | Pesticides | µg/L | 0,05 | 5508 | Halosulfuron-méthyl | Pesticides | µg/L | 0,02 |
| 5970 | Fenothiocarbe | Pesticides | µg/L | 0,02 | 2047 | Haloxytop | Micropolluants organiques | µg/L | 0,05 |
| 1973 | Fénoxaproprop éthyl | Pesticides | µg/L | 0,02 | 1833 | Haloxypol-éthoxyéthyl | Micropolluants organiques | µg/L | 0,02 |
| 1967 | Fénoxicarbe | Pesticides | µg/L | 0,02 | 1201 | HCH alpha | Pesticides | µg/L | 0,005 |
| 1188 | Fenopropazine | Pesticides | µg/L | 0,05 | 1202 | HCH beta | Micropolluants organiques | µg/L | 0,005 |
| 1700 | Fenopropidone | Pesticides | µg/L | 0,01 | 2046 | HCH delta | Pesticides | µg/L | 0,005 |
| 1189 | Fenopropmorphé | Pesticides | µg/L | 0,005 | 1203 | HCH epsilon | Pesticides | µg/L | 0,005 |
| 1190 | Fenthion | Pesticides | µg/L | 0,02 | 1203 | HCH gamma | Pesticides | µg/L | 0,005 |
| 1500 | Fénuron | Pesticides | µg/L | 0,02 | 1197 | Heptachlore époxide cis | Micropolluants organiques | µg/L | 0,005 |
| 1701 | Fenvalérata | Pesticides | µg/L | 0,01 | 1748 | Heptachlore époxide de trans | Pesticides | µg/L | 0,005 |
| 2009 | Fipronil | Pesticides | µg/L | 0,005 | 1749 | Heptachlore époxide de trans | Pesticides | µg/L | 0,005 |
| 1840 | Flamprop-isopropyl | Pesticides | µg/L | 0,02 | 1910 | Heptenophos | Pesticides | µg/L | 0,02 |
| 6539 | Flamprop-méthyl | Pesticides | µg/L | 0,02 | 2600 | Hexabromodiphényléther | Micropolluants organiques | µg/L | 0,0007 |
| 1939 | Fiazasulfuron | Pesticides | µg/L | 0,02 | 1199 | Hexachlorobenzène | Pesticides | µg/L | 0,001 |
| 6393 | Flonicamid | Pesticides | µg/L | 0,005 | 1652 | Hexachlorobutadiène | Micropolluants organiques | µg/L | 0,02 |
| 2810 | Florasulam | Pesticides | µg/L | 0,02 | 1656 | Hexachloroéthane | Pesticides | µg/L | 0,5 |
| 6764 | Florfenicol | Pesticides | µg/L | 0,1 | 1405 | Hexaconazole | Pesticides | µg/L | 0,02 |
| 6545 | Fluazifop | Pesticides | µg/L | 0,02 | 1875 | Hexaflumuron | Pesticides | µg/L | 0,05 |
| 1825 | Fluazifop-butyl | Pesticides | µg/L | 0,05 | 1673 | Hexazine | Pesticides | µg/L | 0,02 |
| 2984 | Fluazinam | Pesticides | µg/L | 0,1 | 1876 | Hexythiazox | Pesticides | µg/L | 0,02 |
| 2022 | Fludioxonil | Pesticides | µg/L | 0,02 | 5350 | Ibuprofène | Pesticides | µg/L | 0,01 |
| 1676 | Fluénoxuron | Pesticides | µg/L | 0,02 | 6727 | Ioflamide | Pesticides | µg/L | 0,005 |
| 2023 | Flumioxazine | Pesticides | µg/L | 0,005 | 1704 | Imazalil | Pesticides | µg/L | 0,02 |
| 1501 | Fluometuron | Pesticides | µg/L | 0,02 | 1695 | Imazaméthabenz | Micropolluants organiques | µg/L | 0,02 |

| Code SANDRE | Paramètre | Type | Unité | Limite de Quantification | Type | Unité | Limite de Quantification | Type |
|-------------|---------------------------|---------------------------|-------|--------------------------|-------------------------------------|-------|--------------------------|---------------------------|
| Code SANDRE | Paramètre | | | | | | | |
| 1911 | Inazaméthabenzoï méthyl | Pesticides | µg/L | 0,01 | MCPA-butoxyethyl ester | 2747 | 0,005 | - |
| 2986 | Inazamox | Micropolluants organiques | µg/L | 0,02 | MCPA-éthyl-ester | 2748 | 0,01 | Pesticides |
| 2090 | Inazapyr | Micropolluants organiques | µg/L | 0,02 | MCPA-méthyle-ester | 2749 | 0,005 | Micropolluants organiques |
| 2860 | MAZAQUINE | Pesticides | µg/L | 0,02 | Mecarbam | 5789 | 0,05 | Pesticides |
| 7510 | Imbenconazole | Micropolluants organiques | µg/L | 0,1 | Mécoprop | 1214 | 0,02 | - |
| 1877 | Imidaclopride | Pesticides | µg/L | 0,02 | Mecoprop-1-octyl ester | 2750 | 0,005 | Pesticides |
| 6971 | Imiparmine | Micropolluants organiques | µg/L | 0,02 | Mecoprop-2,4-triméthylphényle ester | 2751 | 0,005 | - |
| 1204 | Indépé (123c) Pyrène | HAP | µg/L | 0,005 | Mecoprop-2-butylhexyl ester | 2752 | 0,005 | Pesticides |
| 6794 | Indometacine | Micropolluants organiques | µg/L | 0,02 | Mecoprop-2-éthylhexyl ester | 2753 | 0,005 | Micropolluants organiques |
| 5483 | Indoxacarbe | Micropolluants organiques | µg/L | 0,02 | Mecoprop-2-octyl ester | 2754 | 0,005 | Pesticides |
| 2741 | Iodocarbe | Micropolluants organiques | µg/L | 0,02 | Mecoprop-méthyl ester | 2755 | 0,005 | Micropolluants organiques |
| 2025 | Iodofeniphos | Pesticides | µg/L | 0,005 | Mecoprop n isobutyl ester | 2870 | 0,005 | Micropolluants organiques |
| 2563 | Iodosulfuron | Pesticides | µg/L | 0,02 | Méfénacet | 1988 | 0,005 | Pesticides |
| 1205 | Ioxynil | Pesticides | µg/L | 0,02 | Méfenpyr diethyl | 2930 | 0,005 | Micropolluants organiques |
| 2871 | Ioxynil methyl ester | - | µg/L | 0,005 | Mefluidide | 2588 | 0,02 | Pesticides |
| 1942 | Ioxynil octanoate | Pesticides | µg/L | 0,01 | Méfonoxam | 2987 | 0,02 | Micropolluants organiques |
| 7508 | Ipoconazole | Micropolluants organiques | µg/L | 0,02 | Mepanipyrim | 5533 | 0,005 | Micropolluants organiques |
| 5777 | Iprobenitos | Micropolluants organiques | µg/L | 0,02 | Mephosfolan | 5791 | 0,02 | Micropolluants organiques |
| 1206 | Iprodione | Pesticides | µg/L | 0,005 | Mépiquat | 1989 | 0,05 | Pesticides |
| 2951 | Irovalicarbe | Pesticides | µg/L | 0,02 | Mépiquat chlorure | 2089 | 0,066 | Micropolluants organiques |
| 6535 | Irbesartan | Micropolluants organiques | µg/L | 0,005 | Mepivacaïne | 6521 | 0,01 | Micropolluants organiques |
| 1935 | Irgarol | Micropolluants organiques | µg/L | 0,05 | Mépronil | 1878 | 0,005 | Pesticides |
| 1976 | Isazofos | Pesticides | µg/L | 0,02 | Mercaptodiméthur sulfoxyde | 1510 | 0,01 | Micropolluants organiques |
| 1836 | Isobutylbenzène | Micropolluants organiques | µg/L | 0,5 | Mercaptodiméthur sulfoxyde | 1804 | 0,02 | Pesticides |
| 1207 | Isodrine | Pesticides | µg/L | 0,001 | Mesosulfuron méthyle | 2578 | 0,02 | Micropolluants organiques |
| 1829 | Isophosphos | Pesticides | µg/L | 0,02 | Mésotrione | 2076 | 0,05 | Pesticides |
| 5781 | Isoprocarb | Micropolluants organiques | µg/L | 0,02 | Métataxyl | 1706 | 0,02 | Pesticides |
| 1633 | Isopropylbenzène | Micropolluants organiques | µg/L | 0,5 | Métaïdényde | 1796 | 0,02 | Micropolluants organiques |
| 2681 | Isopropyliotuène o | Micropolluants organiques | µg/L | 0,5 | Métamitronate | 1215 | 0,02 | Pesticides |
| 1856 | Isopropyliotuène p | Micropolluants organiques | µg/L | 0,5 | Métazacchlore | 1670 | 0,005 | Pesticides |
| 1208 | Isoproturon | Pesticides | µg/L | 0,02 | Metonazole | 1879 | 0,02 | Pesticides |
| 6643 | Isquinoline | Micropolluants organiques | µg/L | 0,01 | Méthabenzthiazuron | 1216 | 0,02 | Micropolluants organiques |
| 2722 | Isothiocyanate de méthyle | Pesticides | µg/L | 1 | Méthachrifos | 5792 | 0,02 | Pesticides |
| 1672 | Isocaben | Micropolluants organiques | µg/L | 0,02 | Méthamidophos | 1671 | 0,02 | Micropolluants organiques |
| 2807 | Isoxadifen-éthyle | Pesticides | µg/L | 0,005 | Méthidathion | 1217 | 0,02 | Pesticides |
| 1945 | Isoxaflutol | Micropolluants organiques | µg/L | 0,02 | Méthomyl | 1218 | 0,02 | Pesticides |
| 5784 | Isoxathion | Micropolluants organiques | µg/L | 0,02 | Méthotrexate | 6793 | 0,05 | Micropolluants organiques |
| 7505 | Karbutilate | Micropolluants organiques | µg/L | 0,02 | Méthoxychloré | 1511 | 0,005 | Pesticides |
| 5353 | Ketoprofene | Micropolluants organiques | µg/L | 0,01 | Méthyl-2-Fluoranthène | 1619 | 0,01 | HAP |
| 7669 | Ketorolac | Micropolluants organiques | µg/L | 0,05 | Méthyl-2-Naphthalène | 1618 | 0,005 | HAP |
| 1950 | Kresoxim méthyl | Pesticides | µg/L | 0,02 | Méthylparaben | 6695 | 0,03 | Micropolluants organiques |
| 1094 | Lambada Cyhalothrine | Micropolluants organiques | µg/L | 0,005 | Métriam | 2067 | 0,03 | Pesticides |
| 1406 | Lénacile | Pesticides | µg/L | 0,005 | Mélobromuron | 1515 | 0,02 | Micropolluants organiques |
| 6770 | Levonorgestrel | Micropolluants organiques | µg/L | 0,05 | Métiolachlore | 1221 | 0,005 | Pesticides |
| 7843 | Lincomycline | Micropolluants organiques | µg/L | 0,005 | Métiolachlor ESA | 6854 | 0,02 | Pesticides |
| 1209 | Linuron | Micropolluants organiques | µg/L | 0,02 | Métofenone | 5654 | 0,005 | Micropolluants organiques |
| 5374 | Lorazépam | Micropolluants organiques | µg/L | 0,02 | Métrizobium | 5796 | 0,02 | Pesticides |
| 2026 | Lufénuron | Pesticides | µg/L | 0,05 | Métoprolol | 5362 | 0,01 | Micropolluants organiques |
| 1210 | Malathion | Pesticides | µg/L | 0,02 | Mélosulame | 1912 | 0,02 | Pesticides |
| 5787 | Malathion-o-analog | Micropolluants organiques | µg/L | 0,02 | Métoxuron | 1222 | 0,02 | Pesticides |
| 7327 | Maléate de Timolol | Micropolluants organiques | µg/L | 0,005 | Molinate | 1225 | 0,005 | Micropolluants organiques |
| 1211 | Mancozebe | Pesticides | µg/L | 0,03 | Métrizobium | 1797 | 0,02 | Pesticides |
| 6399 | Mandipropramid | Pesticides | µg/L | 0,02 | Metsulfuron méthyl | 1797 | 0,02 | Pesticides |
| 1705 | Manèbe | Micropolluants organiques | µg/L | 0,03 | Mévinphos | 1226 | 0,02 | Micropolluants organiques |
| 6700 | Marbofloxacine | Micropolluants organiques | µg/L | 0,1 | Mexacarbate | 7143 | 0,02 | Pesticides |
| 2745 | MCPA-1-butyl ester | Pesticides | µg/L | 0,005 | Molinate | 1707 | 0,005 | Micropolluants organiques |
| 2746 | MCPA-2-éthylhexyl ester | Pesticides | µg/L | 0,005 | Monobuty/étain cation | 2542 | 0,0025 | Micropolluants organiques |

| Code SANDRE | Paramètre | Type | Unité | Limite de Quantification | Unité | Quantification | Type |
|-------------|----------------------------------|---------------------------|-------|--------------------------|-------|----------------|------------------------------------|
| 1880 | Monocrotophos | Pesticides | µg/L | 0.02 | µg/L | 1243 | PCB 118 |
| 1227 | Monolinuron | Pesticides | µg/L | 0.02 | µg/L | 5434 | PCB 123 |
| 7496 | Monophenylétain cation | Pesticides | µg/L | 0.001 | µg/L | 2943 | PCB 125 |
| 7497 | Monophenylétain cation | Pesticides | µg/L | 0.001 | µg/L | 1089 | PCB 126 |
| 1228 | Monuron | Pesticides | µg/L | 0.02 | µg/L | 1884 | PCB 128 |
| 6671 | Morphine | Micropolluants organiques | µg/L | 0.02 | µg/L | 1244 | PCB 138 |
| 7475 | Morpholine | Micropolluants organiques | µg/L | 2 | µg/L | 1885 | PCB 149 |
| 1512 | MTBE | Micropolluants organiques | µg/L | 0.5 | µg/L | 1245 | PCB 153 |
| 6342 | Musc xylène | - | µg/L | 0.1 | µg/L | 2032 | PCB 156 |
| 1881 | Myclobutanil | Pesticides | µg/L | 0.02 | µg/L | 5435 | PCB 157 |
| 6443 | Nadolol | Micropolluants organiques | µg/L | 0.005 | µg/L | 5436 | PCB 167 |
| 1516 | Naled | Pesticides | µg/L | 0.02 | µg/L | 1090 | PCB 169 |
| 1517 | Naphthalène | HAP | µg/L | 0.005 | µg/L | 1626 | PCB 170 |
| 1518 | Naphtho-1 | HAP | µg/L | 0.1 | µg/L | 1246 | PCB 180 |
| 1519 | Napropamide | Pesticides | µg/L | 0.005 | µg/L | 5437 | PCB 189 |
| 5351 | Naproxène | Micropolluants organiques | µg/L | 0.05 | µg/L | 1625 | PCB 194 |
| 1937 | Naptalamé | Pesticides | µg/L | 0.05 | µg/L | 1624 | PCB 209 |
| 1520 | Néburon | Pesticides | µg/L | 0.02 | µg/L | 1239 | PCB 28 |
| 1882 | Nicosulfuron | Pesticides | µg/L | 0.02 | µg/L | 1886 | PCB 31 |
| 5657 | Nicotine | Micropolluants organiques | µg/L | 0.02 | µg/L | 1240 | PCB 35 |
| 2614 | Nitrobenzène | Micropolluants organiques | µg/L | 0.1 | µg/L | 2031 | PCB 37 |
| 1229 | Nitrofénè | Micropolluants organiques | µg/L | 0.05 | µg/L | 1628 | PCB 44 |
| 1637 | Nitrophénol-2 | Micropolluants organiques | µg/L | 0.05 | µg/L | 1241 | PCB 52 |
| 6598 | Nonyphénols linéaire ou ramifiés | Micropolluants organiques | µg/L | 0.1 | µg/L | 2048 | PCB 54 |
| 5400 | Norethindrone | Micropolluants organiques | µg/L | 0.05 | µg/L | 5803 | PCB 66 |
| 6761 | Norfloxacine | Micropolluants organiques | µg/L | 0.1 | µg/L | 1091 | PCB 77 |
| 6772 | Norfuroxetine | Micropolluants organiques | µg/L | 0.005 | µg/L | 5432 | PCB 81 |
| 1669 | Nonfurazone | Pesticides | µg/L | 0.005 | µg/L | 1762 | Penconazole |
| 2737 | Nonfurazone desmethyl | Pesticides | µg/L | 0.005 | µg/L | 1887 | Pencycuron |
| 1883 | Nularimol | Pesticides | µg/L | 0.005 | µg/L | 1234 | Pendiméthahaline |
| 2659 | Octabromodiphényletter | Micropolluants organiques | µg/L | 0.002 | µg/L | 6394 | Penoxulam |
| 2904 | Octylphénols | Micropolluants organiques | µg/L | 0.03 | µg/L | 1888 | Pentachlorobenzène |
| 6767 | O-Demethyltriamadol | Micropolluants organiques | µg/L | 0.005 | µg/L | 1235 | Pentachlorophénol |
| 6533 | Ofloxacine | Micropolluants organiques | µg/L | 0.02 | µg/L | 7509 | Penthiopyrad |
| 2027 | Oflurace | Pesticides | µg/L | 0.005 | µg/L | 7670 | Pentoxyfylline |
| 1230 | Ométhoate | Pesticides | µg/L | 0.002 | µg/L | 6219 | Perchlorate |
| 1668 | Oryzalin | Pesticides | µg/L | 0.1 | µg/L | 6548 | Perfluorooctanesulfonamide (PFOSA) |
| 2068 | Oxadiazyl | Pesticides | µg/L | 0.005 | µg/L | 1523 | Perméthine |
| 1667 | Oxadiazon | Pesticides | µg/L | 0.005 | µg/L | 1499 | Phénamiphos |
| 1666 | Oxadixyl | Pesticides | µg/L | 0.005 | µg/L | 1524 | Phénanthrène |
| 1850 | Oxamy | Pesticides | µg/L | 0.02 | µg/L | 5420 | Phénazone |
| 5610 | Oxasulfuron | Micropolluants organiques | µg/L | 0.02 | µg/L | 1236 | Phenméphamine |
| 5375 | Oxazepam | Micropolluants organiques | µg/L | 0.01 | µg/L | 2875 | Phénol, 4-(3-méthylbutyl)- |
| 6682 | Oxycodeone | Micropolluants organiques | µg/L | 0.01 | µg/L | 5813 | Phenthionate |
| 1231 | Oxydéméton méthyl | Pesticides | µg/L | 0.02 | µg/L | 7708 | Phentytoïne |
| 1952 | Oxyfluorène | Pesticides | µg/L | 0.01 | µg/L | 1525 | Phorate |
| 6532 | Oxytetracycline | Micropolluants organiques | µg/L | 0.005 | µg/L | 1237 | Phosalone |
| 1920 | p-(n-méthyl)phénol | Micropolluants organiques | µg/L | 0.03 | µg/L | 1971 | Phosmet |
| 2545 | Paciobutrazole | Pesticides | µg/L | 0.02 | µg/L | 1238 | Phosphamidon |
| 5806 | Paraoxon | Micropolluants organiques | µg/L | 0.02 | µg/L | 1665 | Phoxine |
| 1522 | Parquat | Pesticides | µg/L | 0.05 | µg/L | 1489 | Phthalate de diméthyle |
| 2618 | Para-sec-butylphénol | Micropolluants organiques | µg/L | 0.1 | µg/L | 1708 | Piclorame |
| 1232 | Parathion ethyl | Pesticides | µg/L | 0.01 | µg/L | 5665 | Picolinafen |
| 1233 | Parathion methyl | Pesticides | µg/L | 0.02 | µg/L | 2669 | Picoxytostrobine |
| 1242 | PCB 101 | PCB | µg/L | 0.0012 | µg/L | 1709 | Piperonil butoxide |
| 1627 | PCB 105 | PCB | µg/L | 0.0003 | µg/L | 5819 | Piperophos |
| 5433 | PCB 114 | PCB | µg/L | 0.0003 | µg/L | 1528 | Primitcarbe |

| Code SANDRE | Paramètre | Type | Unité | Limite de Quantification | Unité | Limite de Quantification | Unité | Type |
|-------------|-----------------------------------|---------------------------|-------|--------------------------|--|--------------------------|-------|---------------------------|
| Code SANDRE | Paramètre | | | | | | | |
| 5531 | Primingicarbe Desmethyl | Pesticides | µg/L | 0,02 | Pyroxulam | 7340 | 0,05 | Micropolluants organiques |
| 5532 | Primingicarbe Fommamido Desmethyl | Pesticides | µg/L | 0,02 | Quinmerac | 1891 | 0,02 | Pesticides |
| 7668 | Prioxicam | Micropolluants organiques | µg/L | 0,005 | Quinoxylén | 2087 | 0,02 | Pesticides |
| 5821 | p-Nitrotoluene | Micropolluants organiques | µg/L | 0,15 | Quintozène | 2028 | 0,005 | Pesticides |
| 6734 | Prednisolone | Micropolluants organiques | µg/L | 0,05 | Quizalofop éthyl | 1538 | 0,01 | Pesticides |
| 1949 | Prelachlore | Micropolluants organiques | µg/L | 0,005 | Ranitidine | 2069 | 0,02 | Pesticides |
| 6531 | Prilocaine | Micropolluants organiques | µg/L | 0,005 | Rimulfuron | 2070 | 0,02 | Micropolluants organiques |
| 6847 | Pristinamycine IA | Micropolluants organiques | µg/L | 0,02 | Roténone | 6529 | 0,05 | Pesticides |
| 1253 | Prochloraze | Pesticides | µg/L | 0,02 | Salbutamol | 2859 | 0,01 | Micropolluants organiques |
| 1664 | Procymidone | Micropolluants organiques | µg/L | 0,005 | Sébutylazine | 1923 | 0,02 | Pesticides |
| 1889 | Profénofos | Pesticides | µg/L | 0,02 | Sébutylazine 2-hydroxy | 6101 | 0,02 | Micropolluants organiques |
| 5402 | Progesterone | Pesticides | µg/L | 0,005 | Sébutylazine deséthyl | 5981 | 0,02 | Pesticides |
| 1710 | Prönécaboté | Pesticides | µg/L | 0,02 | Sebutylazine | 1892 | 0,005 | Micropolluants organiques |
| 1711 | Prométion | Micropolluants organiques | µg/L | 0,005 | Sebutylazine deséthyl | 2029 | 0,02 | Pesticides |
| 1254 | Prométryne | Pesticides | µg/L | 0,02 | Sebumeton | 6527 | 0,005 | Micropolluants organiques |
| 1712 | Propachlore | Pesticides | µg/L | 0,01 | Serratoline | 6527 | 0,05 | Pesticides |
| 6398 | Propamocarb | Pesticides | µg/L | 0,005 | Séthoxydime | 1923 | 0,02 | Micropolluants organiques |
| 1532 | Propanil | Pesticides | µg/L | 0,02 | Siduron | 1893 | 0,02 | Pesticides |
| 6964 | Propaphos | Micropolluants organiques | µg/L | 0,005 | Silthiopham | 5609 | 0,02 | Micropolluants organiques |
| 1972 | Propaquazop | Pesticides | µg/L | 0,02 | Silvex | 1539 | 0,02 | Micropolluants organiques |
| 1255 | Propargile | Pesticides | µg/L | 0,005 | Simazine | 1262 | 0,02 | Pesticides |
| 1256 | Propazine | Pesticides | µg/L | 0,02 | Simazine hydroxy | 1808 | 0,02 | Micropolluants organiques |
| 5968 | Propazine 2-hydroxy | Pesticides | µg/L | 0,02 | Simazine hydroxy | 1831 | 0,02 | Pesticides |
| 1533 | Propatamphos | Micropolluants organiques | µg/L | 0,005 | Simétrynate | 5477 | 0,01 | Micropolluants organiques |
| 1534 | Propame | Pesticides | µg/L | 0,02 | Simavastatine | 5358 | 0,1 | Pesticides |
| 1257 | Propiconazole | Pesticides | µg/L | 0,02 | S Météolachrone | 2974 | 0,05 | Micropolluants organiques |
| 2989 | Propinéba | Pesticides | µg/L | 0,1 | Somme de Méthylphénol-3 et de Méthylphénol-4-amino-6-(éthylamino)- | 5855 | 0,05 | Micropolluants organiques |
| 1535 | Propoxur | Micropolluants organiques | µg/L | 0,02 | Sotalol | 5424 | 0,005 | Micropolluants organiques |
| 5602 | Propoxycarbazone-sodium | Pesticides | µg/L | 0,02 | Spiracetam | 5610 | 0,01 | Micropolluants organiques |
| 5363 | Proprianolol | Micropolluants organiques | µg/L | 0,005 | Spiroxamine | 7506 | 0,02 | Micropolluants organiques |
| 1837 | Propylbenzène | Micropolluants organiques | µg/L | 0,5 | s-Triazin-2-ol, 4-amino-6-(éthylamino)- | 3160 | 0,02 | Micropolluants organiques |
| 6214 | Propylene thiouree | Pesticides | µg/L | 0,5 | Styrène | 1541 | 0,05 | Micropolluants organiques |
| 6693 | Propylparaben | Micropolluants organiques | µg/L | 0,03 | Sulcotricone | 1662 | 0,05 | Pesticides |
| 5421 | Propyphénazole | Pesticides | µg/L | 0,005 | Sulfamethoxazole | 5356 | 0,02 | Micropolluants organiques |
| 1414 | Propyzamide | Micropolluants organiques | µg/L | 0,005 | Sulfadiazine | 6575 | 0,05 | Micropolluants organiques |
| 7422 | Proquinazid | Pesticides | µg/L | 0,02 | Sulfaméthuron-méthyl | 6662 | 0,05 | Micropolluants organiques |
| 1092 | Prosulfocarbe | Pesticides | µg/L | 0,02 | Sulfaméthuron-méthyl | 5507 | 0,05 | Micropolluants organiques |
| 2534 | Prosulfuron | Micropolluants organiques | µg/L | 0,02 | Sulfotiep | 2085 | 0,02 | Pesticides |
| 5603 | Prothioconazole | Pesticides | µg/L | 0,05 | Sulfosulfuron | 1894 | 0,02 | Micropolluants organiques |
| 7442 | Proximpham | Micropolluants organiques | µg/L | 0,02 | Sulprilos | 5831 | 0,02 | Pesticides |
| 5416 | Pymetrozine | Pesticides | µg/L | 0,02 | Tafluvalinate | 1193 | 0,005 | Micropolluants organiques |
| 6611 | Pyraclofós | Micropolluants organiques | µg/L | 0,02 | Tébutame | 1661 | 0,005 | Pesticides |
| 2576 | Pyrazoxylen | Pesticides | µg/L | 0,02 | Tébuténozide | 1694 | 0,02 | Micropolluants organiques |
| 5509 | Pyraclostrobine | Micropolluants organiques | µg/L | 0,02 | Tébuténozide | 1895 | 0,02 | Pesticides |
| 1258 | Pyrafufen-éthyl | Pesticides | µg/L | 0,02 | Téflubenzuron | 1896 | 0,005 | Micropolluants organiques |
| 6386 | Pyrazosulfuron-éthyl | Micropolluants organiques | µg/L | 0,02 | Téfluthrine | 1953 | 0,02 | Pesticides |
| 6530 | Pyrazoxylen | Pesticides | µg/L | 0,02 | Tébutame | 1542 | 0,05 | Micropolluants organiques |
| 1537 | Pyrène | HAP | µg/L | 0,005 | Tébuténozide | 5413 | 0,01 | Pesticides |
| 5826 | Pyributicarb | Micropolluants organiques | µg/L | 0,02 | Técazène | 1897 | 0,05 | Micropolluants organiques |
| 1890 | Pyridabâne | Pesticides | µg/L | 0,005 | Téflubenzuron | 1953 | 0,005 | Pesticides |
| 5606 | Pyridaphenthion | Micropolluants organiques | µg/L | 0,02 | Téfluthrine | 1953 | 0,02 | Micropolluants organiques |
| 1259 | Pyridate | Pesticides | µg/L | 0,01 | Tembotritone | 7086 | 0,05 | Pesticides |
| 1663 | Pyrifénox | Pesticides | µg/L | 0,01 | Téphéphos | 1898 | 0,02 | Micropolluants organiques |
| 1432 | Pyriméthanal | Pesticides | µg/L | 0,005 | Terbacille | 1659 | 0,005 | Pesticides |
| 1260 | Pyrimiphos éthyl | Pesticides | µg/L | 0,02 | Terbucarb | 5835 | 0,02 | Micropolluants organiques |
| 1261 | Pyrimiphos méthyl | Pesticides | µg/L | 0,005 | Terburnéton | 1266 | 0,02 | Pesticides |
| 5499 | Pyriproxyfène | Micropolluants organiques | µg/L | 0,005 | Terbuphos | 1267 | 0,005 | Pesticides |

| Code SANDRE | Paramètre | Type | Unité | Limite de Quantification | Unité | Limite de Quantification | Type | Unité | Limite de Quantification | Unité | Limite de Quantification | Type |
|-------------|----------------------------------|---------------------------|-----------|--------------------------|-------|--------------------------------|---------------------------|-----------|--------------------------|--------|--------------------------|---------------------------|
| | | Code SANDRE | Paramètre | | | | Code SANDRE | Paramètre | | | | Code SANDRE |
| 6963 | Terbutaline | Micropolluants organiques | µg/L | 0.02 | 2879 | Tributylétain cation | Micropolluants organiques | µg/L | 0,0002 | 0,005 | 0,0002 | Micropolluants organiques |
| 1288 | Terbutylazine | Pesticides | µg/L | 0,02 | 1847 | Tributylphosphate | Micropolluants organiques | µg/L | 0,02 | 0,02 | 0,02 | Micropolluants organiques |
| 2045 | Terbutylazine déséthyl | Micropolluants organiques | µg/L | 0,05 | 5840 | Tributyl phosphorotrithioïte | Pesticides | µg/L | 0,02 | 0,02 | 0,02 | Pesticides |
| 7150 | Terbutylazine déséthyl-2-hydroxy | Pesticides | µg/L | 0,02 | 1288 | Trichlopyr | Micropolluants organiques | µg/L | 0,5 | 0,5 | 0,5 | Micropolluants organiques |
| 1954 | Terbutylazine hydroxy | Micropolluants organiques | µg/L | 0,02 | 1284 | Trichloréthane-1,1,1 | Micropolluants organiques | µg/L | 0,25 | 0,25 | 0,25 | Micropolluants organiques |
| 1269 | Terbutyne | Micropolluants organiques | µg/L | 0,005 | 1285 | Trichloréthane-1,1,2 | Micropolluants organiques | µg/L | 0,5 | 0,5 | 0,5 | Micropolluants organiques |
| 5384 | Testostérone | Micropolluants organiques | µg/L | 0,005 | 1286 | Trichloréthylène | Pesticides | µg/L | 0,02 | 0,02 | 0,02 | Pesticides |
| 1936 | Tetrabutylétain | Micropolluants organiques | µg/L | 0,005 | 1287 | Trichlorofon | Micropolluants organiques | µg/L | 0,02 | 0,02 | 0,02 | Micropolluants organiques |
| 1270 | Tétrachloréthane-1,1,1,2 | Pesticides | µg/L | 0,5 | 2734 | Trichloroaniline-2,3,4 | Micropolluants organiques | µg/L | 0,02 | 0,02 | 0,02 | Pesticides |
| 1271 | Tétrachloréthane-1,1,2,2 | Micropolluants organiques | µg/L | 0,05 | 7017 | Trichloroaniline-2,3,5 | Micropolluants organiques | µg/L | 0,02 | 0,02 | 0,02 | Micropolluants organiques |
| 1272 | Tétrachloréthyne | Micropolluants organiques | µg/L | 0,5 | 2732 | Trichloroaniline-2,4,5 | Micropolluants organiques | µg/L | 0,02 | 0,02 | 0,02 | Micropolluants organiques |
| 2010 | Tétrachlorobenzène-1,2,3,4 | Micropolluants organiques | µg/L | 0,02 | 1595 | Trichloroaniline-2,4,6 | Micropolluants organiques | µg/L | 0,05 | 0,05 | 0,05 | Micropolluants organiques |
| 2536 | Tétrachlorobenzène-1,2,3,5 | Micropolluants organiques | µg/L | 0,1 | 1630 | Trichlorobenzène-1,2,3 | Micropolluants organiques | µg/L | 0,1 | 0,1 | 0,1 | Micropolluants organiques |
| 1631 | Tétrachlorobenzène-1,2,4,5 | Pesticides | µg/L | 0,1 | 1283 | Trichlorobenzène-1,2,4 | Micropolluants organiques | µg/L | 0,1 | 0,1 | 0,1 | Pesticides |
| 1273 | Tétrachlorophénol-2,3,4,5 | Micropolluants organiques | µg/L | 0,05 | 1629 | Trichlorofluorométhane | Micropolluants organiques | µg/L | 0,05 | 0,05 | 0,05 | Micropolluants organiques |
| 1274 | Tétrachlorophénol-2,3,4,6 | Micropolluants organiques | µg/L | 0,5 | 1195 | Trichlorophénol-2,3,4 | Micropolluants organiques | µg/L | 0,05 | 0,05 | 0,05 | Micropolluants organiques |
| 1275 | Tétrachlorophénol-2,3,5,6 | Micropolluants organiques | µg/L | 0,5 | 1644 | Trichlorophénol-2,3,5 | Micropolluants organiques | µg/L | 0,05 | 0,05 | 0,05 | Micropolluants organiques |
| 1276 | Tétrachlorure de C | Micropolluants organiques | µg/L | 0,5 | 1643 | Trichlorophénol-2,3,6 | Micropolluants organiques | µg/L | 0,05 | 0,05 | 0,05 | Micropolluants organiques |
| 1277 | Tétrachlorvinphos | Pesticides | µg/L | 0,02 | 1642 | Trichlorophénol-2,4,5 | Micropolluants organiques | µg/L | 0,05 | 0,05 | 0,05 | Micropolluants organiques |
| 1660 | Tétraconazole | Micropolluants organiques | µg/L | 0,02 | 1548 | Trichlorophénol-2,4,6 | Micropolluants organiques | µg/L | 0,05 | 0,05 | 0,05 | Micropolluants organiques |
| 6750 | Tetracycline | Micropolluants organiques | µg/L | 0,1 | 1549 | Trichlorophénol-2,4,6 | Micropolluants organiques | µg/L | 0,05 | 0,05 | 0,05 | Micropolluants organiques |
| 1900 | Tétradiodon | Micropolluants organiques | µg/L | 0,005 | 1723 | Trichlorophénol-3,4,5 | Micropolluants organiques | µg/L | 0,25 | 0,25 | 0,25 | Micropolluants organiques |
| 5249 | Tétraphénylétain | Pesticides | µg/L | 0,005 | 1854 | Trichloropropane-1,2,3 | Pesticides | µg/L | 0,5 | 0,5 | 0,5 | Pesticides |
| 5837 | Tetrasul | Micropolluants organiques | µg/L | 0,01 | 1196 | Trichlorotrifluoroéthane-1,2,2 | Micropolluants organiques | µg/L | 0,5 | 0,5 | 0,5 | Pesticides |
| 1713 | Thiabendazole | Pesticides | µg/L | 0,02 | 5430 | Tricosan | Pesticides | µg/L | 0,05 | 0,05 | 0,05 | Pesticides |
| 5671 | Thiacloprid | Micropolluants organiques | µg/L | 0,05 | 2898 | Tricyclohexyletian cation | Micropolluants organiques | µg/L | 0,02 | 0,02 | 0,02 | Micropolluants organiques |
| 1940 | Thiafluanide | Micropolluants organiques | µg/L | 0,02 | 2885 | Tridémorphe | Micropolluants organiques | µg/L | 0,0005 | 0,0005 | 0,0005 | Micropolluants organiques |
| 6390 | Thiamethoxam | Pesticides | µg/L | 0,02 | 1811 | Triflumuron | Micropolluants organiques | µg/L | 0,1 | 0,1 | 0,1 | Micropolluants organiques |
| 1714 | Thiazasulfuron | Micropolluants organiques | µg/L | 0,05 | 5842 | Trietazine | Micropolluants organiques | µg/L | 0,02 | 0,02 | 0,02 | Micropolluants organiques |
| 5934 | Thidiazuron | Pesticides | µg/L | 0,02 | 6102 | Trietazine 2-hydroxy | Micropolluants organiques | µg/L | 0,02 | 0,02 | 0,02 | Micropolluants organiques |
| 1913 | Thifensulfuron méthyl | Micropolluants organiques | µg/L | 0,05 | 5971 | Trietazine desethyl | Micropolluants organiques | µg/L | 0,02 | 0,02 | 0,02 | Micropolluants organiques |
| 7512 | Thiocyclam hydrogén oxalate | Micropolluants organiques | µg/L | 0,01 | 2678 | Trifl oxy strobine | Micropolluants organiques | µg/L | 0,02 | 0,02 | 0,02 | Micropolluants organiques |
| 1093 | Thiodicarbe | Pesticides | µg/L | 0,02 | 1902 | Triflumuron | Micropolluants organiques | µg/L | 0,02 | 0,02 | 0,02 | Pesticides |
| 1715 | Thiofanox | Micropolluants organiques | µg/L | 0,05 | 1288 | Trifluraline | Micropolluants organiques | µg/L | 0,005 | 0,005 | 0,005 | Pesticides |
| 5476 | Thiofanox sulfone | Pesticides | µg/L | 0,02 | 2991 | Triflusulfuron-méthyl | Micropolluants organiques | µg/L | 0,02 | 0,02 | 0,02 | Micropolluants organiques |
| 5475 | Thiofanox sulfonyde | - | µg/L | 0,02 | 1802 | Triforine | Micropolluants organiques | µg/L | 0,02 | 0,02 | 0,02 | Micropolluants organiques |
| 2071 | Thionéton | Pesticides | µg/L | 0,005 | 5357 | Triméthoprime | Micropolluants organiques | µg/L | 0,02 | 0,02 | 0,02 | Micropolluants organiques |
| 5838 | Thionazin | Micropolluants organiques | µg/L | 0,05 | 1857 | Triméthylbenzène-1,2,3 | Micropolluants organiques | µg/L | 1 | 1 | 1 | Micropolluants organiques |
| 7514 | Thiophanate-ethyl | Micropolluants organiques | µg/L | 0,05 | 1609 | Triméthylbenzène-1,2,4 | Micropolluants organiques | µg/L | 1 | 1 | 1 | Micropolluants organiques |
| 1717 | Thiophanate-méthyl | Micropolluants organiques | µg/L | 0,05 | 1509 | Triméthylbenzène-1,3,5 | Micropolluants organiques | µg/L | 0,02 | 0,02 | 0,02 | Micropolluants organiques |
| 1718 | Thiram | Pesticides | µg/L | 0,1 | 2096 | Trinexapac-ethyl | Micropolluants organiques | µg/L | 0,005 | 0,005 | 0,005 | Pesticides |
| 6524 | Ticlopidine | Micropolluants organiques | µg/L | 0,01 | 2886 | Trioctylétain cation | Micropolluants organiques | µg/L | 0,001 | 0,001 | 0,001 | Pesticides |
| 7965 | Timolol | Micropolluants organiques | µg/L | 0,005 | 6372 | Triphenyletian cation | Micropolluants organiques | µg/L | 1 | 1 | 1 | Micropolluants organiques |
| 5922 | Ticarcbazil | Pesticides | µg/L | 0,02 | 2992 | Triticonazole | Micropolluants organiques | µg/L | 0,02 | 0,02 | 0,02 | Micropolluants organiques |
| 5675 | Tolclofós-méthyl | Micropolluants organiques | µg/L | 0,02 | 7482 | Uronazole | Micropolluants organiques | µg/L | 0,01 | 0,01 | 0,01 | Micropolluants organiques |
| 1278 | Tolène | 1 | µg/L | 1 | 1290 | Vamidothion | Micropolluants organiques | µg/L | 0,005 | 0,005 | 0,005 | Pesticides |
| 1719 | Tolyfluanide | Pesticides | µg/L | 0,005 | 1291 | Vinclozoline | Micropolluants organiques | µg/L | 1 | 1 | 1 | Micropolluants organiques |
| 1658 | Tralométhrine | Micropolluants organiques | µg/L | 0,005 | 1293 | Xylène-méta | Micropolluants organiques | µg/L | 0,5 | 0,5 | 0,5 | Micropolluants organiques |
| 6720 | Tramadol | Pesticides | µg/L | 0,005 | 1292 | Xylène-ortho | Micropolluants organiques | µg/L | 1 | 1 | 1 | Micropolluants organiques |
| 1544 | Tradiméton | Pesticides | µg/L | 0,005 | 1294 | Xylène-para | Micropolluants organiques | µg/L | 0,03 | 0,03 | 0,03 | Micropolluants organiques |
| 1280 | Tradiméton | Pesticides | µg/L | 0,02 | 1721 | Znèbe | Pesticides | µg/L | 0,02 | 0,02 | 0,02 | Pesticides |
| 1281 | Triallate | Pesticides | µg/L | 0,02 | 5376 | Zolpidem | Pesticides | µg/L | 0,02 | 0,02 | 0,02 | Pesticides |
| 1914 | Triasulfuron | Pesticides | µg/L | 0,02 | 2858 | Zoxamide | Pesticides | µg/L | 0,02 | 0,02 | 0,02 | Pesticides |
| 1901 | Triazamate | Pesticides | µg/L | 0,05 | | | | | | | | |
| 1657 | Triazophos | Pesticides | µg/L | 0,02 | | | | | | | | |
| 2990 | Triazoxide | Pesticides | µg/L | 0,05 | | | | | | | | |
| 2064 | Tribenuron-Méthyle | Pesticides | µg/L | 0,02 | | | | | | | | |

Annexe 2

Liste des micropolluants analysés sur sédiments

| Code SANDRE | Paramètre | Limité de Quantification | Unité | Type | Code SANDRE | Paramètre | Limité de Quantification | Unité | Type |
|-------------|--|--------------------------|-----------|----------------------------|-------------|--------------------------------|--------------------------|-------|---------------------------|
| 1370 | Aluminium | 10 | mg(A)/kg | Micropolluants métalliques | 1607 | Benzidine | 100 | lg/kg | Pesticides |
| 1376 | Antimoine | 0.2 | mg(Sb)/kg | Micropolluants métalliques | 1082 | Benzo (a) Anthracène | 10 | lg/kg | HAP |
| 1368 | Argent | 0.2 | mg(Ag)/kg | Micropolluants métalliques | 1115 | Benzo (a) Pyrène | 10 | lg/kg | HAP |
| 1369 | Arsenic | 0.2 | mg(As)/kg | Micropolluants métalliques | 1116 | Benzo (b) Fluoranthène | 10 | lg/kg | HAP |
| 1396 | Baryum | 0.4 | mg(Ba)/kg | Micropolluants métalliques | 1118 | Benzo (ghi) Pétylène | 10 | lg/kg | HAP |
| 1377 | Béryllium | 0.2 | mg(Be)/kg | Micropolluants métalliques | 1117 | Benzo (k) Fluoranthène | 10 | lg/kg | Pesticides |
| 1362 | Bore | 1 | mg(B)/kg | Micropolluants métalliques | 1119 | Bifénox | 50 | lg/kg | Micropolluants organiques |
| 1388 | Cadmium | 0.2 | mg(Cd)/kg | Micropolluants métalliques | 1584 | Biphényle | 10 | lg/kg | Micropolluants organiques |
| 1389 | Chrome | 0.2 | mg(Cr)/kg | Micropolluants métalliques | 1122 | Bromoformé | 5 | lg/kg | Pesticides |
| 1379 | Cobalt | 0.2 | mg(Co)/kg | Micropolluants métalliques | 1125 | Bromoxynil | 10 | lg/kg | Pesticides |
| 1392 | Cuivre | 0.2 | mg(Cu)/kg | Micropolluants métalliques | 1941 | Bromoxynil octanoate | 50 | lg/kg | Pesticides |
| 1380 | Étain | 0.2 | mg(Sn)/kg | Micropolluants métalliques | 1464 | Chlorfenvinphos | 20 | lg/kg | Pesticides |
| 1393 | Fer | 10 | mg(Fe)/kg | Micropolluants métalliques | 1134 | Chloméphos | 10 | lg/kg | - |
| 1364 | Lithium | 1 | mg(Li)/kg | Micropolluants métalliques | 1955 | Chloroalcanes C10-C13 | 2000 | lg/kg | Micropolluants organiques |
| 1394 | Manganèse | 0.4 | mg(Mn)/kg | Micropolluants métalliques | 1593 | Chloroaniline-2 | 50 | lg/kg | Micropolluants organiques |
| 1387 | Mercure | 0.02 | mg(Hg)/kg | Micropolluants métalliques | 1592 | Chloroaniline-3 | 50 | lg/kg | Micropolluants organiques |
| 1395 | Molybdène | 0.2 | mg(Mo)/kg | Micropolluants métalliques | 1591 | Chloroaniline-4 | 50 | lg/kg | Micropolluants organiques |
| 1386 | Nickel | 0.2 | mg(Ni)/kg | Micropolluants métalliques | 1467 | Chlorobenzène | 10 | lg/kg | Micropolluants organiques |
| 1382 | Plomb | 0.2 | mg(Pb)/kg | Micropolluants métalliques | 1612 | Chlorodinitrobenzène-1,2,4 | 20 | lg/kg | Micropolluants organiques |
| 1385 | Sélénium | 0.2 | mg(Se)/kg | Micropolluants métalliques | 1135 | Chloroforme (Trichlorométhane) | 5 | lg/kg | Micropolluants organiques |
| 2559 | Tellure | 0.2 | mg(Te)/kg | Micropolluants métalliques | 1635 | Chlorométhylphénol-2,5 | 50 | lg/kg | Micropolluants organiques |
| 2555 | Thallium | 0.2 | mg(Tl)/kg | Micropolluants métalliques | 1636 | Chlorométhylphénol-4,3 | 50 | lg/kg | Micropolluants organiques |
| 1373 | Titan | 1 | mg(Ti)/kg | Micropolluants métalliques | 1594 | Chloronitroniline-4,2 | 50 | lg/kg | Micropolluants organiques |
| 1361 | Uranium | 0.2 | mg(U)/kg | Micropolluants métalliques | 1469 | Chloronitrobenzène-1,2 | 20 | lg/kg | Micropolluants organiques |
| 1384 | Vanadium | 0.2 | mg(V)/kg | Micropolluants métalliques | 1468 | Chloronitrobenzène-1,3 | 20 | lg/kg | Micropolluants organiques |
| 1383 | Zinc | 0.4 | mg(Zn)/kg | Micropolluants métalliques | 1470 | Chloronitrobenzène-1,4 | 20 | lg/kg | Micropolluants organiques |
| 5474 | 4-n-nonylphénol | 40 | lg/kg | Micropolluants organiques | 1471 | Chlorophénol-2 | 50 | lg/kg | Micropolluants organiques |
| 1958 | 4-nonylphénols ramifiés | 40 | lg/kg | Micropolluants organiques | 1651 | Chlorophénol-3 | 50 | lg/kg | Micropolluants organiques |
| 2610 | 4-tert-butylphénol | 40 | lg/kg | Micropolluants organiques | 1650 | Chlorophénol-4 | 50 | lg/kg | Micropolluants organiques |
| 1959 | 4-tert-octylphénol | 40 | lg/kg | HAP | 2611 | Chloropropene | 20 | lg/kg | Micropolluants organiques |
| 1453 | Acénaphthène | 10 | lg/kg | HAP | 2065 | Chloropropène-3 | 5 | lg/kg | Micropolluants organiques |
| 1622 | Acénaphytène | 20 | lg/kg | Pesticides | 1602 | Chlorotoluène-2 | 5 | lg/kg | Micropolluants organiques |
| 1903 | Acétochloré | 10 | lg/kg | Pesticides | 1601 | Chlorotoluène-3 | 5 | lg/kg | Micropolluants organiques |
| 6560 | Acide perfluorooctanesulfonique (PFOS) | 50 | lg/kg | Micropolluants organiques | 1600 | Chlorotoluène-4 | 5 | lg/kg | Micropolluants organiques |
| 1688 | Acilonifen | 20 | lg/kg | Pesticides | 1474 | Chloropropane | 10 | lg/kg | Pesticides |
| 1103 | Aldrine | 20 | lg/kg | Pesticides | 1083 | Chloryphiphos éthyl | 10 | lg/kg | Pesticides |
| 1812 | Alphanéthrine | 20 | lg/kg | HAP | 1540 | Chloryphiphos méthyl | 20 | lg/kg | HAP |
| 1458 | Anthracène | 10 | lg/kg | Micropolluants organiques | 1476 | Chrysène | 10 | lg/kg | Pesticides |
| 1110 | Azinphos éthyl | 50 | lg/kg | Pesticides | 2017 | Claomazone | 50 | lg/kg | Pesticides |
| 1951 | Azoxystrobine | 10 | lg/kg | - | 1639 | Crésol-méta | 50 | lg/kg | Micropolluants organiques |
| 2915 | BDE100 | 10 | lg/kg | - | 1640 | Crésol-ortho | 50 | lg/kg | Pesticides |
| 2913 | BDE138 | 10 | lg/kg | - | 1638 | Crésol-para | 50 | lg/kg | Pesticides |
| 2912 | BDE153 | 10 | lg/kg | - | 1140 | Cyperméthrine | 20 | lg/kg | Pesticides |
| 2911 | BDE154 | 10 | lg/kg | - | 1680 | Cyproconazole | 10 | lg/kg | Pesticides |
| 2910 | BDE183 | 10 | lg/kg | - | 1359 | Cyprodinil | 10 | lg/kg | Pesticides |
| 5989 | BDE196 | 10 | lg/kg | - | 1143 | DDD-o,p' | 5 | lg/kg | Pesticides |
| 5990 | BDE197 | 10 | lg/kg | - | 1144 | DDD-p,p' | 5 | lg/kg | Pesticides |
| 5991 | BDE198 | 10 | lg/kg | - | 1145 | DDE-o,p' | 5 | lg/kg | Pesticides |
| 5986 | BDE203 | 10 | lg/kg | - | 1146 | DDE-p,p' | 5 | lg/kg | Pesticides |
| 5996 | BDE204 | 10 | lg/kg | - | 1147 | DDT-o,p' | 5 | lg/kg | Pesticides |
| 5997 | BDE205 | 10 | lg/kg | - | 1148 | DDT-p,p' | 5 | lg/kg | Pesticides |
| 1815 | BDE209 | 10 | lg/kg | - | 6616 | DEHP | 100 | lg/kg | Micropolluants organiques |
| 2920 | BDE228 | 10 | lg/kg | - | 1149 | Deltaméthrine | 20 | lg/kg | Pesticides |
| 2919 | BDE47 | 10 | lg/kg | - | 1157 | Diazinon | 25 | lg/kg | Pesticides |
| 7437 | BDE77 | 10 | lg/kg | - | 1621 | Dibenzo (ah) Anthracène | 10 | lg/kg | HAP |
| 2916 | BDE99 | 10 | lg/kg | - | 1158 | Dibromo-chlorométhane | 5 | lg/kg | Micropolluants organiques |
| 1114 | Benzène | 5 | µg/kg | - | 1498 | Dibromoéthane-1,2 | 5 | lg/kg | Pesticides |

| Code SANDRE | Paramètre | Type | Unité | Limite de Quantification | Type | Unité | Limite de Quantification |
|-------------|-------------------------------|---------------------------|-------|--------------------------|-----------------------------------|-------|--------------------------|
| 7074 | Dibutyletaien cation | Pesticides | µg/kg | 10 | Fluoroxypyr-méthyl | 20 | µg/kg |
| 1160 | Dichloréthane-1,1 | Micropolluants organiques | µg/kg | 10 | Flusilazole | 10 | µg/kg |
| 1161 | Dichloréthane-1,2 | Micropolluants organiques | µg/kg | 10 | HCH alpha | 10 | µg/kg |
| 1162 | Dichlorotoléphényle-1,1 | Micropolluants organiques | µg/kg | 10 | HCH beta | 10 | µg/kg |
| 1456 | Dichlorotoléphényle-1,2 cis | Micropolluants organiques | µg/kg | 10 | HCH delta | 10 | µg/kg |
| 1727 | Dichlorotoléphényle-1,2 trans | Micropolluants organiques | µg/kg | 10 | HCH epsilon | 10 | µg/kg |
| 1590 | Dichloroaniline-2,3 | Micropolluants organiques | µg/kg | 20 | HCH gamma | 10 | µg/kg |
| 1589 | Dichloroaniline-2,4 | Micropolluants organiques | µg/kg | 50 | Heptachlore | 10 | µg/kg |
| 1588 | Dichloroaniline-2,5 | Pesticides | µg/kg | 50 | Heptachlore époxyde cis | 10 | µg/kg |
| 1587 | Dichloroaniline-2,6 | Pesticides | µg/kg | 50 | Heptachlore époxyde trans | 10 | µg/kg |
| 1586 | Dichloroaniline-3,4 | Pesticides | µg/kg | 50 | Hexachlorobutadiène | 10 | µg/kg |
| 1585 | Dichloroaniline-3,5 | Pesticides | µg/kg | 50 | Hexachlorobutadiène | 1 | µg/kg |
| 1165 | Dichlorobenzène-1,2 | Micropolluants organiques | µg/kg | 10 | Hexaconazole | 10 | µg/kg |
| 1164 | Dichlorobenzène-1,3 | Micropolluants organiques | µg/kg | 10 | Indéno (123c) Pyrène | 10 | µg/kg |
| 1166 | Dichlorobenzène-1,4 | Micropolluants organiques | µg/kg | 10 | Iprodione | 10 | µg/kg |
| 1167 | Dichlorobromométhane | Micropolluants organiques | µg/kg | 5 | Irgarol | 10 | µg/kg |
| 1168 | Dichlorométhane | Micropolluants organiques | µg/kg | 10 | Isodrine | 10 | µg/kg |
| 1617 | Dichloronitrobenzène-2,3 | Micropolluants organiques | µg/kg | 50 | Isopropyl/benzène | 5 | µg/kg |
| 1616 | Dichloronitrobenzène-2,4 | Micropolluants organiques | µg/kg | 50 | Kresoxim méthyl | 10 | µg/kg |
| 1615 | Dichloronitrobenzène-2,5 | Micropolluants organiques | µg/kg | 50 | Lambda Cyhalothrine | 10 | µg/kg |
| 1614 | Dichloronitrobenzène-3,4 | Micropolluants organiques | µg/kg | 50 | Linuron | 10 | µg/kg |
| 1613 | Dichloronitrobenzène-3,5 | Micropolluants organiques | µg/kg | 50 | Méthyl-2-Fluoranthène | 50 | µg/kg |
| 1645 | Dichlorophénol-2,3 | Micropolluants organiques | µg/kg | 50 | Napropamide | 50 | µg/kg |
| 1486 | Dichlorophénol-2,4 | Micropolluants organiques | µg/kg | 50 | Méthyl-2-Naphtalène | 100 | µg/kg |
| 1649 | Dichlorophénol-2,5 | Micropolluants organiques | µg/kg | 50 | n-Butyl Phthalate | 75 | µg/kg |
| 1648 | Dichlorophénol-2,6 | Micropolluants organiques | µg/kg | 50 | Monooctylétain cation | 40 | µg/kg |
| 1647 | Dichlorophénol-3,4 | Micropolluants organiques | µg/kg | 50 | Monophényletaien cation | 40 | µg/kg |
| 1646 | Dichlorophénol-3,5 | Micropolluants organiques | µg/kg | 50 | Naphthalène | 25 | µg/kg |
| 1655 | Dichloropropane-1,2 | Micropolluants organiques | µg/kg | 10 | Napropamide | 10 | µg/kg |
| 1654 | Dichloropropane-1,3 | Micropolluants organiques | µg/kg | 10 | n-Butyl Phthalate | 100 | µg/kg |
| 2081 | Dichloropropane-2,2 | Micropolluants organiques | µg/kg | 10 | Nitrophénol-2 | 50 | µg/kg |
| 2082 | Dichloropropane-2,2 | Micropolluants organiques | µg/kg | 10 | Nonylphénols linéaire ou ramifiés | 40 | µg/kg |
| 1834 | Dichloropropylène-1,3 Cis | Micropolluants organiques | µg/kg | 10 | Nonurazon | 10 | µg/kg |
| 1835 | Dichloropropylène-1,3 Trans | Micropolluants organiques | µg/kg | 10 | Oxadiazon | 10 | µg/kg |
| 1653 | Dichloropropylène-2,3 | Micropolluants organiques | µg/kg | 20 | p-(n-octyl)béhenol | 40 | µg/kg |
| 1169 | Dichloroprop | Micropolluants organiques | µg/kg | 30 | Parathion étéryl | 20 | µg/kg |
| 1170 | Dichlornovos | Pesticides | µg/kg | 20 | PCB 101 | 1 | µg/kg |
| 1172 | Dicofol | Pesticides | µg/kg | 20 | PCB 105 | 1 | µg/kg |
| 1173 | Dieldrine | Pesticides | µg/kg | 20 | PCB 114 | 1 | µg/kg |
| 1814 | Diffufénicanil | Pesticides | µg/kg | 10 | PCB 118 | 1 | µg/kg |
| 1403 | Diméthomorphine | Pesticides | µg/kg | 100 | PCB 123 | 1 | µg/kg |
| 1641 | Diméthylphénol-2,4 | Micropolluants organiques | µg/kg | 50 | PCB 126 | 1 | µg/kg |
| 1578 | Dinitrotoluène-2,4 | Pesticides | µg/kg | 50 | PCB 138 | 1 | µg/kg |
| 1577 | Dinitrotoluène-2,6 | Pesticides | µg/kg | 50 | PCB 153 | 1 | µg/kg |
| 7494 | Diocetylétain cation | Pesticides | µg/kg | 100 | PCB 156 | 1 | µg/kg |
| 7495 | Diphenyletaien cation | Pesticides | µg/kg | 10 | PCB 157 | 1 | µg/kg |
| 1178 | Endosulfan alpha | Pesticides | µg/kg | 20 | PCB 167 | 1 | µg/kg |
| 1179 | Endosulfan beta | Pesticides | µg/kg | 20 | PCB 169 | 1 | µg/kg |
| 1742 | Endosulfan sulfate | Pesticides | µg/kg | 20 | PCB 170 | 1 | µg/kg |
| 1181 | Endrine | Pesticides | µg/kg | 20 | PCB 180 | 1 | µg/kg |
| 1744 | Epoxiconazole | Pesticides | µg/kg | 10 | PCB 189 | 1 | µg/kg |
| 1497 | Ethylbenzène | Micropolluants organiques | µg/kg | 5 | PCB 194 | 1 | µg/kg |
| 1187 | Fénitrothion | Pesticides | µg/kg | 10 | PCB 209 | 1 | µg/kg |
| 1967 | Fénoxycarbe | Pesticides | µg/kg | 10 | PCB 28 | 1 | µg/kg |
| 2022 | Fludioxonil | Pesticides | µg/kg | 10 | PCB 35 | 1 | µg/kg |
| 1191 | Fluoranthène | HAP | µg/kg | 40 | PCB 44 | 1 | µg/kg |
| 1623 | Fluorène | HAP | µg/kg | 40 | PCB 52 | 1 | µg/kg |

| Code SANDRE | Paramètre | Type | Unité | Limite de Quantification | Type | Unité | Limite de Quantification | Type | Unité | Limite de Quantification | Type | Unité |
|-------------|------------------------------------|---------------------------|-------|--------------------------|-------------|--------------|--------------------------|--------------------------|---------------------------|--------------------------|--------------------------|---------------------------|
| | | | | | Code SANDRE | Paramètre | Unité | Limite de Quantification | Type | Unité | Limite de Quantification | Type |
| 1091 | PCB 77 | PCB | µg/kg | 1 | 1292 | Xylène-ortho | 2 | 2 | Micropolluants organiques | µg/kg | 2 | Micropolluants organiques |
| 5432 | PCB 81 | PCB | µg/kg | 10 | 1294 | Xylène-para | 2 | 2 | Micropolluants organiques | µg/kg | 2 | Micropolluants organiques |
| 1234 | Pendiméthaline | Pesticides | µg/kg | 5 | | | | | | | | |
| 1888 | Pentachlorobénzène | Micropolluants organiques | µg/kg | 50 | | | | | | | | |
| 1235 | Pentachlorophénol | HAP | µg/kg | 50 | | | | | | | | |
| 1524 | Phénanthrène | Pesticides | µg/kg | 10 | | | | | | | | |
| 1665 | Phoxime | Pesticides | µg/kg | 10 | | | | | | | | |
| 1664 | Procyridone | Pesticides | µg/kg | 10 | | | | | | | | |
| 1414 | Propyzamide | Pesticides | µg/kg | 10 | | | | | | | | |
| 1537 | Pyrine | HAP | µg/kg | 40 | | | | | | | | |
| 2028 | Quinoxyfen | Pesticides | µg/kg | 10 | | | | | | | | |
| 7128 | Somme de 3 Hexabromocyclododecanes | Micropolluants organiques | µg/kg | 10 | | | | | | | | |
| 1662 | Sulcotrine | Pesticides | µg/kg | 10 | | | | | | | | |
| 1694 | Tébuconazole | Pesticides | µg/kg | 10 | | | | | | | | |
| 1661 | Tébutame | Pesticides | µg/kg | 10 | | | | | | | | |
| 1268 | Terbutylazine | Pesticides | µg/kg | 10 | | | | | | | | |
| 1269 | Terbutryne | Pesticides | µg/kg | 10 | | | | | | | | |
| 1936 | Tétrabutylétain | Micropolluants organiques | µg/kg | 5 | | | | | | | | |
| 1270 | Tétrachloroéthane-1,1,1,2 | Micropolluants organiques | µg/kg | 5 | | | | | | | | |
| 1271 | Tétrachloroéthane-1,1,2,2 | Micropolluants organiques | µg/kg | 10 | | | | | | | | |
| 1272 | Tétrachloroéthylène | Micropolluants organiques | µg/kg | 5 | | | | | | | | |
| 2010 | Tétrachlorobénzene-1,2,3,4 | Micropolluants organiques | µg/kg | 10 | | | | | | | | |
| 2536 | Tétrachlorobénzene-1,2,3,5 | Micropolluants organiques | µg/kg | 10 | | | | | | | | |
| 1631 | Tétrachlorobénzene-1,2,4,5 | Micropolluants organiques | µg/kg | 10 | | | | | | | | |
| 1273 | Tétrachlorophénol-2,3,4,5 | Micropolluants organiques | µg/kg | 50 | | | | | | | | |
| 1274 | Tétrachlorophénol-2,3,4,6 | Micropolluants organiques | µg/kg | 50 | | | | | | | | |
| 1275 | Tétrachlorophénol-2,3,5,6 | Micropolluants organiques | µg/kg | 50 | | | | | | | | |
| 1276 | Tétrachlorure de C | Micropolluants organiques | µg/kg | 5 | | | | | | | | |
| 1660 | Tétraconazole | Micropolluants organiques | µg/kg | 10 | | | | | | | | |
| 1278 | Toluène | Micropolluants organiques | µg/kg | 5 | | | | | | | | |
| 2879 | Tributyletian cation | Micropolluants organiques | µg/kg | 25 | | | | | | | | |
| 1847 | Tributylphosphate | Micropolluants organiques | µg/kg | 20 | | | | | | | | |
| 1288 | Trichloropyr | Micropolluants organiques | µg/kg | 10 | | | | | | | | |
| 1284 | Trichlorothéthane-1,1,1 | Micropolluants organiques | µg/kg | 5 | | | | | | | | |
| 1285 | Trichlorothéthane-1,1,2 | Micropolluants organiques | µg/kg | 5 | | | | | | | | |
| 1286 | Trichlorotéthylène | Micropolluants organiques | µg/kg | 5 | | | | | | | | |
| 2734 | Trichloroaniline-2,3,4 | Micropolluants organiques | µg/kg | 50 | | | | | | | | |
| 7017 | Trichloroaniline-2,3,5 | Micropolluants organiques | µg/kg | 20 | | | | | | | | |
| 2732 | Trichloroaniline-2,4,5 | Micropolluants organiques | µg/kg | 50 | | | | | | | | |
| 1595 | Trichloroaniline-2,4,6 | Micropolluants organiques | µg/kg | 50 | | | | | | | | |
| 1630 | Trichlorobénzene-1,2,3 | Micropolluants organiques | µg/kg | 10 | | | | | | | | |
| 1283 | Trichlorobénzene-1,2,4 | Micropolluants organiques | µg/kg | 10 | | | | | | | | |
| 1629 | Trichlorobénzene-1,3,5 | Micropolluants organiques | µg/kg | 10 | | | | | | | | |
| 1195 | Trichloroturométhane | Micropolluants organiques | µg/kg | 1 | | | | | | | | |
| 1644 | Trichlorophénol-2,3,4 | Micropolluants organiques | µg/kg | 50 | | | | | | | | |
| 1643 | Trichlorophénol-2,3,5 | Micropolluants organiques | µg/kg | 50 | | | | | | | | |
| 1642 | Trichlorophénol-2,3,6 | Micropolluants organiques | µg/kg | 50 | | | | | | | | |
| 1548 | Trichlorophénol-2,4,5 | Micropolluants organiques | µg/kg | 50 | | | | | | | | |
| 1549 | Trichlorophénol-2,4,6 | Micropolluants organiques | µg/kg | 50 | | | | | | | | |
| 1723 | Trichlorophénol-3,4,5 | Micropolluants organiques | µg/kg | 50 | | | | | | | | |
| 6506 | Trichlorotrifluoroéthane | Micropolluants organiques | µg/kg | 5 | | | | | | | | |
| 2885 | Tricyclohexyletian cation | Micropolluants organiques | µg/kg | 15 | | | | | | | | |
| 1289 | Trifluraline | Pesticides | µg/kg | 10 | | | | | | | | |
| 2736 | Trinitrotoluène | Hydrocarbures aromatiques | µg/kg | 20 | | | | | | | | |
| 2886 | Trioctyletian cation | Micropolluants organiques | µg/kg | 100 | | | | | | | | |
| 6372 | Triphényletrialetin cation | Pesticides | µg/kg | 10 | | | | | | | | |
| 1293 | Xyliène-méta | - | µg/kg | 2 | | | | | | | | |

Annexe 3

Comptes rendus des campagnes de prélèvements physico-chimiques et phytoplanctoniques

Relevé phytoplanctonique en plan d'eau v.3.3.1
DONNEES GENERALES PLAN D'EAU - STATION Septembre 2009

| | | | |
|-------------------------|---------------------------------|----------------|------------|
| Plan d'eau : | Retenue de CHAZILLY | Date : | 06/03/2017 |
| Nom station : | Point profond | Code station : | U1305003 |
| Organisme / opérateur : | GREBE / A. Olivetto - P. Prompt | Réf. dossier : | AERMC PE |

| LOCALISATION PLAN D'EAU | | | |
|---------------------------------|-------------------------------|--------------------------------|----------------------|
| Commune : | Chazilly (21) | | |
| Plan d'eau marnant : | oui | Superficie du bassin versant : | 973 km ² |
| HER : | HER1 : 10-Côtes calcaires Est | Superficie du plan d'eau : | 0,69 km ² |
| Profondeur maximale théorique : | 22,5 m | Profondeur moyenne : | m |
| Carte : | (extrait IGN 1/25 000 éme) | | |
| | | | |

| LOCALISATION STATION | | | |
|----------------------------------|----------------------|--------------|---------|
| Coordonnées du point : | relevées sur : | GPS | |
| Lambert 93 (système français) : | (en m) | X | Y |
| | | 821410 | 6677576 |
| WGS 84 (système international) : | données GPS (en dms) | Altitude (m) | |
| Profondeur : | 10,6 m | | |
| Photos du site : | | | |
| Remarques et observations : | | | |

Relevé phytoplanctonique en plan d'eau

v.3.3.2

DONNEES GENERALES CAMPAGNE

juin 2012

| | | | |
|-------------------------------|---------------------------------|----------------|------------|
| Plan d'eau : | Retenue de CHAZILLY | Date : | 06/03/2017 |
| Station ou n° d'échantillon : | Point profond | Code lac : | U1305003 |
| Organisme / opérateur : | GREBE / A. Olivetto - P. Prompt | Réf. dossier : | AERMC PE |

| STATION | | | | |
|--------------------------------|----------------------|--|--------------|-------------------------|
| Coordonnées de la station | relevées sur : | GPS | | |
| Lambert 93 (système français) | (en m) | X 821410 | Y 6677576 | Altitude (m) : 400,0 |
| WGS 84 (système international) | données GPS (en dms) | N | | Altitude (m) : |
| Profondeur (m) : | 10,6 | | | |
| Conditions d'observation : | Instensité du vent : | fort | | |
| | météo : | pluie fine | | |
| | Surface de l'eau : | agitée | | |
| | Hauteur des vagues: | 0,25 | | m |
| | Bloom algal : | non | | |
| Marnage : | oui | niveau des eaux par rapport à la végétation de ceinture (pour les plans d'eau marnant) : | 1,9 | m |
| Remarques : | | | | |

| PRELEVEMENTS | | | |
|---------------------------|---|---|---|
| Heure début de relevé : | 15:07 | Heure de fin de relevé : | 17:28 |
| Prélèvements réalisés : | <input checked="" type="checkbox"/> phytoplancton <input checked="" type="checkbox"/> chlorophylle <input checked="" type="checkbox"/> eau | Matériel employé : | <input type="checkbox"/> bouteille intégratrice <input checked="" type="checkbox"/> bouteille Van Dorn <input type="checkbox"/> tuyau |
| | <input type="checkbox"/> sédiment <input type="checkbox"/> macrophytes <input type="checkbox"/> oligochètes <input type="checkbox"/> autres, préciser : | Volume filtré pour la chlorophylle (ml) : | 550 |
| | | Volume de Lugol ajouté pour le phytoplancton (ml) : | 4 |
| Remarques, observations : | <p>Dépot des échantillons d'eau et de sédiments au TNT de Besançon (25) le 06/03/2017 à 18:15.</p> <p>Prélèvements de fond réalisés à la bouteille verticale type Van Dorn à 9,6 m.</p> <p>Prélèvements euphotiques pour analyse des macropolluants et micropolluants et échantillonnage phytoplancton réalisés à la bouteille verticale type Van Dorn tous les 0,5 m sur 2,9 m.</p> <p>Température de l'air : 6,2°C - Press. atmos. : 955 hpa.</p> | | |

Relevé phytoplanctonique en plan d'eau
DONNEES PHYSICO-CHIMIQUES

v.3.3.2
jun 2012

| | | | |
|-------------------------------|---------------------------------|----------------|------------|
| Plan d'eau : | Retenue de CHAZILLY | Date : | 06/03/2017 |
| Station ou n° d'échantillon : | Point profond | Code lac : | U1305003 |
| Organisme / opérateur : | GREBE / A. Olivetto - P. Prompt | Réf. dossier : | AERMC PE |

TRANSPARENCY

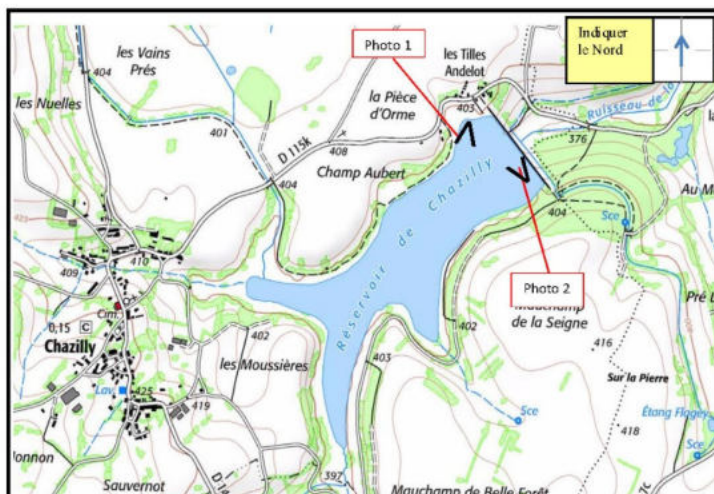
Secchi en m : 1,15 Zone euphotique (2,5 x Secchi) 2,9

PROFIL VERTICAL

Relevé phytoplanctonique en plan d'eau v.3.3.1
DONNEES GENERALES PLAN D'EAU - STATION

Septembre 2009

| | | | |
|-------------------------|----------------------------------|----------------|------------|
| Plan d'eau : | Retenue de CHAZILLY | Date : | 17/05/2017 |
| Nom station : | Point profond | Code station : | U1305003 |
| Organisme / opérateur : | GREBE / F. Bourgeot - S. Ponchon | Réf. dossier : | AERMC PE |

| | | | |
|---------------------------------------|---|--------------------------------|----------------------|
| LOCALISATION PLAN D'EAU | | | |
| Commune : | Chazilly (21) | | |
| Plan d'eau mariant : | oui | Superficie du bassin versant : | 973 km ² |
| HER : | HER1 : 10-Côtes calcaires Est | Superficie du plan d'eau : | 0,69 km ² |
| Profondeur maximale théorique : | 22,5 m | Profondeur moyenne : | m |
| Carte : (extrait IGN 1/25 000 ème) |  | | |

| | | | |
|---|--|--------|--------------|
| LOCALISATION STATION | | | |
| Coordonnées du point : | relevées sur : | GPS | |
| Lambert 93 (système français) : | (en m) | X | Y |
| | | 821410 | 6677576 |
| WGS 84 (système international) : | données GPS (en dms) | | Altitude (m) |
| Profondeur : | 11,6 m | | |
| Photos du site : (indiquer l'angle de prise de vue sur la carte) |  | | |
| Remarques et observations : | | | |

Relevé phytoplanctonique en plan d'eau

v.3.3.2
juin 2012

DONNEES GENERALES CAMPAGNE

| | | | |
|-------------------------------|----------------------------------|----------------|------------|
| Plan d'eau : | Retenue de CHAZILLY | Date : | 17/05/2017 |
| Station ou n° d'échantillon : | Point profond | Code lac : | U1305003 |
| Organisme / opérateur : | GREBE / F. Bourgeot - S. Ponchon | Réf. dossier : | AERMC PE |

| STATION | | | | |
|--------------------------------|----------------------|--|--------------|-------------------------|
| Coordonnées de la station | relevées sur : | GPS | | |
| Lambert 93 (système français) | (en m) | X 821410 | Y 6677576 | Altitude (m) : 400,0 |
| WGS 84 (système international) | données GPS (en dms) | N | | Altitude (m) : |
| Profondeur (m) : | 11,6 | | | |
| Conditions d'observation : | Instensité du vent : | moyen | | |
| | météo : | temps sec faiblement nuageux | | |
| | Surface de l'eau : | agitée | | |
| | Hauteur des vagues: | 0,1 | m | |
| | Bloom algal : | non | | |
| Marnage : | oui | niveau des eaux par rapport à la végétation de ceinture (pour les plans d'eau marnant) : | 1 | m |
| Remarques : | | | | |

| PRELEVEMENTS | | | |
|---------------------------|---|---|---|
| Heure début de relevé : | 15:30 | Heure de fin de relevé : | 17:30 |
| Prélèvements réalisés : | <input checked="" type="checkbox"/> phytoplancton <input checked="" type="checkbox"/> chlorophylle <input checked="" type="checkbox"/> eau <input type="checkbox"/> sédiment <input type="checkbox"/> macrophytes <input type="checkbox"/> oligochètes <input type="checkbox"/> autres, préciser : | Matériel employé : | <input type="checkbox"/> bouteille intégratrice <input checked="" type="checkbox"/> bouteille Van Dorn <input type="checkbox"/> Tuyau |
| | | Volume filtré pour la chlorophylle (ml) : | 1000 |
| Remarques, observations : | Dépôt des échantillons d'eau et de sédiments au TNT de Besançon (25) le 17/05/2017 à 19:00. Prélèvements de fond réalisés à la bouteille verticale type Van Dorn à 9,6 m. Prélèvements euphotiques pour analyse des macropolluants et micropolluants et échantillonnage phytoplancton réalisés à la bouteille verticale type Van Dorn tous les 0,5 m sur 2,9 m. Cote à l'échelle : 14,48 m Température de l'air : 26°C - Press. atmos. : 974 hpa. | | |

Relevé phytoplanctonique en plan d'eau
DONNEES PHYSICO-CHIMIQUES

v.3.3.2
jun 2012

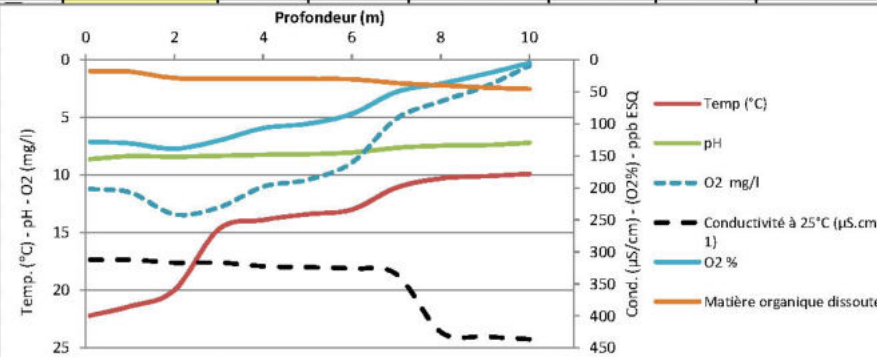
| | | | |
|-------------------------------|----------------------------------|----------------|------------|
| Plan d'eau : | Retenue de CHAZILLY | Date : | 17/05/2017 |
| Station ou n° d'échantillon : | Point profond | Code lac : | U1305003 |
| Organisme / opérateur : | GREBE / F. Bourgeot - S. Ponchon | Réf. dossier : | AERMC PE |

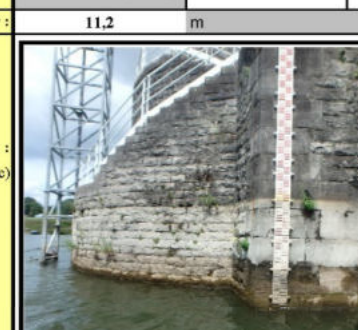
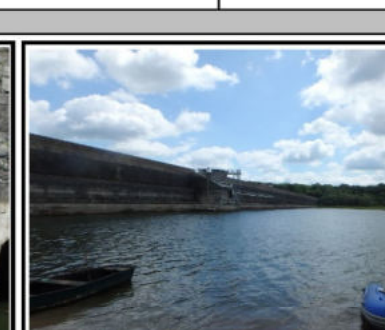
TRANSPARENCY

| | | | |
|---------------------|-----|--|-----|
| TRANSPARENCE | | | |
| Secchi en m : | 3,6 | Zone euphotique (2,5 x Secchi) en m : | 2,9 |

PROFIL VERTICAL

| Moyen utilisé : | mesures in-situ à chaque pr of. | | | | | | | |
|---|---------------------------------|-----------|-----|---|------------------|---------------------|--------------|-------|
| Echantillon phytoplancton ? | Pr of (m) | Temp (°C) | pH | Conductivité à 25°C ($\mu\text{S.cm}^{-1}$) | O ₂ % | O ₂ mg/l | MODF ppb QSE | Heure |
| <input checked="" type="checkbox"/> Echantillon phytoplancton ? | Intégré de 0 à .. | | | | | | | |
| | 2,9 | | | | | | | |
| <input type="checkbox"/> | 0,1 | 22,2 | 8,6 | 312,4 | 128,1 | 11,2 | 17,42 | |
| <input type="checkbox"/> | 1 | 21,4 | 8,4 | 312,3 | 130,6 | 11,5 | 18,60 | |
| <input type="checkbox"/> | 2 | 20,0 | 8,4 | 316,8 | 138,9 | 13,4 | 28,44 | |
| <input type="checkbox"/> | 3 | 14,7 | 8,3 | 316,6 | 126,1 | 12,8 | 29,71 | |
| <input type="checkbox"/> | 4 | 13,9 | 8,2 | 322,4 | 106,7 | 11,0 | 29,14 | |
| <input type="checkbox"/> | 5 | 13,4 | 8,2 | 323,9 | 100,0 | 10,4 | 29,75 | |
| <input type="checkbox"/> | 6 | 13,0 | 8,1 | 326,0 | 84,4 | 8,9 | 30,39 | |
| <input type="checkbox"/> | 7 | 11,1 | 7,6 | 334,8 | 50,2 | 5,1 | 36,30 | |
| <input type="checkbox"/> | 8 | 10,3 | 7,5 | 425,2 | 37,3 | 3,6 | 39,82 | |
| <input type="checkbox"/> | 9 | 10,1 | 7,4 | 432,1 | 22,1 | 2,3 | 43,28 | |
| <input type="checkbox"/> | 10 | 9,9 | 7,2 | 436,4 | 4,9 | 0,5 | 45,32 | |



| DONNEES GENERALES PLAN D'EAU - STATION | | | | | | | | | | | | | | | |
|---|--|--------------------------------|----------------------|----------------------|-----|--------------------------------|---------------------|-------|-------------------------------|----------------------------|----------------------|---------------------------------|--------|----------------------|---|
| Plan d'eau : | Retenue de CHAZILLY | Date : | 26/07/2017 | | | | | | | | | | | | |
| Nom station : | Point profond | Code station : | U1305003 | | | | | | | | | | | | |
| Organisme / opérateur : | GREBE / E. Michaut - A.Olivetto | Réf. dossier : | AERMC PE | | | | | | | | | | | | |
| LOCALISATION PLAN D'EAU | | | | | | | | | | | | | | | |
| <p>Commune : Chazilly (21)</p> <table border="1"> <tr> <td>Plan d'eau marnant :</td> <td>oui</td> <td>Superficie du bassin versant :</td> <td>973 km²</td> </tr> <tr> <td>HER :</td> <td>HER1 : 10-Côtes calcaires Est</td> <td>Superficie du plan d'eau :</td> <td>0,69 km²</td> </tr> <tr> <td>Profondeur maximale théorique :</td> <td>22,5 m</td> <td>Profondeur moyenne :</td> <td>m</td> </tr> </table> <p>Carte : (extrait IGN 1/25 000 ème)</p> | | | | Plan d'eau marnant : | oui | Superficie du bassin versant : | 973 km ² | HER : | HER1 : 10-Côtes calcaires Est | Superficie du plan d'eau : | 0,69 km ² | Profondeur maximale théorique : | 22,5 m | Profondeur moyenne : | m |
| Plan d'eau marnant : | oui | Superficie du bassin versant : | 973 km ² | | | | | | | | | | | | |
| HER : | HER1 : 10-Côtes calcaires Est | Superficie du plan d'eau : | 0,69 km ² | | | | | | | | | | | | |
| Profondeur maximale théorique : | 22,5 m | Profondeur moyenne : | m | | | | | | | | | | | | |
| LOCALISATION STATION | | | | | | | | | | | | | | | |
| Coordonnées du point : | relevées sur : | GPS | | | | | | | | | | | | | |
| Lambert 93 (système français) : | (en m) | X | Y | | | | | | | | | | | | |
| WGS 84 (système international) : | données GPS (en dms) | 821418 | 6677561 | | | | | | | | | | | | |
| Altitude | 400 | Altitude (m) | | | | | | | | | | | | | |
| Profondeur : | 11,2 | m | | | | | | | | | | | | | |
| Photos du site : (indiquer l'angle de prise de vue sur la carte) |   | | | | | | | | | | | | | | |
| Remarques et observations : | | | | | | | | | | | | | | | |

Relevé phytoplanctonique en plan d'eau

v.3.3.2
juin 2012

DONNEES GENERALES CAMPAGNE

| | | | |
|-------------------------------|---------------------------------|----------------|------------|
| Plan d'eau : | Retenue de CHAZILLY | Date : | 26/07/2017 |
| Station ou n° d'échantillon : | Point profond | Code lac : | U1305003 |
| Organisme / opérateur : | GREBE / E. Michaut - A.Olivetto | Réf. dossier : | AERMC PE |

| STATION | | | | |
|--------------------------------|----------------------|--|--------------|-------------------------|
| Coordonnées de la station | relevées sur : | GPS | | |
| Lambert 93 (système français) | (en m) | X 821418 | Y 6677561 | Altitude (m) : 400,0 |
| WGS 84 (système international) | données GPS (en dms) | N | | Altitude (m) : |
| Profondeur (m) : | 11,2 | | | |
| Conditions d'observation : | Instensité du vent : | faible | | |
| | météo : | temps sec faiblement nuageux | | |
| | Surface de l'eau : | faiblement agitée | | |
| | Hauteur des vagues: | 0,1 | | m |
| | Bloom algal : | non | | |
| Marnage : | oui | niveau des eaux par rapport à la végétation de ceinture (pour les plans d'eau marnant) : | 1,6 | m |
| Remarques : | | | | |

| PRELEVEMENTS | | | |
|---------------------------|--|---|-------------------------------|
| Heure début de relevé : | 15:30 | Heure de fin de relevé : | 17:30 |
| Prélèvements réalisés : | <input checked="" type="checkbox"/> phytoplancton <input checked="" type="checkbox"/> chlorophylle <input checked="" type="checkbox"/> eau <input type="checkbox"/> sédiment <input type="checkbox"/> macrophytes <input type="checkbox"/> oligochètes <input type="checkbox"/> autres, préciser : | Matériel employé : <input type="checkbox"/> bouteille intégratrice <input checked="" type="checkbox"/> bouteille Van Dorn <input type="checkbox"/> Tuyau Volume filtré pour la chlorophylle (ml) : Volume de Lugol ajouté pour le phytoplancton (ml) : | 1000 4 |
| Remarques, observations : | Dépôt des échantillons d'eau et de sédiments au TNT de Dijon (21) le 26/07/2017 à 16:30. Prélèvements de fond réalisés à la bouteille verticale type Van Dorn à 10,2 m. Prélèvements euphotiques pour analyse des macropolluants et micropolluants et échantillonnage phytoplancton réalisés à la bouteille verticale type Van Dorn tous les 0,5 m sur 4,5 m. Cote à l'échelle : 13,9 m / Cote NGF : 394,56 m Température de l'air : 20°C / Press. atmos. : 964 hpa. | | |

Relevé phytoplanctonique en plan d'eau

DONNEES PHYSICO-CHIMIQUES

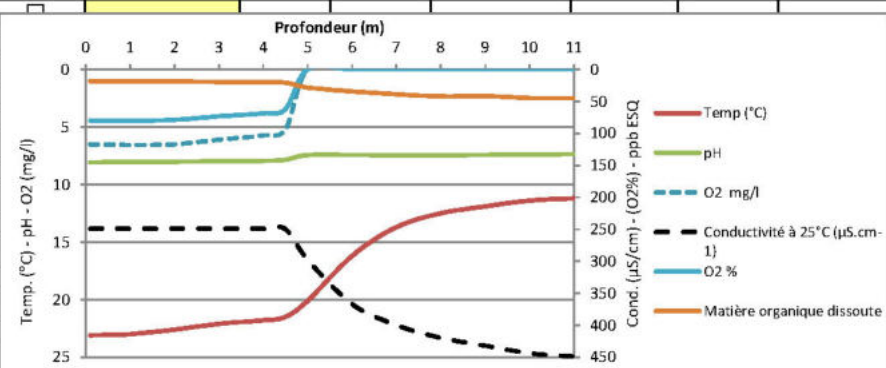
v.3.3.2
juin 2012

| | | | |
|-------------------------------|---------------------------------|----------------|------------|
| Plan d'eau : | Retenue de CHAZILLY | Date : | 26/07/2017 |
| Station ou n° d'échantillon : | Point profond | Code lac : | U1305003 |
| Organisme / opérateur : | GREBE / E. Michaut - A.Olivetto | Réf. dossier : | AERMC PE |

TRANSPARENCY

| | | | |
|---------------|-----|--|-----|
| Secchi en m : | 1,8 | Zone euphotique (2,5 x Secchi) en m : | 4,5 |
|---------------|-----|--|-----|

PROFIL VERTICAL



Relevé phytoplanctonique en plan d'eau

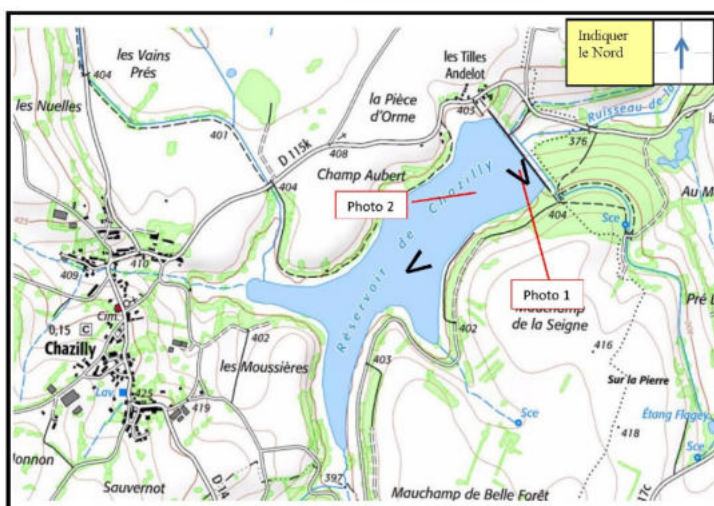
v.3.3.1

DONNEES GENERALES PLAN D'EAU - STATION

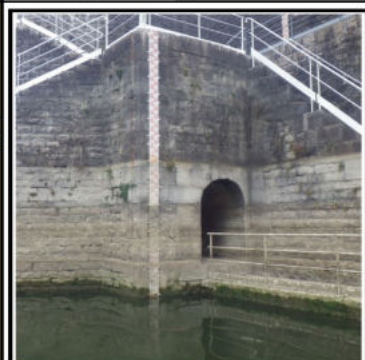
Septembre 2009

| | | | |
|-------------------------|---------------------------------|----------------|------------|
| Plan d'eau : | Retenue de CHAZILLY | Date : | 25/09/2017 |
| Nom station : | Point profond | Code station : | U1305003 |
| Organisme / opérateur : | GREBE / F. Bourgeot - C. Louche | Réf. dossier : | AERMC PE |

LOCALISATION PLAN D'EAU

| | | | |
|---------------------------------------|-------------------------------|--------------------------------|---|
| Commune : | Chazilly (21) | | |
| Plan d'eau marnant : | oui | Superficie du bassin versant : | 973 km ² |
| HERI : | HERI : 10-Côtes calcaires Est | Superficie du plan d'eau : | 0,69 km ² |
| Profondeur maximale théorique : | 22,5 m | Profondeur moyenne : | m |
| Carte : (extrait IGN 1/25 000 ème) | | |  |

LOCALISATION STATION

| Coordonnées du point : | relevées sur : | GPS | | |
|---|----------------------|--|---|--------------|
| | | (en m) | X | Y |
| Lambert 93 (système français) : | | | 821420 | 6677558 |
| WGS 84 (système international) : | données GPS (en dms) | | | Altitude (m) |
| Profondeur : | 9,8 m | | | |
| Photos du site : (indiquer l'angle de prise de vue sur la carte) | |  |  | |
| Remarques et observations : | | | | |

Relevé phytoplanctonique en plan d'eau

v.3.3.2

DONNEES GENERALES CAMPAGNE

juin 2012

| | | | |
|-------------------------------|---------------------------------|----------------|------------|
| Plan d'eau : | Retenue de CHAZILLY | Date : | 25/09/2017 |
| Station ou n° d'échantillon : | Point profond | Code lac : | U1305003 |
| Organisme / opérateur : | GREBE / F. Bourgeot - C. Louche | Réf. dossier : | AERMC PE |

| STATION | | | | |
|--------------------------------|----------------------|--|--------------|-------------------------|
| Coordonnées de la station | relevées sur : | GPS | | |
| Lambert 93 (système français) | (en m) | X 821420 | Y 6677558 | Altitude (m) : 400,0 |
| WGS 84 (système international) | données GPS (en dms) | N | | Altitude (m) : |
| Profondeur (m) : | 9,75 | | | |
| Conditions d'observation : | Instensité du vent : | nul | | |
| | météo : | temps sec fortement nuageux | | |
| | Surface de l'eau : | lisse | | |
| | Hauteur des vagues: | 0,00 m | | |
| | Bloom algal : | oui | | |
| Marnage : | oui | niveau des eaux par rapport à la végétation de ceinture (pour les plans d'eau marnant) : | 3 | m |
| Remarques : | | | | |

| PRELEVEMENTS | | | |
|---------------------------|---|---|---|
| Heure début de relevé : | 9:55 | Heure de fin de relevé : | 15:00 |
| Prélèvements réalisés : | <input checked="" type="checkbox"/> phytoplancton <input checked="" type="checkbox"/> chlorophylle <input checked="" type="checkbox"/> eau | Matériel employé : | <input type="checkbox"/> bouteille intégratrice <input checked="" type="checkbox"/> bouteille Van Dorn <input type="checkbox"/> tuyau |
| | <input checked="" type="checkbox"/> sédiment <input type="checkbox"/> macrophytes <input type="checkbox"/> oligochètes <input type="checkbox"/> autres, préciser : | Volume filtré pour la chlorophylle (ml) : | 650 |
| | | Volume de Lugol ajouté pour le phytoplancton (ml) : | 4 |
| Remarques, observations : | Dépôt des échantillons d'eau au laboratoire Carso (69) le 26/09/2017 à 11:20. Dépôt des échantillons d'eau au laboratoire LDA 26 le 26/09/2017 à 12:30. Prélèvements de fond réalisés à la bouteille verticale type Van Dorn à 8,5 m. 20 bouteilles soit 24 litres. Prélèvements euphotiques pour analyse des macropolluants et micropolluants et échantillonnage phytoplancton réalisés à la bouteille verticale type Van Dorn tous les 0,5 m sur 2,5 m. 20 bouteilles soit 24 litres. Cote à l'échelle : 12,45 m - Cote NGF : 393,11 m Température de l'air : 18,8°C - Press. atmos. : 970 hPa | | |

Relevé phytoplanctonique en plan d'eau

DONNEES PHYSICO-CHIMIQUES

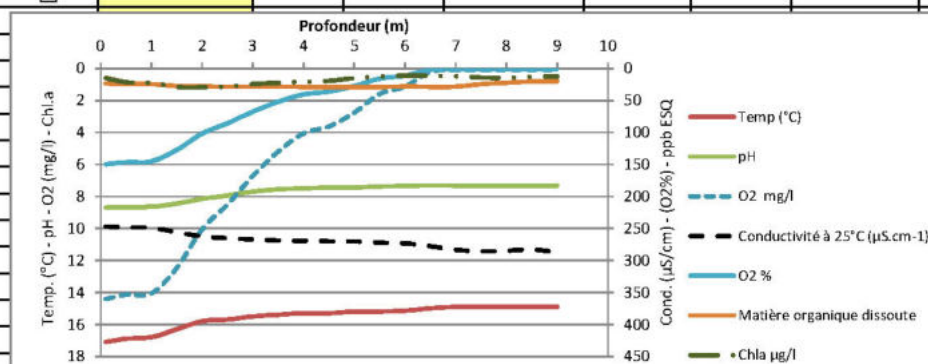
v.3.3.2
jun 2012

| | | | |
|-------------------------------|---------------------------------|----------------|------------|
| Plan d'eau : | Retenue de CHAZILLY | Date : | 25/09/2017 |
| Station ou n° d'échantillon : | Point profond | Code lac : | U1305003 |
| Organisme / opérateur : | GREBE / F. Bourgeot - C. Louche | Réf. dossier : | AERMC PE |

TRANSPARENCY

| | | | |
|---------------|------|--|-----|
| Secchi en m : | 0,96 | Zone euphotique (2,5 x Secchi) en m : | 2,4 |
|---------------|------|--|-----|

PROFIL VERTICAL



PE RMC lot 1 - PRELEVEMENTS DE SEDIMENTS 2016

| PLAN D'EAU : | Nom : Code : | Retenue de CHAZILLY U1305003 | Retenue de PANTHEER U1306043 | Lac des ROLISSES V2405043 | Gravière de VIVRE VESOUL U0635003 |
|--|-----------------|---|---|---|---|
| Date: | | 25/09/2017 | 25/09/2017 | 18/09/2017 | 19/09/2017 |
| Appareil de prélèvement : | | Carottier <input checked="" type="checkbox"/> Benne Ekman <input type="checkbox"/> |
| Point de prélèvement : | | Point profond | Point profond | Point profond | Point profond |
| Coordonnées GPS (Lambert 93 en m) : | | x= 821420 y= 6677668 9,75 | x= 823529 y= 6683090 4,6 | x= 837166 y= 660328 20 | x= 833772 y= 6730687 1,9 |
| Profondeur (m) : | | | | | |
| Aspect et nature des sédiments (couleur, odeur, texture (sableuse, fine), charge en débris organiques)... | | Limons fins gris foncé | Argilo-limoneux gris-noir, plus noir et organiques en surface | Limoneux-tourbeux bruns | Argilo-limoneux brun-gris |



| PLAN D'EAU : | Nom : Code : | Retenue de VILLEGIEN U0905003 | Retenue de VOUGLANS V23-4003 | - | - |
|--|-----------------|---|---|---|---|
| Date: | | 19/09/2017 | 14/09/2017 | | |
| Appareil de prélèvement : | | Carottier <input checked="" type="checkbox"/> Benne Ekman <input type="checkbox"/> |
| Point de prélèvement : | | Point profond | Point profond | | |
| Coordonnées GPS (Lambert 93 en m) : | | x= 874736 y= 6740458 6 | x= 905392 y= 6593430 86,4 | x= | x= |
| Profondeur (m) : | | | | y= | y= |
| Aspect et nature des sédiments (couleur, odeur, texture (sableuse, fine), charge en débris organiques)... | | Limono-argileux gris-brun | Limons argileux brun-gris | | |



Annexe 4

Rapport d'analyse phytoplancton

Rapport d'analyse Phytoplancton

définitif

provisoire

Édité le : 30/03/2018

Page 1/5

Agence de l'Eau Rhône-Méditerranée Corse
A l'attention de Mr Loïc IMBERT
2-4 allée de Lodz
69363 Lyon cedex 07

RAPPORT n° : PHYTO 03/03.2017

Dossier : **Surveillance de la qualité des plans d'eau du nord du bassin Rhône Méditerranée**
Lot n°1

Station : U1305003 Chazilly

Prélèvements : Effectués par le GREBE (A. Olivetto, P. Prompt, F. Bourgeot, S. Ponchon, E. Michaut, C. Louche)
 Dates : 06/03/18, 17/05/18, 26/07/18, 25/09/17

Déterminations réalisées par : Jeanne Rigaut

Objet soumis à l'analyse : phytoplancton

Résultats : Inventaires réalisés sous Phytobs version 2.3

| Paramètre | Unité | Méthode | Accrédité |
|---|-------|---|-----------|
| Prélèvement (s) Phytoplancton | - | Protocole standardisé grand cours d'eau, Irstea, V2, déc.2010 | |
| Analyse (s) Phytoplancton (liste (s) floristique (s)) | - | Utermöhl NF EN 15204 | ✓ |
| Commentaire (s) | - | - | |

Le rapport établi ne concerne que les échantillons soumis à l'essai.

La reproduction de ce rapport d'analyse n'est autorisée que sous sa forme intégrale.

Un rapport provisoire n'est pas signé et seul l'exemplaire définitif signé a une valeur contractuelle.

Le présent rapport d'essai peut être diffusé sous forme papier ou par transfert électronique de données.

Il est conforme aux exigences de la norme NF EN ISO/CEI 17025.

Les analyses phytoplancton ont été réalisées au laboratoire à l'adresse suivante : 21 rue Sébastien Gryphe à Lyon 69007.

Signataire des rapports d'analyse Phytoplancton




GROUPE DE RECHERCHE ET D'ETUDE BIOLOGIE ET ENVIRONNEMENT
SIEGE SOCIAL : 23 RUE SAINT MICHEL - F 69007 LYON - France - TEL : 04 72 71 03 79 - FAX : 04 72 72 06 12
SARL AU CAPITAL DE 100.000 € - RCS LYON B 329 391 965 - SIRET 329 391 965 00039 - CODE APE 731Z

ENR.78 - version 8 - Date d'application : 14/03/18 - Page 1/1

Liste floristique

1^{ère} campagne : 06/03/2017

| Nom taxon | Code taxon | Classe | Code Sandre | Cf. compté | Type | Nombre | Biovolume | Nombre |
|--|------------|---------------------|-------------|------------|--------|--------------------|-------------|--------|
| | | | | | compté | mm ³ /l | cellules/ml | |
| Achnanthidium | ACDSPX | BACILLARIOPHYCEAE | 9356 | Cel. | 1 | 0,00209 | 22,21 | |
| Ankyra judayi | ANVIUD | CHLOROPHYCEAE | 5596 | Cel. | 10 | 0,02332 | 222,11 | |
| Aulacoseira | AULSPX | COSCINODISCOPHYCEAE | 9476 | Cel. | | | | |
| Chlamydomonas <10µm | NEW130 | CHLOROPHYCEAE | 6016 | Cel. | 5 | 0,02554 | 111,05 | |
| Chrysococcus | CHSSPX | CHRYOSOPHYCEAE | 9570 | Cel. | 15 | 0,02832 | 333,16 | |
| Cryptomonas | CRSPX | CRYPTOPHYCEAE | 6260 | Cel. | 58 | 0,28275 | 1288,23 | |
| Cryptomonas marinorum | CRYMAR | CRYPTOPHYCEAE | 6271 | Cel. | 6 | 0,1992 | 133,27 | |
| Didymosphaera dubius | CYS1_3 | MICROCYTAT | 8399 | Cel. | 95 | 1,04447 | 7'10,04 | |
| Diluromies pennatus indéterminées 30-100µm | NDP7N | BACILLARIOCYTAT | 6398 | Cel. | 82 | 1,01062 | 1802,35 | |
| Dichotomococcus curvatus | DHCOL | TREBOUXIOPHYCEAE | 6231 | Cel. | 11 | 0,01697 | 241,32 | |
| Dictyosphaerium (environ 2µm) | NEW062 | TREBOUXIOPHYCEAE | 5615 | Cel. | 6 | 0,00653 | 133,27 | |
| Didymosphaera fina | DIOTIN | TREBOUXIOPHYCTAT | 9191 | Cel. | 6 | 0,00107 | 133,27 | |
| Didymosphaera planaria mitia | DIPIA | TREBOUXIOPHYCTAT | 7566R | Cel. | | | | |
| Fucus ulrichii gelatinosa | FAUG | KILOFORMICOPHYCTAT | 5664 | Cel. | 2 | 0,00448 | 44,47 | |
| Fugleria | FUGSPX | FUGLERIOPHYCTAT | 6479 | Cel. | | | | |
| Gemmemes truncata | NEW119 | CRYPTOPHYCEAE | 5516 | Cf. Cel. | 40 | 0,18301 | 888,41 | |
| Gymnodinium | GYMSPK | SYNOXYPHAE | 4925 | Cel. | | | | |
| Gyrosigma | GYRSPX | BACILLARIOPHYCEAE | 9410 | Cel. | | | | |
| Kephyrion rubri-clausari | KEPRU3 | CHRYSOPHYCEAE | 6152 | Cf. Cel. | 1 | 0,00551 | 88,81 | |
| Mallomonas kuckenthalis | MALAKR | SYNOXYPHAE | 6211 | Cf. Cel. | | | | |
| Merismopedia tenuissima | VERTEN | CYANOPHYCEAE | 6330 | Cel. | 1 | 0,00009 | 88,81 | |
| Monoraphidium arcuatum | MONARC | CHLOROPHYCEAE | 5729 | Cel. | 2 | 0,00151 | 14,12 | |
| Monoraphidium contortum | VONCON | CHLOROPHYCEAE | 5731 | Cel. | 51 | 0,13553 | 1'99,39 | |
| Monoraphidium minutum | MONMIN | CHLOROPHYCEAE | 5736 | Cel. | 1 | 0,00207 | 22,21 | |
| Navicula | NAVSTK | BACILLARIOPHYCEAE | 9130 | Cel. | | | | |
| Nitzschia acicularis | NIZACI | BACILLARIOPHYCEAE | 8809 | Cf. Cel. | 209 | 1,31657 | 4508,82 | |
| Nitzschia supralitorea | NIZSUP | BACILLARIOPHYCEAE | 9019 | Cel. | 9 | 0,01819 | 199,90 | |
| Phaeotus lenticularis | P-LTEN | CHLOROPHYCEAE | 6048 | Cel. | 1 | 0,00911 | 22,21 | |
| Plagioselmis nanoplankton | P.GNAK | CRYPTOPHYCTAT | 9634 | Cel. | 161 | 0,75037 | 3575,96 | |
| Pseudanabaena califormis | PSFCAT | CYANOPHYCTAT | 6456 | Cel. | | | | |
| Schmidliastrum minulum | SMYLN | MICROCYTAT | 8251 | Cel. | 15 | 0,29905 | 333,16 | |
| Sidixxxxx <4 µm largement | SIDXXXX | CHLOROPHYCTAT | 6001 | Cel. | 1 | 0,00009 | 22,21 | |
| Surirella | SURSPX | BACILLARIOPHYCTAT | 9469 | Cel. | 1 | 0,00307 | 22,21 | |
| Tauvelinaea hispida | TRA HIS | FUGLERIOPHYCTAT | 6531 | Cel. | 1 | 0,00067 | 22,21 | |

Liste floristique2^{ème} campagne : 17/05/2017

| Nom taxon | Code taxon | Classe | Code Sandre | Cf. | Type compté | Nombre compté | Biovolume mm ³ /l | Nombre cellules/ml |
|---|------------|---------------------|-------------|------|-------------|---------------|------------------------------|--------------------|
| Achnanthidium | ACDSPX | BACILLARIOPHYCEAE | 9356 | Cel. | 15 | 0,00262 | 27,85 | |
| Ankyra judayi | ANYJUD | CHLOROPHYCEAE | 5596 | Cel. | 147 | 0,02865 | 272,89 | |
| Chlamydomonas <10µm | NEW130 | CHLOROPHYCEAE | 6016 | Cel. | 5 | 0,00213 | 9,28 | |
| Chlorophycées flagellées indéterminées diam | INDFL2 | CHLOROPHYCEAE | 3332 | Cel. | 14 | 0,00109 | 25,99 | |
| Coelastrum microporum | COEMIC | CHLOROPHYCEAE | 5610 | Cel. | 90 | 0,03124 | 167,08 | |
| Coenochloris fottii | COOFOT | CHLOROPHYCEAE | 5618 | Cel. | 121 | 0,04021 | 224,62 | |
| Cryptomonas | CRYSPX | CRYPTOPHYCEAE | 6269 | Cel. | 89 | 0,29277 | 165,22 | |
| Cryptomonas marssonii | CRYVAR | CRYPTOPHYCEAE | 6273 | Cel. | 20 | 0,04455 | 37,13 | |
| D'atomées centriques indéterminées <10µm | INDCE3 | COSCINODISOPHYCEAE | 6398 | Cel. | 3 | 0,00051 | 5,57 | |
| D'atomées centriques indéterminées >10µm | NEW045 | COSCINODISOPHYCEAE | 12334 | Cel. | 16 | 0,02730 | 29,70 | |
| D'atomées périmées incertaines 30-100µm | IVDPEV | BACILLARIOPHYCEAE | 6398 | Cel. | 4 | 0,00388 | 7,43 | |
| Dicyosphaerium olichellum | DICPUL | TREBOUXIOPHYCEAE | 5648 | Cel. | 49 | 0,01310 | 90,96 | |
| Elatostethix goettschiae | ELAGEL | KLEBSORMIDIOPHYCEAE | 5664 | Cel. | 4 | 0,00142 | 7,43 | |
| Encyonema | ENCSPX | BACILLARIOPHYCEAE | 9378 | Cel. | | | | |
| Gymnodinium | GYMSPX | DINOPHYCEAE | 4923 | Cel. | 1 | 0,00241 | 1,86 | |
| Kochyliota | KEPSPX | CHRYSTOPHYCEAE | 6130 | Cel. | 1 | 0,00012 | 1,86 | |
| Kochyliotopsisatsumatum | KEPPET | CHRYSTOPHYCEAE | 20174 | Cel. | 1 | 0,00028 | 1,86 | |
| Kochyliotisrubricastri | KEPRUB | CHRYSTOPHYCEAE | 6152 | Cel. | 2 | 0,00023 | 3,71 | |
| Mallomonas | MALSPX | SYNUROPHYCEAE | 6209 | Cel. | 5 | 0,02480 | 9,28 | |
| Docystis | DOCSPX | TREBOUXIOPHYCEAE | 5732 | Cel. | 11 | 0,00490 | 20,42 | |
| Docystis bargaei | OOCBOR | TREBOUXIOPHYCEAE | 5733 | Cel. | 2 | 0,00297 | 3,71 | |
| Docystis parva | OOCPAR | TREBOUXIOPHYCEAE | 5738 | Cel. | 247 | 0,02888 | 458,53 | |
| Pociliopeltis boryanum | PEDBOR | CHLOROPHYCEAE | 5769 | Cel. | | | | |
| Poticinum conningtoni | PERCUN | DINOPHYCEAE | 25630 | Cel. | | | | |
| Phacotus enticuaris | PHLEN | CHLOROPHYCEAE | 0048 | Cel. | 2 | 0,00152 | 3,71 | |
| Phagocystis narrhopis antarctica | PLGNAY | CRYPTOPHYCEAE | 9634 | Cel. | 92 | 0,01196 | 170,79 | |
| Scenedesmus arctatus | SCEARC | CHLOROPHYCEAE | 5807 | Cel. | 373 | 0,21450 | 692,44 | |
| Tetraselmis cordiformis | TESCOR | CHLORODENDROPHYCEAE | 5881 | Cel. | | | | |
| Trachomonas | TRASPK | EUGLENOPHYCEAE | 6227 | Cel. | | | | |
| Trichomonas envir. 12µm | NEW153 | TREBOUXIOPHYCEAE | 34956 | Cel. | 9 | 0,01607 | 16,71 | |

Liste floristique3^{ème} campagne : 26/07/2017

| Nom taxon | Code taxon | Classe | Code Sandre | Cf. | Type compté | Nombre compté | Biovolume mm ³ /l | Nombre cellules/ml |
|--------------------------------------|------------|----------------------|-------------|------|-------------|---------------|------------------------------|--------------------|
| Acanthoceras zachariasi | ACNZAC | MEDIOPHYCEAE | 10788 | Cel. | 1 | 0,00130 | 3,71 | |
| Achnanthidium minutissimum | ACDMIN | BACILLARIOPHYCEAE | 7076 | Cel. | 1 | 0,00020 | 3,71 | |
| Ankyra judayi | ANYJUD | CHLOROPHYCEAE | 5596 | Cel. | | | | |
| Aphanocapsa delicatissima | APADEL | CYANOPHYCEAE | 6308 | Cel. | 1490 | 0,00553 | 5532,07 | |
| Aphanothecia clathrata | APOCLA | CYANOPHYCEAE | 6349 | Cel. | 1530 | 0,01136 | 5680,58 | |
| Ceratium | CERSPX | DINOPHYCEAE | 4949 | Cel. | 15 | 0,01955 | 0,60 | |
| Chlorophycées unicellulaires < 5µm | NEW165 | CHLOROPHYCEAE | 1115 | Cel. | 15 | 0,00045 | 55,69 | |
| Chlorophycées unicellulaires 5-10 µm | NEW159 | CHLOROPHYCEAE | 1115 | Cel. | 6 | 0,00492 | 22,28 | |
| Chrysophycées | CHSSPX | CHRYSOPIHYCEAE | 9370 | Cel. | 4 | 0,00126 | 14,85 | |
| Chrysophycées hétérotinées | IVDCH-R | CHRYSOPIHYCEAE | 1160 | Cel. | 142 | 0,03336 | 527,22 | |
| Chrysophycées hétérotinées | IVDCH-R | CHRYSOPIHYCEAE | 1160 | Cel. | 142 | 0,03336 | 527,22 | |
| Coccinales cug notata | COCEUL | BACILLARIOPHYCEAE | 11783 | Cel. | 1 | 0,00378 | 3,71 | |
| Coclastrum microsporum | COEMIC | CHLOROPHYCEAE | 5610 | Cel. | 20 | 0,01388 | 74,26 | |
| Cocnotilorus fottii | COOFOT | CHLOROPHYCEAE | 5618 | Cel. | 44 | 0,02924 | 103,36 | |
| Cryptomonas | CRYSPX | CRYPTOPHYCEAE | 6269 | Cel. | 17 | 0,11184 | 68,12 | |
| Cycloctochaetes diplus | CYSDUB | YEDIOPHYCEAE | 8399 | Cel. | 170 | 0,31248 | 631,18 | |
| Dasmodes us acu coatus | NEW164 | CHLOROPHYCEAE | 37333 | Cel. | | | | |
| Dasmodes us bicalatus | NEW163 | CHLOROPHYCEAE | 37331 | Cel. | 4 | 0,00140 | 14,85 | |
| Dasmodes us communis | DEDCOMI | CHLOROPHYCEAE | 31933 | Cel. | 8 | 0,01081 | 29,70 | |
| Dictyosphaerium (environ 2µm) | NEW062 | TREBOUXIOPHYCEAE | 5643 | Cel. | 30 | 0,00043 | 111,38 | |
| Elavothrix grisea | ELAGEL | KLEBSORMIDIOPHYCEAE | 5664 | Cel. | 3 | 0,00213 | 11,14 | |
| Erynia subaccuata | ERKSUB | COCCULITHOPHYCEAE | 6149 | Cel. | 14 | 0,00234 | 51,98 | |
| Fragilaria gracilis | FRAGRA | FRAGILARIOPHYCEAE | 6579 | Cel. | 4 | 0,00137 | 14,85 | |
| Goniobryopsis mutica | GOCVIUT | XANTHOPHYCEAE | 6237 | Cel. | 1 | 0,00089 | 3,71 | |
| Goniomonas truncata | NFW149 | CRYPTOPHYCEAF | 35416 | Cf. | 8 | 0,00615 | 29,70 | |
| Keaphyton rubricastum | KRIRUB | CHRYSDOPHYCEAF | 6142 | Cel. | 1 | 0,00023 | 3,71 | |
| Monoraphidium arcuatum | MONARC | CHLOROPHYCEAF | 5725 | Cel. | 1 | 0,00013 | 3,71 | |
| Monoraphidium muticum | MONVIN | CHLOROPHYCEAF | 5746 | Cel. | 30 | 0,01046 | 111,38 | |
| Neurocolella | NFSPX | XANTHOPHYCEAF | 9613 | Cel. | 19 | 0,00677 | 70,54 | |
| Nitzschia anomala | NIAMP | BACILLARIOPHYCEAF | 9466 | Cel. | 4 | 0,00260 | 14,85 | |
| Oncystis parva | OOCPAR | TRICHODIUXIDOPHYCEAF | 5748 | Cel. | 14 | 0,00427 | 51,98 | |
| Pocillastylum duplex | PEDDUP | CHLOROPHYCEAE | 5772 | Cel. | 112 | 0,33688 | 415,88 | |
| Pocillastylum tetras | PEDTET | CHLOROPHYCEAE | 5780 | Cel. | 4 | 0,00320 | 14,85 | |
| Periclimenium cunningtonii | PERCUN | DINOPHYCEAE | 23630 | Cel. | 15 | 0,43484 | 55,09 | |
| Phaeotus antennarius | PHLLEN | CHLOROPHYCEAE | 6048 | Cel. | 1 | 0,00152 | 3,71 | |
| Phagiosira nanoparticula | PLGNAN | CRYPTOPHYCEAE | 9534 | Cel. | 28 | 0,00728 | 103,95 | |
| Stephanodiscus microtus | STEMIN | YEDIOPHYCEAE | 8733 | Cel. | 8 | 0,02573 | 29,70 | |
| Stephanodiscus vestitus | NEW123 | COSCIODISCPHYCEAE | 18724 | Cel. | 4 | 0,00163 | 14,85 | |
| Suriella | SURSPX | BACILLARIOPHYCEAE | 9468 | Cel. | 1 | 0,01388 | 3,71 | |
| Tetradon minimum | TEAVIN | CHLOROPHYCEAE | 5888 | Cel. | 1 | 0,00130 | 3,71 | |
| Trachomonas | TRASPX | EUGLENOPHYCEAE | 6327 | Cel. | 6 | 0,03373 | 22,28 | |
| Trachomonas hispida | TRAHIS | EUGLENOPHYCEAE | 6331 | Cel. | 2 | 0,02587 | 7,43 | |
| Trebouxia confragosa | NEW153 | TREBOUXIOPHYCEAE | 34936 | Cel. | 2 | 0,00714 | 7,43 | |
| Umania | ULNSPX | FRAGILARIOPHYCEAE | 9349 | Cel. | 1 | 0,01734 | 3,71 | |
| Umania acus | ULVACU | FRAGILARIOPHYCEAE | 32078 | Cel. | 1 | 0,00208 | 3,71 | |

Liste floristique4^{eme} campagne : 25/09/2017

| Nom taxon | Code taxon | Classe | Code Sandre | Cf. | Type compté | Nombre compté | Biovolume mm ³ /l | Nombre cellules/ml |
|--|------------|---------------------|-------------|------|-------------|---------------|------------------------------|--------------------|
| Anabaena flos-aquae | ANAFLO | CYANOPHYCEAE | 6282 | Cel. | 39 | 0,06039 | 575,17 | |
| Anabaena planctonica | ANAPLA | CYANOPHYCEAE | 9666 | Cel. | | | | |
| Anabaena viguieri | ANAVIG | CYANOPHYCEAE | 31797 | Cel. | 42 | 0,10220 | 619,42 | |
| Ankyra judayi | ANYJUD | CHLOROPHYCEAE | 5596 | Cel. | 4 | 0,00619 | 58,99 | |
| Aphanizomenon issatschenkoi | APHISS | CYANOPHYCEAE | 9668 | Cel. | | | | |
| Aphanizomenon yezoense | APHYEZ | CYANOPHYCEAE | 31897 | Cel. | 177 | 0,13705 | 2610,41 | |
| Aphanocapsa delicatissima | APADEL | CYANOPHYCEAE | 6308 | Cel. | 150 | 0,00221 | 2212,21 | |
| Astrocolea formosa | ASTFOR | FRAGILARIOPHYCEAE | 4860 | Cel. | 83 | 0,32398 | 1233,58 | |
| Chrysococcus | CHSSPX | CHRYSOPIHYCEAE | 9370 | Cel. | 5 | 0,00527 | 73,74 | |
| Chrysophyces nocturne-inées | INDCH-R | CHRYSOPIHYCEAE | 1160 | Cel. | 1 | 0,00135 | 14,75 | |
| Chrysophyces nocturne-inées | IVDCH-R | CHRYSOPIHYCEAE | 1160 | Cel. | 1 | 0,00135 | 14,75 | |
| Cocconeis microscopum | COEMIC | CHLOROPHYCEAE | 5610 | Cel. | 8 | 0,02206 | 117,98 | |
| Cucigorgia tetraedra | CRUTET | CHLOROPHYCEAE | 5633 | Cel. | 9 | 0,01792 | 132,73 | |
| Cucigorgia laevisculata | CRCAPI | TREBOUXIOPHYCEAE | 5633 | Cel. | 49 | 0,03341 | 722,03 | |
| Cryptomonas | CRYSPX | CRYPTOPHYCEAE | 6269 | Cel. | 157 | 4,10297 | 2315,44 | |
| Cryptomonas arrossii | CRYVAR | CRYPTOPHYCEAE | 6273 | Cel. | 10 | 0,17638 | 147,46 | |
| Dosmodium bicaudatum | NEW1G3 | CHLOROPHYCEAE | 37331 | Cel. | 30 | 0,04159 | 442,44 | |
| Dosmodium communis | DEDCOM | CHLOROPHYCEAE | 31933 | Cel. | 17 | 0,09126 | 250,72 | |
| Dosmodium granatum | DEDGRL | CHLOROPHYCEAE | 31937 | Cel. | 2 | 0,00133 | 29,50 | |
| Dosmodium subsociatum | DEDSUB | CHLOROPHYCEAE | 31930 | Cel. | | | | |
| D'atomiques centriques (5 µm) | NEW011 | COSCINODISOPHYCEAE | 12334 | Cel. | 9 | 0,00889 | 132,73 | |
| D'atomiques centriques indéterm-inées <10 µm | INDCE3 | COSCINODISOPHYCEAE | 6298 | Cel. | 17 | 0,02758 | 250,72 | |
| D'atomiques centriques indéterm-inées >10 µm | NHW145 | COSCINODISOPHYCEAF | 12334 | Cel. | 5 | 11,06777 | 73,74 | |
| Dichosphaera pulchella | DIOPUL | TREBOUXIOPHYCEAF | 5648 | Cel. | 74 | 11,15716 | 1091,36 | |
| Didymosystis planaria | IDIPLA | TREBOUXIOPHYCEAF | 25668 | Cel. | 2 | 11,00274 | 29,50 | |
| Heterothrix geotropa | FLAGFL | KLIPSORMIDIOPHYCEAF | 5664 | Cel. | 2 | 11,00563 | 29,50 | |
| Goniodora mutabilis | GIDCMUI | XANTHOPHYCEAF | 6217 | Cel. | 1 | 11,00354 | 14,75 | |
| Gonomonas truncata | NHW149 | CRYPTOPHYCEAF | 35416 | Cf. | 7 | 11,02137 | 103,24 | |
| Gymnodinium | GYMSPX | LINOPHYCEAE | 4923 | Cel. | | | | |
| Malomonas | MALSPX | SYNUROPHYCEAE | 6209 | Cel. | | | | |
| Microcoleus pusillus | MICTPUS | TREBOUXIOPHYCEAE | 5726 | Cel. | 28 | 0,09126 | 412,93 | |
| Monoraphidium minutum | MONVAN | CHLOROPHYCEAE | 5736 | Cel. | 3 | 0,00411 | 44,24 | |
| Monoraphidium totale | MONTOR | CHLOROPHYCEAE | 5741 | Cel. | | | | |
| Neonrodella | NEHSPX | XANTHOPHYCEAE | 9513 | Cel. | 15 | 0,02124 | 221,22 | |
| Nitzschia | NIZSPX | BACILLARIOPHYCEAE | 9804 | Cel. | | | | |
| Oocystis varva | OOCPAR | TREBOUXIOPHYCEAE | 5738 | Cel. | 5 | 0,00465 | 73,74 | |
| Pocillopora simplex | PEDSIM | CHLOROPHYCEAE | 5777 | Cel. | | | | |
| Pracinosentica aris | PTHTEN | CHLOROPHYCEAE | 6048 | Cel. | 2 | 0,01209 | 29,50 | |
| Pracus curvicauda | PFACUR | EUGLENOPHYCEAE | 6305 | Cel. | 1 | 0,11722 | 14,75 | |
| Pragmatismus nanoplanocticus | PLGVAV | CRYPTOPHYCEAE | 9634 | Cel. | 10 | 0,01032 | 147,46 | |
| Scenedesmus cilioticus | SCEELL | CHLOROPHYCEAE | 5826 | Cel. | 4 | 0,01380 | 38,99 | |
| Tetradromion caudatum | TEACAU | CHLOROPHYCEAE | 5883 | Cel. | 2 | 0,01298 | 29,50 | |
| Tetradromion minimum | TEAVIN | CHLOROPHYCEAE | 5888 | Cel. | 33 | 0,17034 | 486,09 | |
| Trachelomonas | TRASPX | EUGLENOPHYCEAE | 6327 | Cel. | 27 | 0,63871 | 398,20 | |
| Trachelomonas hispida | TRAHIS | EUGLENOPHYCEAE | 6331 | Cel. | 3 | 0,16070 | 44,24 | |
| Tremularia schmidti | TRESCH | CHLOROPHYCEAE | 5910 | Cel. | 1 | 0,01900 | 14,75 | |
| Umania | ULNSPX | FRAGILARIOPHYCEAE | 9349 | Cel. | 9 | 0,52708 | 132,73 | |